ESCUELA SUPERIOR POLITÉCNICA DEL LITORAL

Facultad de Ingeniería en Ciencias de la Tierra

ANÁLISIS GEOTÉCNICO DE INESTABILIDADES Y PROPUESTA DE SOSTENIMIENTO DE TALUDES EN DOS SITIOS CRÍTICOS DE LA VÍA GUANGARCUCHO – PAUTE – GUALACEO

PROYECTO INTEGRADOR PREVIO LA OBTENCIÓN DEL TÍTULO DE:

INTENIERO GEÓLOGO

PRESENTADO POR:

RUBEN ADOLFO GONZALEZ MENDOZA

GUAYAQUIL - ECUADOR

AÑO: 2020

DEDICATORIA

Dedicada especialmente para mis padres, Lorena Mendoza y Adolfo Gonzalez por su apoyo constante e incondicional a lo largo de mi carrera universitaria y más aun en el desarrollo de este proyecto.

AGRADECIMIENTOS

Agradecido con Dios y la vida por esta oportunidad.

Agradezco a la empresa de Geoestudios S.A. por su apoyo y constante guía en este proyecto, especialmente a la Ing. Alejandra Vera. También agradezco a todos mis amigos y profesores que de alguna u otra manera aportaron en el desarrollo de este proyecto y con mi formación profesional y humana a lo largo de la universidad.

DECLARACIÓN EXPRESA

"Los derechos de titularidad y explotación, me corresponde conforme al reglamento de propiedad intelectual de la institución; Ruben Adolfo Gonzalez Mendoza y doy mi consentimiento para que la ESPOL realice la comunicación pública de la obra por cualquier medio con el fin de promover la consulta, difusión y uso público de la producción intelectual"

Ruben Adolfo Gonzalez Mendoza

EVALUADORES

Msc. Eva Rivas Pozo

Profesor de la materia

Msc. Jonny Encalada

Profesor tutor

RESUMEN

En un talud, cercano al puente de La Josefina en la vía Guangarcucho – Paute – Gualaceo, se registran deslizamientos debido al gran fracturamiento y meteorización del macizo rocoso, estos provocan daños en la carretera, cierre de la vía y pérdidas económicas. El objetivo del presente trabajo es analizar las condiciones de estabilidad de dos sitios críticos de la vía Gunagarcucho – Paute – Gualaceo mediante las características geológicas y geotécnicas del sector para la recomendación de medidas de sostenimiento.

Para conocer la estabilidad en el talud fue necesario aplicar métodos cinemáticos, empíricos y de equilibrio límite mediante el levantamiento de estaciones geomecánicas, ensayos de laboratorio y procesamiento de datos mediante software como Dips, ArcMap y Slide. Esto nos permitió clasificar el talud por tipo de rotura, calidad del macizo rocoso, superficie potencial de falla y factor de seguridad.

El análisis cinemático nos mostró que existe una mayor probabilidad de roturas por caídas de rocas. Mientras que los resultados de los métodos empíricos nos muestran que toda la parte central del talud tiene una calidad de mala a muy mala, y los sectores que se encuentran en los laterales del talud una calidad de media a mala. Los factores de seguridad, para condiciones secas, se encuentran en un rango de 1.20 a 1.45 y para condiciones sísmicas de 0.80 a 0.96.

En conclusión, el talud presenta una calidad y factor de seguridad desfavorable por lo cual es necesario aplicar medidas de sostenimiento, recomendándose utilizar mallas de alta resistencia con anclajes y cortinas de guiados.

Palabras Claves: Características Geológicas y Geotécnicas, SMR, Equilibrio Límite, Calidad de macizo rocoso, Sostenimiento.

ABSTRACT

On a slope, near the bridge of La Josefina on the Guangarcucho – Paute – Gualaceo road, slips are recorded due to the large fracturing and meteorization of the rock massif, these cause damage to the road, road closure and economic losses. The objective of this work is to analyze the stability conditions of two critical sites of the Gunagarcucho – Paute – Gualaceo track through the geological and geotechnical characteristics of the sector for the recommendation of support measures.

To know the stability of the slope it was necessary to apply kinematic, empirical and limit equilibrium methods through geomechanical stations, laboratory tests and data processing using software such as Dips, ArcMap and Slide. This allowed us to classify the slope by type of breakage, quality of the rock massif, potential fault surface and safety factor.

The kinematic analysis showed us that there is a higher probability of breakage from rock fall. While the results of empirical methods show us that the entire central part of the slope has a bad to very bad quality, and the sectors that are on the sides of the slope a quality of medium to bad. Safety factors, for dry conditions, are in a range of 1.20 to 1.45 and for seismic conditions from 0.80 to 0.96.

In conclusion, the slope has an unfavourable quality and safety factor for which it is necessary to apply support measures, recommending the use of high strength meshes with anchors and guiding curtains.

Keywords: Geological and geotechnical characteristics, SMR, Limit equilibrium, Rock Massif Quality, support.

ÍNDICE GENERAL

Ε	VALUA	DOR	ES	V
R	ESUME	ΞΝ		VI
Α	BSTRA	CT		VII
ĺ١	IDICE (GEN	ERAL	VIII
ĺ١	IDICE [DE F	IGURAS	XIII
ĺ١	IDICE [DE T	ABLAS	XVI
Α	BREVI	ATUF	RAS	XVIII
S	IMBOL	OGÍ <i>l</i>	١	XIX
1.	Intro	oduc	ión	20
	1.1	Pre	ámbulo	20
	1.2	Pla	nteamiento del problema	20
	1.3	Jus	tificación del problema	21
	1.4	Ob	jetivos	22
	1.4.	1	Objetivo general	22
	1.4.	2	Objetivos Específicos	22
	1.5	Áre	ea de estudio	23
	1.5.	1	Ubicación	23
	1.5.	2	Clima y Vegetación	25
	1.5.	3	Precipitación	26
	1.6	Cro	onograma	27
2.	Maı	rco g	eológico	29
	2.1	Ge	ología regional	29
	2.1.	1	Estratigrafía de la cordillera real	30
	2.2	Ge	ología local	35
	2.2.	1	Unidad alao – paute	35
	2.2.	2	Unidad El Pan	36

	2.2.3	Unidad Maguazo	. 36
	2.2.4	Unidad Peltetec	. 37
	2.2.5	Geología de la zona de estudio	. 38
3.	Marco	o teórico	. 39
	3.1	Definición de conceptos	. 39
	3.1.1	Discontinuidades	. 39
	3.1.2	Diaclasas	. 40
	3.1.3	Talud	. 40
	3.1.4	Deslizamiento	. 41
	3.1.5	Rotura tipo planar	. 43
	3.1.6	Rotura tipo cuña	. 43
	3.1.7	Rotura tipo rotacional	. 45
	3.1.8	Rotura tipo volcamiento	. 45
	3.2	Parámetros geomecánicos	. 47
	3.2.1	Características de la matriz y macizo rocoso	. 47
	3.2.2	Resistencia y Deformabilidad de la matriz rocosa	. 49
	3.2.3	Criterio de rotura Hoek y Brown del macizo rocoso	. 50
	3.3	Análisis de estabilidad de talud	. 53
	3.3.1	Métodos empíricos	. 54
	3.3.2	Método de equilibrio límite, Bishop Simplificado	. 60
	3.3.3	Estabilizaciones en pendientes de roca	. 62
	3.4 I	Estado del Arte	. 66
	3.5 I	Estudios Previos de la Zona de Interés	. 69
4.	Metod	dología	. 70
	4.1 I	Metodología propuesta	. 70
	4.2 I	Recopilación de información	. 74
	4.2.1	Recopilación bibliográfica	. 74

	4.2	2.2	Reconocimiento previo del área de estudio	74
	4.2	2.3	Relación con el cliente	74
	4.3	Info	orme geológico – geotécnico	76
	4.3	3.1	Caracterización geológica	76
	4.3	3.2	Caracterización geotécnica	78
	4.4	Cá	Iculo de estabilidad	82
	4.4	l.1	Análisis cinemático	83
	4.4	1.2	Análisis mediante métodos empíricos	85
	4.4	1.3	Análisis mediante método de Bishop simplificado	87
5.	RE	SUL	TADOS	89
	5.1	Ca	racterización Geológica	89
	5.2	Ca	racterización Geotécnica	90
	5.2	2.1	Estaciones Geomecánicas	97
	5.2	2.2	Medidas estructurales	99
	5.3	Ana	álisis de estabilidad	104
	5.3	3.1	Análisis cinemático	104
	5.3	3.2	Análisis métodos empíricos	106
	5.4	Ana	álisis de equilibrio límite	120
	5.4	l.1	Perfil A' - A	123
	5.4	l.1	Perfil B' - B	123
	5.4	l.1	Perfil C' - C	123
	5.4	l.1	Perfil D' - D	123
	5.4	1.2	Factor de seguridad	123
6.	An	alisis	de resultados	125
	6.1	Ana	álisis Cinemático	125
	6.2	Ro	ck Mass Rating 'RMR'	125
	6.3	Slo	ppe Mass Rating 'SMR'	126

	6.4	Fac	tor de seguridad	126
	6.5	Red	comendaciones de sostenimiento	127
7.	Cond	clusi	ones y recomendaciones	131
	7.1	Cor	nclusiones	131
	7.2	Red	comendaciones	132
8.	Anex	xos .		133
	8.1	Ent	revista Desing Thinking	133
	8.2	Col	umnas estratigráficas	134
	8.2.1	1	PP-17	134
	8.2.2	2	PP-18	135
	8.2.3	3	PSC-01	137
	8.3	Lan	ninas Delgadas	139
	8.3.1	1	PP-17	139
	8.3.2	2	PP-18	141
	8.3.3	3	PSC-01	143
	8.4	Esta	aciones geomecánicas	145
	8.4.1	1	Sitio crítico 1	145
	8.4.2	2	Sitio crítico 2	154
	8.5	Est	ereogramas de tipos de roturas	165
	8.5.1	1	Rotura planar	165
	8.5.2	2	Rotura en cuña	166
	8.5.3	3	Rotura por volcamiento o caída de bloques	168
	8.6	Per	files Geológicos – Geotécnicos	170
	8.6.1	1	Perfil A' – A	170
	8.6.2	2	Perfil B' – B	171
	8.6.3	3	Perfil C' – C	172
	86/	1	Porfil D' D	172

8	.7 Fa	ctores de seguridad y superficies de falla	174
	8.7.1	Perfil A' - A	174
	8.7.2	Perfil B' - B	175
	8.7.3	Perfil C' - C	176
	8.7.4	Perfil D' - D	177
9.	Bibliogra	afía	178

ÍNDICE DE FIGURAS

Figura 1.1 Foto en perspectiva de la parte baja del cerro 'tubón' de los 2 sitios	
críticos, Fuente: Geoestudios S.A	25
Figura 1.2 Foto en perspectiva de la parte alta del cerro 'Tubón' de los 2 sitios	
críticos, Fuente: Geoestudios S.A	26
Figura 2.1 Terrenos principales de la Cordillera Real formados por procesos	
tectónicos de compresión, Fuente: (J. A. Aspden and Litherland 1992)	31
Figura 2.2 Geología de la zona de estudio, Fuente: IGEE	38
Figura 3.1 Familia de diaclasas, J1, J2 y J3 representan las familias de diaclasas;	
Fuente: Ruben Gonzalez	39
Figura 3.2 Ladera vertical; Fuente: (Gonzales de Vallejo, 2002)	40
Figura 3.3 Talud, Fuente: Floresypantas.net	40
Figura 3.4 (A) Geometría para deslizamientos planares, (B) Proyección	
estereográfica y determinación de zona critica según parámetros geométricos	s,
Fuente: (Duncan, C WyllieChristopher 2004)	43
Figura 3.5 Rotura en cuña y la línea de intersección de discontinuidades, Fuente:	
(Duncan, C WyllieChristopher 2004)	44
Figura 3.6 (A) Vista de ángulos respecto a la línea de intersección, (B) Proyección	
estereográfica y determinación de zona critica según parámetros geométricos	s,
Fuente: (Duncan, C WyllieChristopher 2004)	44
Figura 3.7 Roturas tipo rotacional; Fuente: (Gonzales de Vallejo 2002)	45
Figura 3.8 Bloques en caída por flexión, Fuente: (Duncan, C WyllieChristopher	
2004)	46
Figura 3.9 (A) Caída de bloques por flexión (B) Proyección estereográfica y	
determinación de zona critica considerando parámetros geométricos, Fuente	:
(Duncan, C WyllieChristopher 2004)	47
Figura 3.10 Ensayo uniaxial, Fuente: Geoestudios s.a	49
Figura 3.11 Ensayo de resistencia triaxial, Fuente:(Gonzales de Vallejo 2002)	50
Figura 3.12 Gráfica para obtener el valor de α; Fuente: (Gonzales de Vallejo 2002))
	61
Figura 3.13 Estimación del valor de Mi(g): Fuente: (Gonzales de Valleio 2002)	61

Figura 3.14 Medidas de estabilización de pendientes de roca mediante refuerzos,
Fuente: (Duncan, C WyllieChristopher 2004)64
Figura 3.15 Malla de alta resistencia con anclajes, Fuente: Geobrugg 64
Figura 3.16 Cortinas de guiado, Fuente: Geobrugg
Figura 3.17 Medidas de estabilización de pendientes de roca mediante remoción de
material, Fuente: (Duncan, C WyllieChristopher 2004) 66
Figura 4.1 Diagrama de flujo de la metodología realizada en el proyecto, Fuente:
Ruben Gonzalez M
Figura 4.2 Datos de entrada para análisis cinemático en software DIPS. Fuente:
RocScience84
Figura 4.3 Datos de entrada para cálculo del índice SMR, Fuente: SMRTool 86
Figura 4.4 Resultados de software SMRTool, Fuente: SMRTool
Figura 4.5 Datos de entrada y resultados en software RocLab, Fuente: RocScience
Figura 5.1 Zonas de meteorización vista en planta
Figura 5.2 Perfil vista frontal de zonas de meteorización
Figura 5.3 Estereograma zona 1
Figura 5.4 Estereograma zona 2
Figura 5.5 Estereograma zona 3
Figura 5.6 Estereograma zona 4
Figura 5.7 Estereograma zona 5
Figura 5.8 Estereograma zona 7
Figura 5.9 Estereograma zona 8
Figura 5.10 Estereograma zona 9
Figura 5.11 Estereograma sitio crítico 1
Figura 5.12 Estereograma sitio crítico 2
Figura 5.13 Ángulos de fricción de referencia, Fuente:(Gonzales de Vallejo 2002)
Figura 5.14 Clasificación del RMR por calidad del sitio crítico 1 y 2 111
Figura 5.15 Clasificación de SMR por clase del sitio crítico 1 y 2 116
Figura 6.1 Recomendación de ubicación del sostenimiento
Figura 8.1 Columna estratigráfica PP-17
Figura 8.2 Columna estratigráfica PP-18
Figura 8.3 Columna estratigráfica PSC-01

Figura	8.4 Perfil A' – A	170
Figura	8.5 Perfil B' - B	171
Figura	8.6 Perfil C' - C	172
Figura	8.7 Perfil D' - D	173
Figura	8.8 Condiciones sismicas perfil A' - A	174
Figura	8.9 Condiciones secas perfil A' - A	174
Figura	8.10 Condiciones secas perfil B' - B	175
Figura	8.11 Condiciones sismicas perfil B' - B	175
Figura	8.12 Condiciones sismicas perfil C' - C	176
Figura	8.13 Condiciones secas perfil C' - C	176
Figura	8.14 Condiciones secas perfil D' - D	177
Figura	8.15 Condiciones sismicas perfil D' - D	177

ÍNDICE DE TABLAS

Tabla 1.1 Precipitaciones anuales desde el año 2009 al 2013, Fuente: Geoportal	
INAMHI	27
Tabla 1.2 Cronograma de actividades	28
Tabla 2.1 Resumen de la Geología Pre-Cretácica de la Cordillera Real y Zona	
Subandina, Fuente:(J. A. Aspden and Litherland 1992; Litherland 1994)	34
Tabla 3.1 Tipos de movimientos de masa; Fuente: (Gonzales de Vallejo 2002)	42
Tabla 3.2 Valor D sugerido según el tipo de alteración, Fuente: (Hoek and Corkum	1
2002)	52
Tabla 3.3 Ponderación de los parámetros para la obtención del RMR (Bieniawski	
1979), Fuente: (Gonzales de Vallejo 2002)	56
Tabla 3.4 Clasificación geomecánica de taludes SMR, Fuente: (Gonzales de Valle	ijo
2002)	58
Tabla 3.5 Gráfico de GSI básico, Fuente: (Marinos and Hoek 2000)	60
Tabla 3.6 Resumen de principales sistemas de clasificación para pendientes,	
Fuente: (Pantelidis 2009)	67
Tabla 4.1 Metodologías de análisis para estabilidad de taludes	72
Tabla 4.2 Restricciones y recursos	75
Tabla 4.3 Factores influyentes en la inestabilidad de taludes	76
Tabla 4.4 Características para la descripción de muestras macroscópicas y	
microscópicas	77
Tabla 4.5 Ficha para levantamiento geomecánico, Fuente: (Gonzales de Vallejo	
2002)	79
Tabla 4.6 Ficha para levantamiento geomecánico, Fuente: (Gonzales de Vallejo	
2002)	80
Tabla 4.7 Parámetros del macizo y matriz rocosa con su respectivo método, Fuen	te:
(Duncan, C WyllieChristopher 2004)	81
Tabla 4.8 Estimación de la constante 'mi' según el tipo de roca, Fuente: (Duncan,	С
WyllieChristopher 2004).	82
Tabla 4.9 Valoración RMR, Cohesión y ángulo de rozamiento según método de	
RMR. Fuente: (Gonzales de Valleio 2002)	. 85

Tabla 4.10 Datos de entrada en software Slide	87
Tabla 5.1 Ubicación de perforaciones	90
Tabla 5.2 Descripción de zonas de meteorización	93
Tabla 5.3 Estaciones geomecánicas sitio crítico 1	98
Tabla 5.4 Estaciones geomecánicas sitio crítico 2	98
Tabla 5.5 Porcentaje de tipos de rotura zona 1 y 2	105
Tabla 5.6 Porcentaje de tipos de rotura zona 3 y 4	105
Tabla 5.7 Porcentaje de tipos de rotura zona 5 y 6	106
Tabla 5.8 Porcentaje de tipos de rotura zona 7, 8 y 9	106
Tabla 5.9 Valoraciones sitio crítico 1	110
Tabla 5.10 Valoraciones sitio crítico 2	110
Tabla 5.11 Resultado de valoración del SMR	113
Tabla 5.12 Recomendaciones de método de sostenimiento	115
Tabla 5.13 Resultados de valoraciones del GSI	117
Tabla 5.14 Valores de compresión aproximados con el esclerómetro	121
Tabla 5.15 Datos de entrada por zonas de meteorización	124
Tabla 5.16 Datos de entrada por perforaciones	124
Tabla 5.17 Factor de seguridad condiciones secas y sísmicas	124
Tabla 6.1 Ventajas y desventajas de metodos de sostenimiento en calidad de	
macizo media/mala	129
Tabla 6.2 Ventajas y desventajas de metodos de sostenimiento en calidad de	
macizo muy mala	129

ABREVIATURAS

RQD Rock Quality Designation

RMR Rock Mass Rating
SMR Slope Mass Rating

GIS Geological Strength Index

UTM Universal Transverse Mercator

IGEE Instituto de Investigación Geológico y Energético del Ecuador

MTOP Ministerio de Transporte y Obras Publicas

SIMBOLOGÍA

cm Centímetros

m Metros

m² Metros Cuadrados

Km Kilómetros

° Grados

°C Grados centígrados.

CAPÍTULO 1

1. INTRODUCIÓN

1.1 Preámbulo

La vía Guangarcucho – Paute – Gualaceo es una de las principales vías de conexión entre algunas ciudades de la Provincia del Azuay con las de Morona Santiago. En ella se registran constantes deslizamientos, principalmente en las épocas invernales. Estos provocan daños a la vía, señaléticas y en algunos casos pueden llegar a cerrar la vía por varios días, generando pérdidas económicas a los diferentes sectores productivos como el sector turístico, agrícola, transportista, entre otros. Además, los deslizamientos son una amenaza constante para los conductores y peatones que transitan la vía. Por lo que, es necesario realizar un estudio adecuado y recomendar medidas de sostenimiento en la zona.

El presente trabajo tiene como finalidad dar recomendaciones de sostenimiento, para dos sitios críticos cercanos al puente de La Josefina, en la vía anteriormente mencionada. Esto se realizará mediante la combinación de métodos cinemáticos, empíricos y de equilibrio límite, que nos permiten conocer la calidad y estabilidad actual del talud, para posteriormente dar recomendaciones de sostenimiento.

El documento se divide en ocho capítulos. En el primer capítulo corresponde a la introducción, en el segundo se plantean las teorías que se van a utilizar. En el tercer capítulo se presenta la descripción de la geología regional y local de la zona de estudio. El cuarto detalla la metodología que se llevó a cabo. En el quinto, se presentan los resultados. En el sexto los análisis de resultados obtenidos en el capítulo anterior, detallando las recomendaciones de sostenimiento para cada sitio crítico. En el séptimo se encuentran las conclusiones y recomendaciones, para finalmente tener la sección de anexos como ultimo capitulo.

1.2 Planteamiento del problema

En la vía Guangarcucho – Paute – Gualaceo se han registrado diferentes deslizamientos cerca del cerro El Tahual y Tubón. Uno de los más grandes deslizamientos ocurridos fue en marzo el 1^{ro} de Mayo del 1993, a la altura del puente

de La Josefina, donde un volumen aproximado 27 millones de metros cúbicos de material pétreo del cerro Tamuga provoco la formación de un dique en la unión de los Ríos Jadan y Cuenca llegando a formar una gran laguna en esta zona (Domínguez Zeas 1999). El 1ºº de Mayo del 1993 se dio el gran desfogue en dirección de la ciudad de Paute afectando vías, ciudades, fincas, haciendas, plantaciones, infraestructuras de explotación de material pétreo y un saldo de 7000 personas afectadas y 75 personas entre muertos y desaparecidos (Domínguez Zeas 1999; Josefina | I. Municipalidad de Gualaceo n.d.). Las posibles causas de este gran deslizamiento fueron las fuertes lluvias en la época invernal y de canteras mineras de extracción de material pétreo cercanas al cerro Tamuga, que indujeron una inestabilidad en el sector. Actualmente se registran deslizamientos de mucho menor magnitud que el ocurrido en 1993, sin embargo, estos provocan daños en la vía, pérdidas económicas y pone en riesgo la vida de los conductores y peatones que transitan en ella.

1.3 Justificación del problema

El estudio de estabilidad de talud en la vía Guangarcucho – Paute – Gualaceo, es de vital importancia porque en ella transitan miles de vehículos diariamente, permitiendo la movilización de los diferentes sectores productivos entre las Provincias del Azuay y Morona Santiago. En la vía se han registrado múltiples deslizamientos, por lo cual, es necesario conocer el tipo de rotura que puede ocurrir, la calidad del macizo rocoso y la superficie potencial de falla con su respectivo factor de seguridad, considerando las características geológicas y geotécnicas del sector, para poder dar recomendaciones de sostenimiento y de esta forma evitar daños y perdidas en la vía.

El presente estudio corresponde a una fase preliminar para los trabajos de estabilidad de talud, y que estos se lleven a cabo ayudarán a evitar o reducir el número de deslizamientos y su impacto en la vía. Donde los principales beneficiarios son las comunidades, ciudades y diferentes sectores productivos de la zona.

1.4 Objetivos

1.4.1 Objetivo General

Analizar las condiciones de estabilidad de dos sitios críticos de la vía
 Gunagarcucho – Paute – Gualaceo mediante las características geológicas y geotécnicas del sector para la recomendación de medidas de sostenimiento.

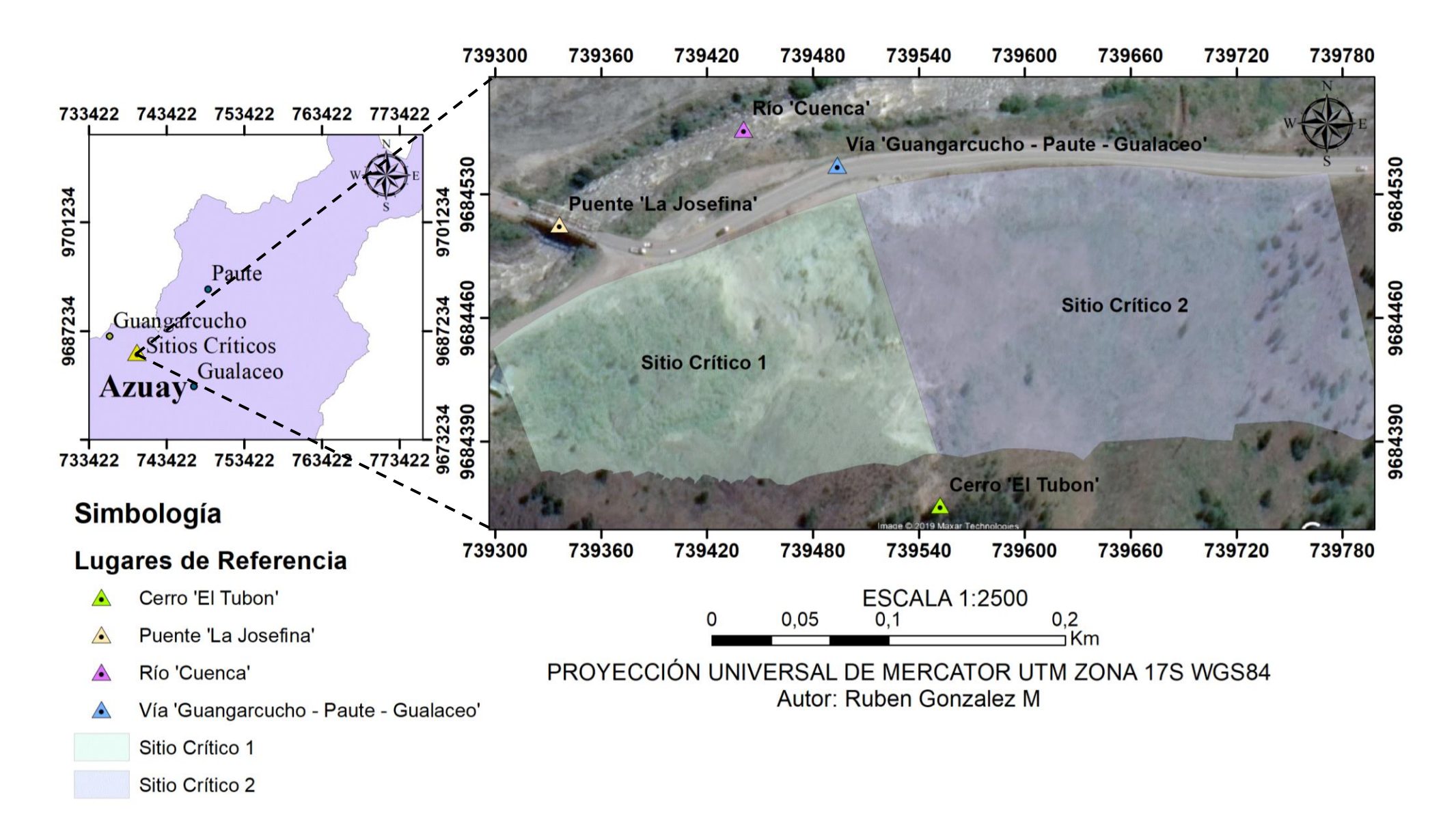
1.4.2 Objetivos Específicos

- Caracterizar los tipos de rocas y sus parámetros geomecánicos mediante la toma de muestras y análisis de laboratorio para su procesamiento en software como Dips, ArcMap y Slide.
- Evaluar la calidad del macizo rocoso mediante la aplicación de métodos empíricos y de equilibrio límite para la recomendación de sostenimiento en el talud.
- Realizar un levantamiento geológico y geotécnico mediante búsqueda bibliográfica, visitas de campo, descripciones morfológicas y estaciones geomecánicas para la recopilación de diferentes características que tienen influencia con los deslizamientos.

1.5 Área de Estudio

1.5.1 Ubicación

La zona de estudio se encuentra a orillas de la vía Guangarcucho – Paute – Gualaceo a la altura del puente de La Josefina en el Cerro 'El Tubón', la zona se divide en 2 sitios críticos el primero de un área aproximada de 28.000 m² y el segundo de 40.000 m², tal como se muestra en el Mapa 1.1. Las cotas de estos 2 sitios críticos varían de 2311 hasta los 2485 m sobre el nivel del mar.



Mapa 1.1 Zona de estudio

1.5.2 Clima y Vegetación

El sector de La Josefina pertenece a la parroquia de San Cristóbal del cantón Paute. El sector se caracteriza por poseer climas templados a subtropical, especialmente en las partes bajas, y climas más fríos en las partes altas. Posee temperaturas variadas donde la máxima es de 22°C que comúnmente es en el día y la mínima de -2°C en la noche, con temperatura media es de 15.9°C a los 19°C. Los meses donde la temperatura disminuye más son en junio y julio, mientras que los meses con temperaturas más altas son los de noviembre y diciembre (Rodriguez 2014).

La vegetación es muy variada debido a su clima, en su mayoría dominan los pastos, vegetación arbórea, cultivos, bosques nativos y suelos en rotación, este último se refiere a suelos que están desnudos para que posteriormente los agricultores realicen un nuevo cultivo. Sin embargo, la zona de estudio de los dos sitios críticos se encuentra en su gran mayoría descubierta, donde el macizo rocoso se muestra tal cual. Existen pequeñas plantas que han crecido entre las fisuras, pero estas no son representativas para considerar vegetación en la zona (Figura 1.1). En la parte más alta de la zona de estudio, es decir, en la cima del cerro 'El Tubón', se logran observar mayor cantidad de árboles, sin embargo, no se ve una cantidad muy representativa de ellos (Figura 1.2).



Figura 1.1 Foto en perspectiva de la parte baja del cerro 'Tubón' de los 2 sitios críticos, Fuente: Geoestudios S.A.



Figura 1.2 Foto en perspectiva de la parte alta del cerro 'Tubón' de los 2 sitios críticos, Fuente: Geoestudios S.A.

1.5.3 Precipitación

El cantón Paute presenta precipitaciones anuales promedio de 790 mm, según informe de gobierno autónomo descentralizado del Cantón Paute. Las Iluvias varían a lo largo del cantón con isoyetas que van desde los 500 – 2500 mm. Las zonas que tienen una mayor precipitación son las que se encuentran hacia el norte cerca del cantón Sevilla de Oro, mientras que las más bajas se encuentran hacia el sur cerca del cantón Cuenca.

Informes meteorológicos anuales recopilados desde al año 2009 hasta el 2013 del Geoportal del INAMHI, Tabla 1.1, muestra las máximas precipitaciones del día en un mes, esta muestra que los meses de octubre, noviembre y diciembre presentan las máximas precipitaciones por día llegándose a registrar hasta 41.20 mm, en el mes de octubre. Mientras que las precipitaciones más bajas se dan en los meses de julio, agosto y septiembre, estos meses son considerados los más secos (Rodriguez 2014).

Cabe mencionar que en la zona donde se encuentran los sitios críticos no se conocen las precipitaciones exactas debido a que no existen estaciones meteorológicas por la zona. Sin embargo, existe evidencia que ocurren lluvias intensas debido a los

registros de anteriores deslizamientos en épocas invernales, pero en nuestro proyecto no se ha considerado el factor de precipitaciones debido a que no se tiene un modelo hidrogeológico que nos indique donde se encuentra la superficie de saturación por la infiltración del agua debido a grandes lluvias.

Tabla 1.1 Precipitaciones anuales desde el año 2009 al 2013, Fuente: Geoportal INAMHI

		C	ANTÓN PAUT	Έ		
			AÑO			
		Precipitació	ón (mm) máxir	na en el día		
MES	2009	2010	2011	2012	2013	POMEDIO
Enero	21.00	16.20	15.80	20.50	-	18.38
Febrero	13.10	10.50	32.80	23.40	30.00	21.96
Marzo	27.70	9.30	24.90	17.10	12.60	18.32
Abril	22.00	23.60	19.60	18.00	10.50	18.74
Mayo	17.50	16.40	18.40	8.70	26.80	17.56
Junio	7.50	29.30	11.40	10.50	12.50	14.24
Julio	4.30	24.50	29.10	6.50	12.20	15.32
Agosto	7.00	-	12.70	7.80	9.40	9.23
Septiembre	4.00	8.10	18.90	6.00	7.10	8.82
Octubre	-	16.50	26.70	72.70	48.90	41.20
Noviembre	8.60	-	16.40	24.10	78.20	31.83
Diciembre	24.80	33.30	37.10	15.20	12.10	24.50

1.6 Cronograma

Se ha dividido en 7 principales actividades, las cuales se llevaron a cabo en un total de 17 semanas (Tabla 1.2). El siguiente cronograma muestra en color azul que semanas son las que se utilizaron para cada actividad, cabe mencionar que estas actividades tienen otras más específicas, por ejemplo, en metodología existen actividades como ensayos de laboratorio, salidas de campo, procesamiento, entre otras, que se engloba con la actividad principal.

Tabla 1.2 Cronograma de actividades.

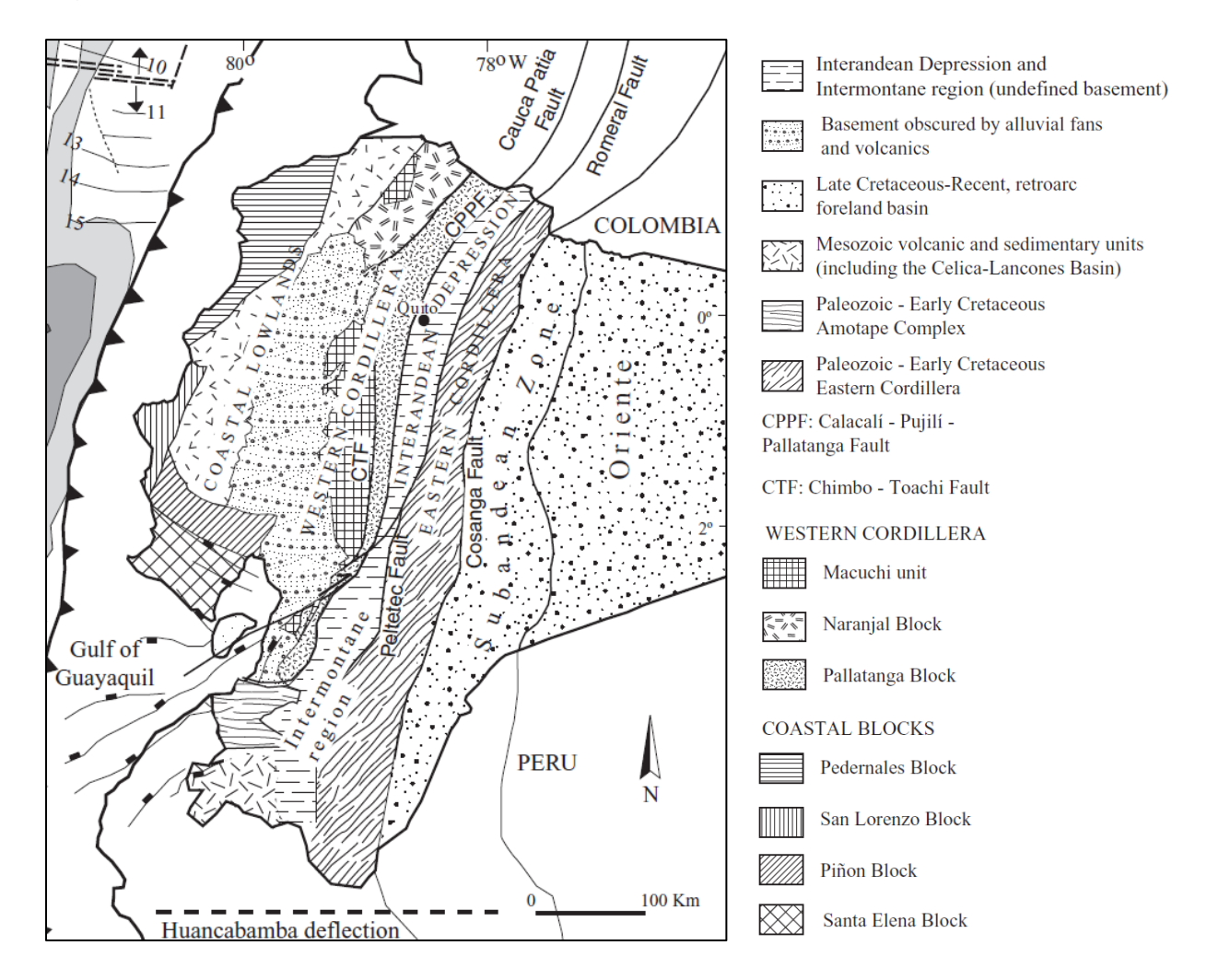
Actividade			MES																	
		Octubre				Noviembre			Diciembre				Enero				Febrero			
PCL.									9	em	ana	S								
	1	2	3	4	1	2	3	4	1	2	3	4	1	2	3	4	1	2	3	4
Propuesta de																				
proyecto																				
Busqueda																				
bibliográfica																				
Introducción																				
Marco Teórico																				
Metodología																				
Análisis de																				
resultados																				
Conclusiones y																				
recomendacione																				

CAPÍTULO 2

2. MARCO GEOLÓGICO

2.1 Geología Regional

El Ecuador se divide en 5 principales regiones morfotectónicas (Mapa 2.1), las cuales se caracterizan por tener diferentes edades de formación, litología y ubicación. Además, existe una diversidad de estructuras y morfologías que caracterizan cada región.



Mapa 2.1 Configuración geológica del Ecuador, Fuente: (Vallejo et al. 2009)

La primera división son las llanuras de la costa que tienen cotas cercanas al nivel del mar, se compone de un basamento máfico cristalino se encuentra cubierto por depósitos del paleógeno al neógeno del antearco (Vallejo et al. 2009), estos

corresponden a la Fm. Piñón que tiene una edad de 123 a 89 M.A (Reynaud et al. 1999).

En ella también se evidencia, según (Luzieux 2007), que rocas se encuentran yuxtapuestas con fragmentos de arcos de islas, placa oceánica y acreción de rocas sedimentarias, que corresponden a depósitos de arcos continentales. La segunda división es la Cordillera Occidental, se conforma de materiales volcánicos máficos a intermedios con rocas intrusivas, las cuales se encuentran yuxtapuesta con depósitos turbidíticos de una edad Cretácica tardía al Oligoceno (Vallejo et al. 2009). Seguidamente se encuentra la Depresión Interandina, esta se encuentra limitada con la Cordillera Occidental al oeste donde se encuentra la falla Calacalí - Pujilí y al este con la Cordillera Real cortándose por la falla Peltetec. Se conforma de depósitos volcánicos de edad del Plioceno al Pleistoceno, esta depresión se extiende desde el norte de Colombia hasta cerca de la parte sur de la Provincia de Chimborazo (Vallejo et al. 2009). Más hacia el este encontramos la cuarta región que es la Cordillera Real, se conforma de materiales metamórficos de una edad paleozoica a jurásica y de granitoides de edad mesozoica. En el noroeste limita con la depresión interandina mientras que en suroeste limita con la Región Intermítame y al este está limitada por la falla Cosanga. Cabe mencionar que en la Zona de estudio se encuentra en la parte Sur de la Cordillera Real. Por último, la quinta región es la Cuenca Oriente que incluye a la Zona Subandina, la edad es del Cretácico a Holoceno tardío.

2.1.1 Estratigrafía de la Cordillera Real

La Cordillera Real se extiende a lo largo del Ecuador en dirección NE-SO y se divide en 5 principales terrenos los cuales son: división Guamote, Alao, Loja, Salado y Zamora (Figura 2.1), los cuales se encuentran limitados por grandes fallas como la Peltetec, Llanganates y Cosanga, así como el frente Baños (J. A. Aspden and Litherland 1992). En la Tabla 2.1 se muestra un resumen de las divisiones de la cordillera real con sus divisiones litológicas, estado tectonico-metamorfico, edad e interpretación respectiva. Además, se muestran que fallas son las que limitan cada uno de estos terrenos.

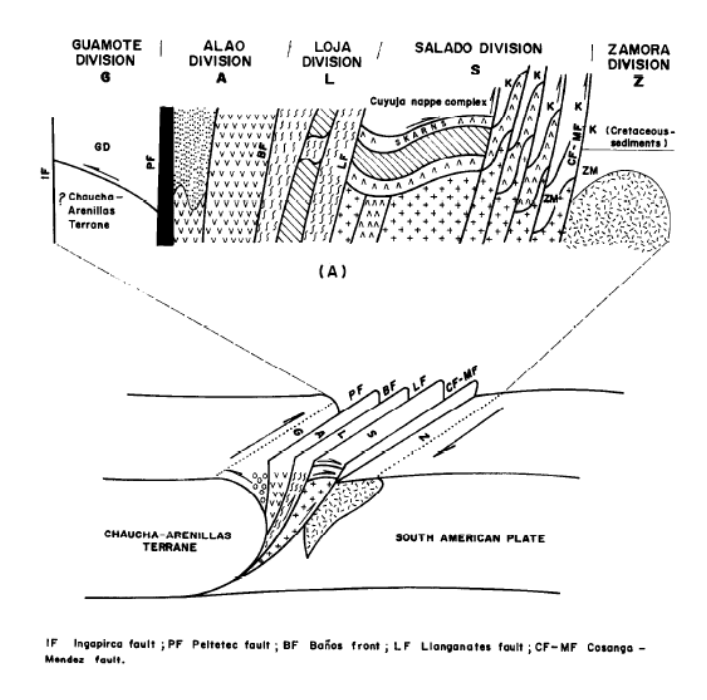


Figura 2.1 Terrenos principales de la Cordillera Real formados por procesos tectónicos de compresión, Fuente: (J. A. Aspden and Litherland 1992)

2.1.1.1 División Guamote

Esta división es la que se encuentra más al oeste de la Cordillera Real, se extiende desde Riobamba en el norte hasta Azogues al sur, donde coincide con la falla de Ingapirca del lado oeste y con la falla Peltetec al este. Esta división corresponde a secuencias derivadas de ortocuarzitas con intercalaciones de filitas o pizarras de bajo grado de metamorfismo. Las cuarcitas son feldespáticas en algunos casos variando de tamaño de grano de medio a grueso, en ciertos casos se presenta un cuarzo azul (J. A. Aspden and Litherland 1992).

Esta división se comprende de 3 unidades las cuales son:

- Unidad Punín, se conforma de cuarcitas y filitas en menor cantidad,
- Cebadas y Guasuntos, se compone de filitas negras y también de pizarras con un menor porcentaje de cuarcitas (Litherland 1994).

Generalmente se presentan pequeños fragmentos fósiles de amonite, definiendo al terreno como una posible secuencia marina de una edad Jurásica inferior a Cretácica inferior (Litherland 1994).

2.1.1.2 División Alao

La división o terreno Alao se desarrolla a lo largo del lado oeste del margen de la Codillera Real, más específicamente se localiza al norte de Ambato hasta Cuenca en el sur. Esta limitada estructuralmente al este por el frente Baños y la División Metamórfica de Loja, mientras que al Oeste con la falla Peltetec y por el terreno Jurásico Guamote (J. A. Aspden and Litherland 1992). Esta división está compuesta de materiales de rocas meta-volcánicas y meta-sedimentarias, las cuales pertenecen a las unidades metamórficas las cuales son: Peltetec, Alao-Paute, El Pan y Maguazo de una edad Jurásica. El Terreno Alao se lo ha definido como un cinturón de rocas verdes con un protolito volcánico que tiene un ancho de hasta 35 km.

2.1.1.3 División Loja

Las rocas de la división Loja pueden ser trazadas a lo largo de toda la Cordillera Real, pero particularmente son extensas en el área entre Cuenca y la Frontera Peruana. Se encuentra limitada al oeste por el frente Baños y en el este, al norte de 4°S, está en contacto tectónico y estructuralmente sobrepuesto con la división Salado. Más al sur se entra la falla Palanda que se subduce hacia el oeste sobre la división Zamora. Al norte de Baños, la principal falla que separa la división Loja de la del Salado es la falla Llanganates (J. A. Aspden and Litherland 1992).

La división se compone de 2 subdivisiones principalmente las cuales son Lagunas y Sabanilla, la primera se compone de granitos masivos que tienen una composición monzogranita-granodiorita de un grano que va de medio a grueso, además presenta mega-cristales de feldespatos alcalinos grises, cuarzos azules o grises, plagioclasas y biotitas (J. Aspden et al. 1990). La subdivisión Sabanilla se compone de un conjunto de orto-paragneiss y esquistos de un grado de metamorfismo medio a alto, en algunos casos estos llegan a ser gneis migmatiíticos (J. Aspden et al. 1990)

2.1.1.4 División Salado

Esta división se extiende al norte de 3°S, pero al sur esta se elimina tectónica y probablemente también estratigráficamente. Al norte, su límite oriental coincide regionalmente con las fallas Cosanga y Méndez. Presenta dos principales

subdivisiones, El Plutónico de Azafrán y el Volcán-Sedimentario Upano (J. A. Aspden and Litherland 1992).

El Plutónico de Azafrán constituye un cinturón de granitoides los cuales se encuentran deformados, se representa al norte por los plutones de Chingual, Sacha y en el sur por Azafrán. Se compone de granodioritas, tonalitas hornblendicas y biotitas de un grano medio a grueso. Además, están presentes dioritas, hornblendas y gabros de forma subordinada. Las edades varían entre 170-128 M.A. determinado por métodos de datación de K-Ar (J. A. Aspden and Litherland 1992).

La subdivisión de Upano es una secuencia mixta de volcano – sedimentaria la cual incluye, andesitas, tobas y aglomerados metamorfoseados, grises, mármoles, cuarticas impuras y filitas negras. Se presenta una secuencia de mármol en el 'Cerro Hermoso' que tiene más de 500 m de espesor (J. Aspden et al. 1990).

2.1.1.5 División Zamora

La división Zamora se encuentra al este de la Cordillera Real, cerca de lo que se considera el borde occidental del cratón amazónico. Esta subdivisión comprende de 3 divisiones principales, la plutónica Abitagua y la volcánica Misahualli, que se consideran ampliamente contemporáneas y equivalentes en edad con la división Salado (J. A. Aspden and Litherland 1992).

La división Abitagua se comprende de tres batolitos calco-alcalinos no deformados. Los batolitos son de norte a sur, Rosa Florida, Abitagua y Zamora. El batolito de Zamora tiene una forma elongada con una extensión de 200 km de largo y 50 km de ancho, se compone principalmente de granodioritas y dioritas con edades que varían de los 120 – 200 M.A. (Litherland 1994). En el norte la división de Misahualli consiste en aglomerados y tobas verdes intruidas por rocas subvolcánicas y plutónicas del Plutón Rosa Florida que varía de una composición de sienita de cuarzo a monzonita de cuarzo. La división Misahualli se compone de basaltos verdes a grises, traquitas, tobas rosadas y brechas tobáceas s interestratificadas con lutitas rocas, areniscas y conglomerados (Litherland 1994).

Tabla 2.1 Resumen de la Geología Pre-Cretácica de la Cordillera Real y Zona Subandina, Fuente:(J. A. Aspden and Litherland 1992; Litherland 1994)

División Oeste – Este	Guamote		Alao		Loja		Salado		Zamora
Unidades/ Litologías	Punín: Cuarcitas de color marrón con poca presencia de lutitas negras y pizarras negras Cebadas y Guasuntos: Pizarras negras con poca presencia de cuarcitas	Peltetec	Peltetec: Ofiolitas desmembradas Maguazo: metaturbiditas Alao – Paute: Metandesitas, esquistos verdes, tobas y sedimentos. El Pan: Cuarzo, Calcita, clorita, esquistos verdes y flitas cuarzosericítica.	Baños	Tres Lagunas: Biotita (Granate), granito y ortogneis. Sabanilla: Ortognéisses y Paragnéisses	Llanganates	Azafrán: Cadena de batolitos Calco-alcalinos (Diorita/Granodiorita). Upano: Esquistos verdes andesiticos, tobas y filitas negras, greywackes y mármol menor.	nga -Méndez	Abitagua: Cadena de batolitos Calco-alcalinos. Misahualli: Andesitas, dacitas, basaltos y aglomerados.
Estado Tectonico- Metamorfico	Muy bajo grado, rocas cabalgan hacia el oeste	Falla	Bajo grado, pliegues verticales y fabricas escarpadas.	Frente	Bajo a medio grado, rocas empujan hacia el E con imbricaciones.	Falla Lla	Bajo grado, las rocas empujan hacia el este con imbricaciones, Skarnificacion de alto nivel y kibles de serpentina	Falla Cosanga	No deformada y no metamorfoseada.
Edad	¿Jurásico Superior?		Jurásico Superior (Oxfordiano – Calloviano)		Plutones Triásicos? y Sedimentos Paleozoicos?		Jurásica, posibles elementos Pre- Jurásicos		Isimanchi: Triásico. Rocas ígneas: Jurásico.
Interpretación	Sedimentos continentales/ Cuña clástica		Fondo oceánico, antearco y arco volcánico o cuencas marginales.		Granitos tipo – S en sedimentos derivados del continente.		Plutones de tipo – I en secuencia volcano – sedimentaria		Arco volcánico plutónico continental tipo I.

2.2 Geología Local

La zona de estudio se encuentra ubicada en la División o Terreno Alao, esta metamórfica – tectoestratigráfica unidad se compone de rocas meta-volcánicas y meta-sedimentarías que se subdividen en las unidades las cuales son:

- Alao Paute
- El Pan
- Maguazo
- Peltetec

El terreno Alao es esencialmente un cinturón de greenstone de hasta 35 Km de ancho que crece a lo largo de las laderas occidentales de la cordillera real (Litherland 1994). La mayor parte del terreno está enterrado por depósitos volcánicos del cenozoico, especialmente en el norte y sur de la cordillera. El terreno de Alao está limitado al este por la falla de Baños y por el terreno metamórfico de Loja y al oeste está limitado por la falla Peltetec y por el terreno Guamote de edad Jurásica. Más al sur se encuentran los terrenos Chaucha y Amotape de edad Paleozoica a Triásico (Litherland 1994). A continuación, se describen cada una de las unidades del terreno Alao.

2.2.1 Unidad Alao - Paute

Esta unidad describe principalmente cinturón de greenstone del terreno Alao. Se encuentra bien expuesto en ciertas secciones de carreteras como son; Río Alao, Paute y Pastaza, y en Gualaceo – SigSig (Litherland 1994).

En el área del Rio Paute entre el Descanso, Gualaceo y al Norte de Pindilig existen afloramientos de lava masiva, amigdaloides en ciertos lugares, aglomerados y bandas de filitas verdes de origen probablemente tobáceas. Sobre el área accesible, (Litherland 1994), describe que algunas de las lavas masivas son esencialmente no metamórficas y contrastan fuertemente con las greenstone y esquistos verdes de más al este y al norte, esta observación da una pista de la separación como una unidad joven o como un estado metamórfico de transición definido por (Bristow 1973). En el resto del afloramiento de la unidad se encuentra un grado de metamorfismo alto con incremento de venillas de cuarzos y carbonatos, en ellas afloran lavas

metamorfoseadas como greenstone e intercalaciones de esquistos verdes, esquistos grafiticos, esquistos pelíticos, cuarcitas y mármol (Litherland 1994).

El ensamble mineral de esas rocas es típicamente de facies de esquistos verdes. Las greenstone y los esquistos verdes contienen, cuarzo, clorita, albita, carbonatos, epidota, actinolita y biotita, mientras que las rocas más pelíticas contienen minerales como moscovita y clorita.

2.2.2 Unidad El Pan

Esta unidad se conforma de facies volcano-sedimentarias metamorfoseadas, según descripciones de (Litherland 1994), establece que hay carencia de greenstone masivas. La unidad tiene una elongación de aproximadamente 70 Km de largo y hasta 7 km de ancho que abarca el sector de tendencias andinas del curso del Río Paute ((Litherland 1994).

La litología de esta unidad comprende de esquistos verdes con presencia de cuarzo-calcita-clorita, también existen esquistos grafiticos y filitas cuarzo-sericítica con menor presencia de cuarcitas, esquistos cuarzo-albita-epidota-clorita, esquistos actinolita-clorita, mármol negro, rocas enriquecidas en epidota y calco-silicatos, y rocas clinozoicitas - tremolitas (J. A. Aspden and Litherland 1992; Litherland 1994).

La unidad de El Pan puede ser de un ambiente de una secuencia marina tras-arco o un arco de islas oceánicas Alao-Paute. No hay evidencia de formaciones masivas de turbiditas como en la unidad Maguazo (Litherland 1994).

2.2.3 Unidad Maguazo

Esta unidad corresponde al cinturón metamórfico turbidítico y de rocas volcánicas trazadas desde más cerca de San José de Paoló en el norte, hasta el Rio Paute en el sur, que tienen una distancia de 200 km. Afloramientos se encuentran cerca del puente Maguazo a lo largo del Río Alao y en carreteras de Peniple-Rio Blanco, Guamote-Atillo y Guasuntos-Zula. Así como en la vía de Cuenca – Gualaceo. El cinturón tiene de 5 a 10 km de ancho y se exhibe en contacto tectónico con las ofiolitas

de la unidad de Peltetec al oeste y con la unidad Alao-Paute a lo largo del este de la falla de San Antonio.

La unidad registra importantes restos fósiles según (Aspden and Ivimey-Cook 1992). Cabe mencionar que un bloque fluvial de filita calcárea y chert, en tramos del Río Jadan de la carretera Cuenca Gualaceo, proveen un fósil llamado 'acritarchs' de color marrón oscuro con una edad del Ordovícico, junto con polen, sporas y 'dinoflagellate cysts' del Mesozoico. El estudio de (Litherland 1994) detalla los nombres y características de los fósiles encontrados en la unidad.

La unidad del Maguazo es dominada ligeramente por una secuencia metamórfica de basaltos turbidíticos-andesiticos. Las turbiditas son de grano fino y silíceas en el Río Maguazo, pero son más volcanoclasticas en la Quebrada Tortora Yacu (Río Paute) donde se puede observar una primera fase de un sinclinal.

Las litologías menores de esta unidad incluyen Filitas negras y moradas, Ferruginoso o piritico en ciertos lugares, filitas grises de origen tobaceo, reddish, ortocuarzitas de grano fino y cherts.

La unidad puede ser interpretada como una posible secuencia marina de antebrazo de un arco de isla oceánico de Alao-Paute. La presencia de turbiditas retrabajadas agrietadas pueden indicar un ambiente de alta energía y una proximidad de un metamorfismo de bajo grado de rocas del Ordovícico(Litherland 1994).

2.2.4 Unidad Peltetec

Esta unidad corresponde a un cinturón de greenstone, delimita al oeste con rocas de bajo buzamiento del Terreno Guamote y al este con la unidad Maguazo, donde se presenta como un mélange tectónico y se puede reconocer en afloramientos de la vía Licto-Alao, la litología que se presenta es de meta gabros y meta basaltos, estos más al este de la vía. Estos también se asocian a bloques rodados que son rocas ígneas maficas como serpentinas y conglomerados pretectónicos de serpentina. Más al norte de la ciudad de Peltetec se encuentra la secuencia ofiolitica que se puede reconocer a lo largo del Río Quishpe y alrededor de Penipe. También existen afloramientos en Río Blanco, se presentan meta basaltos, serpentinitas, piroxenita, Hornblenditas, filitas negras y rocas volcanoclasticas (Litherland 1994).

2.2.5 Geología de la zona de estudio

El mapa geológico del Instituto de Investigación Geológico y Energético del Ecuador (IGEE) a escala 1:50.000, muestra las unidades litológicas en la zona de estudio. La estrella de color rojo de la Figura 2.2 es donde se realizará el estudio de estabilidad de talud, y como se puede observar la zona se encuentra ubicada en la Unidad Maguazo, descrita anteriormente y en la parte superior del talud se encuentra la Fm. Huayrapungu, conformada de tobas de composición andesitica a daciticas bien alteradas, con una meteorización esferoidal e intercalaciones esporádicas de dacitas. Al noroeste de la zona de estudio se encuentra una formación de rocas intrusivas llamada Diorita El Descanso, mientras que, al norte de la zona de estudio se encuentra de color amarillo un depósito coluvial perteneciente a los materiales del deslizamiento de La Josefina del 1993.

Cerca de la zona de estudio al noroeste se encuentra la Falla Santana – Tahual, la cual tiene una dirección NE – SO. Esta falla dio como resultado el cabalgamiento de la Formación Yunguilla sobre sedimentos de la Formación Quingueo, mientras que en dirección sureste de la zona de estudio se encuentra la falla San Antonio, considerada una falla de basamento que separa a la unidad Maguazo de la Alao – Paute.

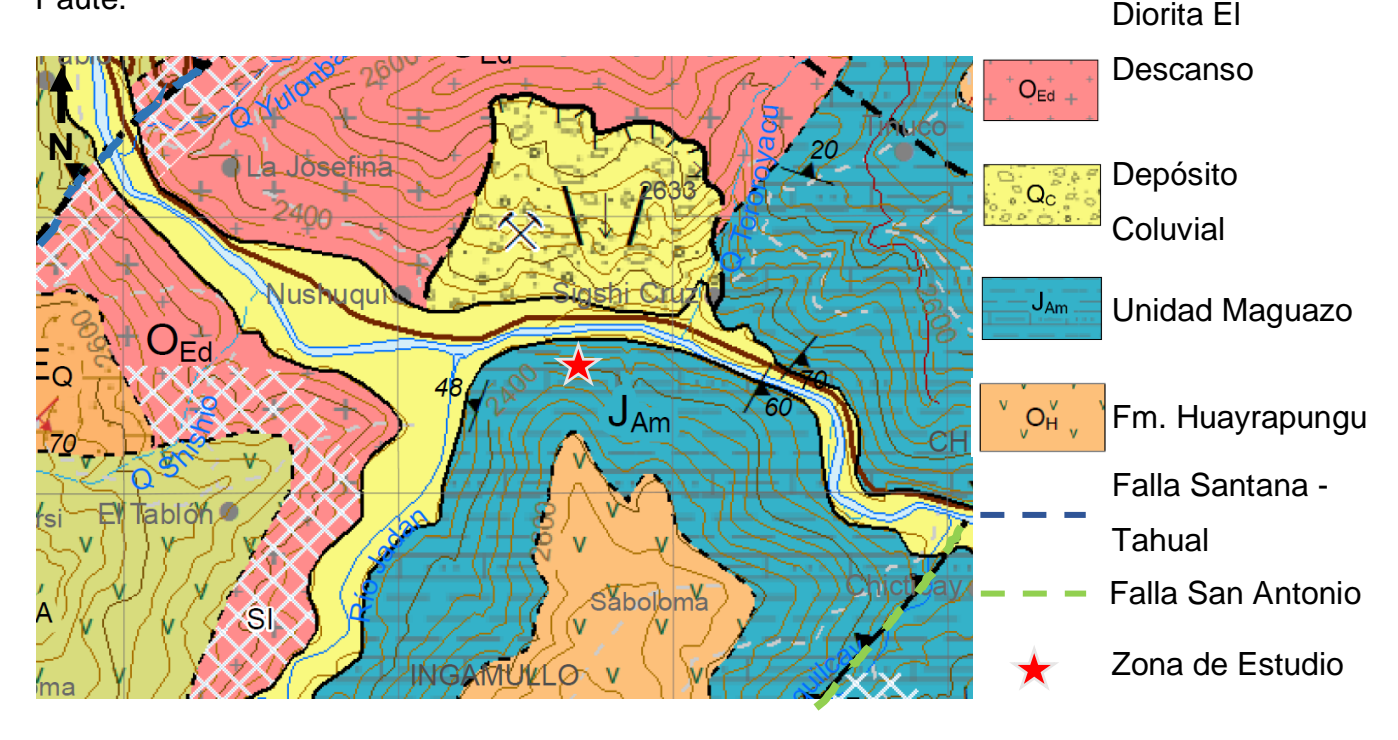


Figura 2.2 Geología de la zona de estudio, Fuente: IGEE

CAPÍTULO 3

3. MARCO TEÓRICO

3.1 Definición de conceptos

3.1.1 Discontinuidades

Definido Geotécnicamente, una discontinuidad son aquellas superficies que presentan debilidad, por lo que son zonas que hacen que el macizo rocoso tenga propiedades anisotropícas con respecto a la resistencia. Estas pueden tener diferentes nombres dependiendo de características más específicas dividiéndose en diaclasas, fallas, foliaciones, estratificaciones y esquistosidad. En ocasiones pueden llegar a formar diferentes familias de discontinuidades (Figura 3.1), estas dependerán de si existen varios planos que tengan la misma dirección y buzamiento. En macizos rocosos menos resistentes, por lo general, no existen familias de discontinuidad ya que se alteran fácilmente y el material que los compone, que por lo regular son limos, arenas o arcillas, no forman planos bien marcados. También, se debe tener en cuenta que la resistencia de las discontinuidades siempre será menor que la de la roca intacta del macizo rocoso.



Figura 3.1 Familia de diaclasas, J1, J2 y J3 representan las familias de diaclasas; Fuente: Ruben Gonzalez.

3.1.2 Diaclasas

Las diaclasas se definen como un plano de discontinuidad, fractura o donde existe una separación de la roca claramente definida sin que exista un movimiento relativo entre los bloques superiores ni inferiores. Generalmente las diaclasas suelen estar en familias, es decir, que un grupo de diaclasas tienen la misma dirección siendo paralelas entre ellas. La formación de las diaclasas puede darse durante la formación de la roca o posteriormente debido a factores tectónicos de esfuerzos.

Las diaclasas pueden ser primarias o secundarias, esta clasificación dependerá de la frecuencia y longitud (persistencia) de las mimas. Las diaclasas primarias son aquellas que suelen ser más frecuentes y de mayor longitud, mientras que las diaclasas secundarias suelen aparecer esporádicamente incluso estas, en algunos casos, no llegan a formar una familia (ISRM 1981).

3.1.3 Talud

Se define como talud a una superficie de material, ya sea de suelo o roca, la cual tiene una inclinación respecto a la horizontal o incluso pueden llegar a ser verticales. Si el talud se formó naturalmente, sin que exista la intervención del hombre, se denomina ladera (Figura 3.2). Si el talud es realizado por el hombre se denominan cortes o taludes (Figura 3.3), los cuales pueden ser formados con materiales de construcción o naturales.

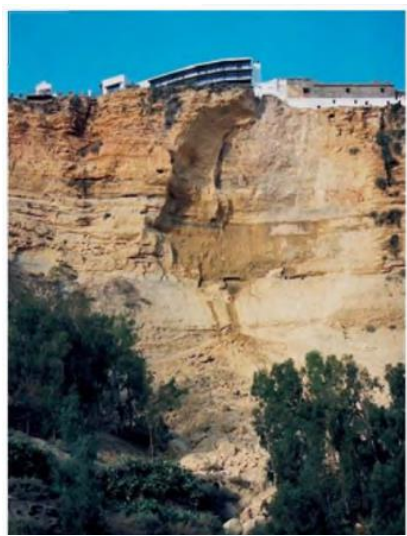


Figura 3.2 Ladera vertical; Fuente: (Gonzales de Vallejo, 2002)



Figura 3.3 Talud, Fuente: Floresypantas.net

Las laderas de rocas y suelos son aquellas en las que se realizan estudios de estabilidad, ya que, para su formación no existe un diseño previo a diferencia de los taludes o cortes, los cuales son realizados respecto a su uso, geometría y características del sector.

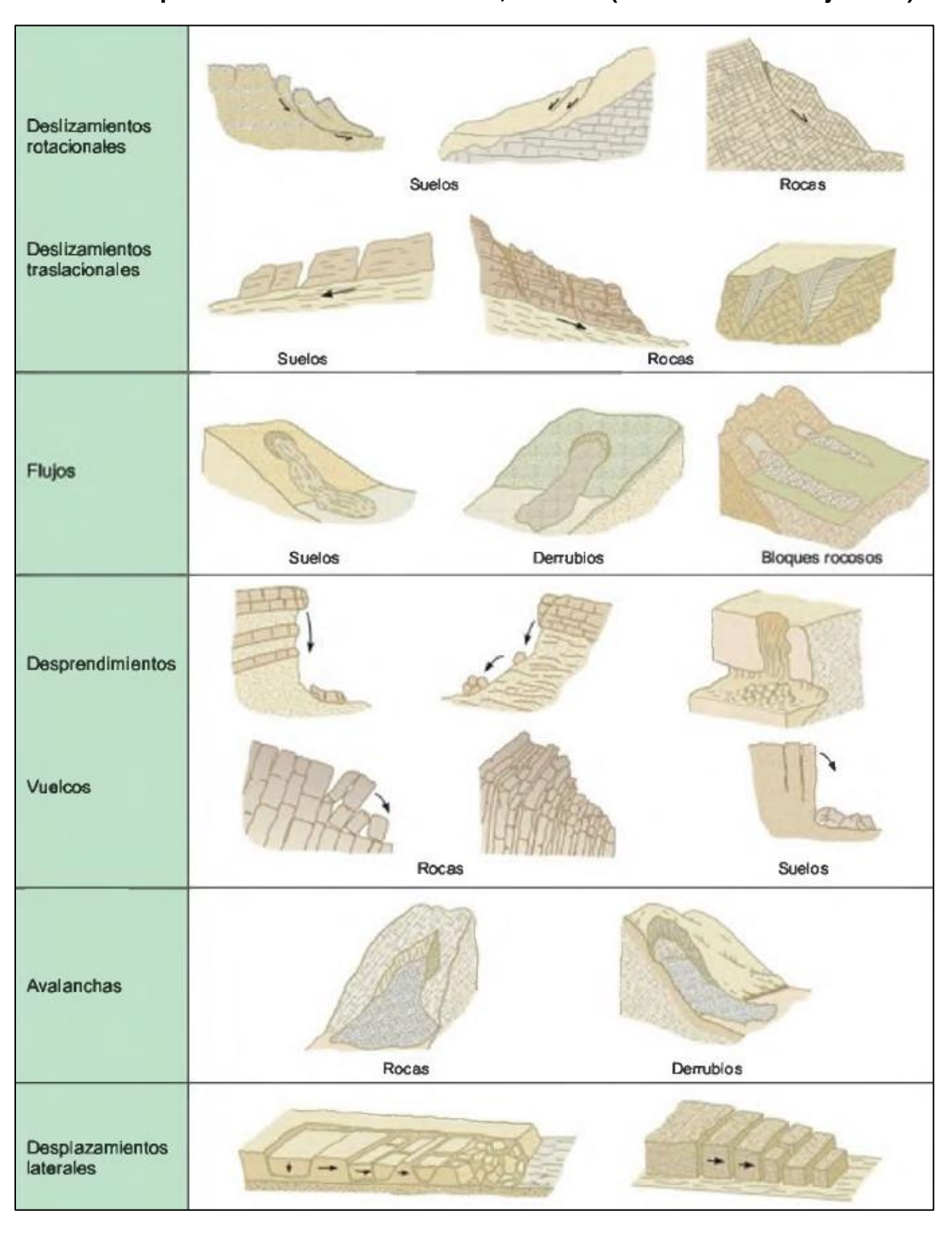
3.1.4 Deslizamiento

Los deslizamientos son remociones de masas que se mueven relativamente respeto a un sustrato, luego de que se supere la resistencia al corte de las superficies. Pueden tener diferentes orígenes, ya sean por agentes gravitacionales, agua, aire, hielo, movimientos sísmicos, entre otros. Estos pueden ocurrir en superficie terrestre o debajo del agua y suelen alcanzar grandes velocidades en un corto periodo de tiempo.

El estudio de zonas susceptibles a deslizamientos es muy importante, ya que, con ello se pueden evitar futuros desastres, así como, recomendar medidas de sostenimiento.

Existen diferentes clasificaciones para los deslizamientos, esta dependerá principalmente de su geometría y material. En la Tabla 3.1 se muestran los diferentes tipos.

Tabla 3.1 Tipos de movimientos de masa; Fuente: (Gonzales de Vallejo 2002)



3.1.5 Rotura tipo planar

El tipo de rotura planar es poco común en las pendientes, ya que se necesita que se cumplan diferentes condiciones geométricas del talud y las discontinuidades las cuales se describen a continuación:

- El plano de deslizamiento debe de tener un rumbo paralelo o muy cercano al de la pendiente (± 20° de diferencia).
- El buzamiento de la pendiente debe ser un poco mayor al del plano de rotura, y este debe ser mayor al Angulo de fricción de este plano, tal como se muestra en la Figura 3.4.
- La parte superior de la superficie de rotura debe de cruza con la pendiente de la parte superior, de esta forma el bloque se corta de la parte superior.
- Deben de existir superficies de liberación, estas son aquellas que proporcionan una resistencia insignificante al deslizamiento en los límites laterales del bloque.

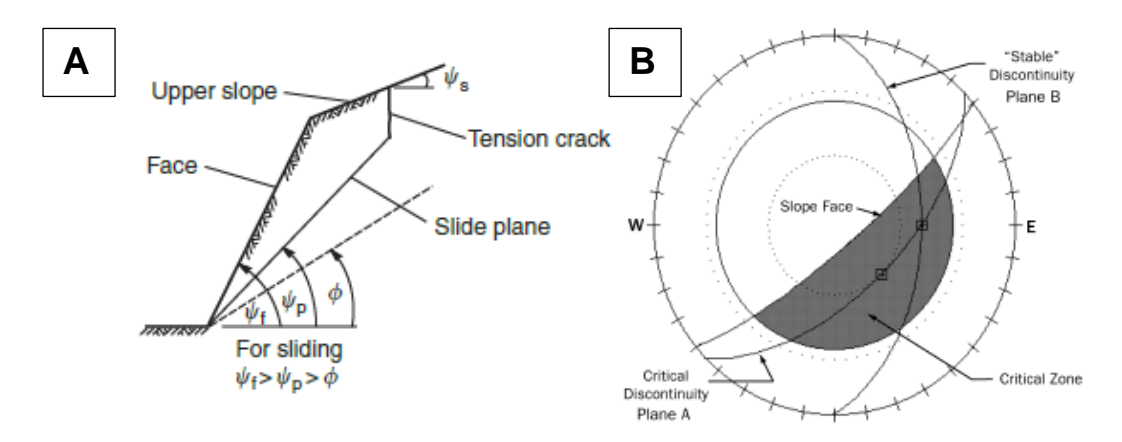


Figura 3.4 (A) Geometría para deslizamientos planares, (B) Proyección estereográfica y determinación de zona critica según parámetros geométricos, Fuente: (Duncan, C WyllieChristopher 2004)

El software más adecuado para este tipo de deslizamiento es el de Rocscience llamado RocPlane.

3.1.6 Rotura tipo cuña

Este tipo de Rotura ocurre en macizos rocosos con rocas de resistencia media a alta los cuales están afectados por familias de diaclasas o fallas. Es un tipo de

deslizamiento traslacional controlado por dos o más discontinuidades, estas son más comunes en minas a cielo abierto y en zonas montañosas.

Al igual que la rotura tipo planar, se deben de cumplir ciertas condiciones geométricas para que exista este tipo de rotura los cuales se detallan a continuación:

 Dos planos deben siempre interceptar formando una línea, esto es posible ver cuando graficamos los planos en el estereograma representado por un punto, como se muestra en la Figura 3.5.

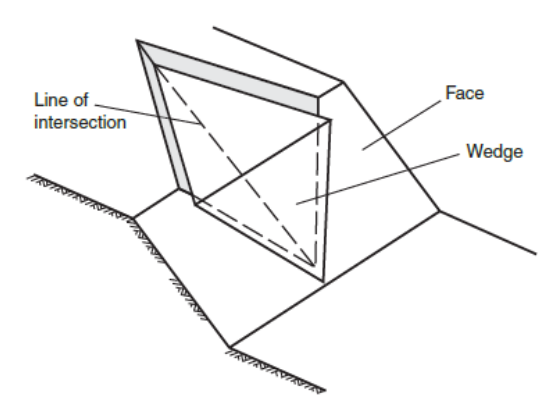


Figura 3.5 Rotura en cuña y la línea de intersección de discontinuidades, Fuente: (Duncan, C WyllieChristopher 2004)

- El rumbo de la línea de intersección debe ser cercano al buzamiento de la pendiente.
- En buzamiento de la línea de intersección debe ser menor al del buzamiento del talud, pero este debe de ser un poco mayor al del ángulo de fricción, tal como se muestra en la Figura 3.6.

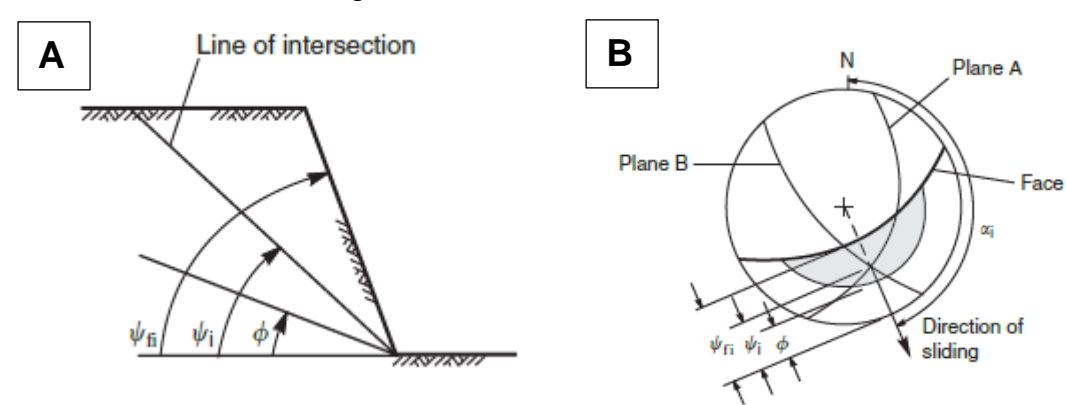


Figura 3.6 (A) Vista de ángulos respecto a la línea de intersección, (B) Proyección estereográfica y determinación de zona critica según parámetros geométricos, Fuente: (Duncan, C WyllieChristopher 2004)

El software más adecuado para este tipo de deslizamientos es el de Rocscience llamado Swedge.

3.1.7 Rotura tipo rotacional

Se da en materiales con una resistencia baja, altamente erosionados o roca muy fracturada. Las anteriores roturas descritas presentan una geometría respecto a las discontinuidades y el talud, en este caso no existe un patrón estructural estrictamente definido, por lo tanto, la superficie de deslizamiento es libre de buscar una línea de menor resistencia en la pendiente. Ciertas observaciones y estudios siguieren que este tipo de deslizamientos tienen forma de círculos en su parte basal (Figura 3.7).

Por lo general este tipo de rotura suele tener un relleno de suelo y fallará en modo circular cuando las dimensiones de la pendiente sean sustancialmente mayores que las dimensiones de los fragmentos de roca. En un material de 'suelo', que generalmente consiste de arena, limo y partículas de grano fino puede darse un deslizamiento de superficie circular incluso en pendientes de solo unos pocos metros de altura, existen varias metodologías para el estudio de estas roturas planteadas en el libro de (Duncan, C WyllieChristopher 2004). El software más adecuado para este tipo de roturas es el de Rocscience llamado Slide.

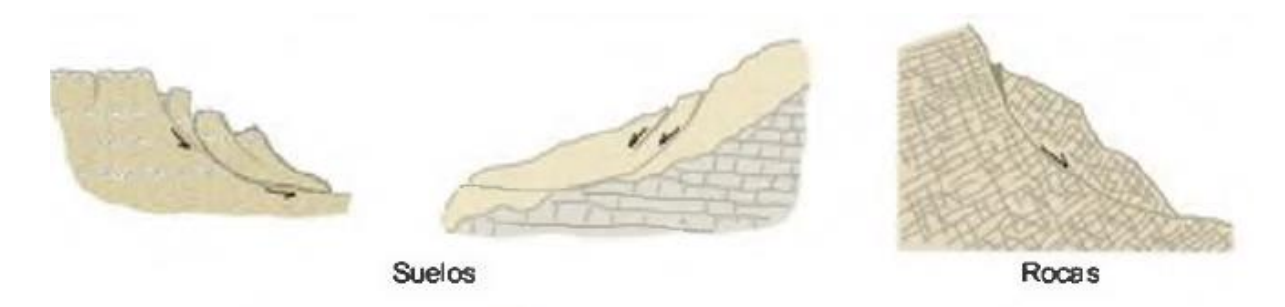


Figura 3.7 Roturas tipo rotacional; Fuente: (Gonzales de Vallejo 2002)

3.1.8 Rotura tipo volcamiento

Este tipo de rotura suele ocurrir cuando el rumbo del plano de la discontinuidad coincide con el del plano de talud y también el buzamiento del plano de las discontinuidades va hacia adentro del macizo rocoso.

Existen unas clasificaciones propuestas por Goodman y Barry en 1976. Describieron diferentes tipos de roturas por vuelco encontradas en el campo. Es importante conocer qué tipo de rotura de vuelco es, ya que, existen 2 diferentes métodos de análisis de estabilidad ya sea vuelco de bloques o por flexión.

Caída de bloque

La caída de bloque se da cuando columnas individuales están formadas por familias de discontinuidades, las cuales buzan abruptamente hacia el macizo rocoso. Además, un segundo grupo de familias de discontinuidades se encuentran ortogonales a las anteriores ampliamente espaciadas lo cual define la altura del bloque. Condiciones geológicas típicas que puede ocurrir este tipo de rotura son en estratificaciones de areniscas o columnas de basaltos (Duncan, C WyllieChristopher 2004).

Caída por flexión

Se da en columnas continuas de roca bien espaciadas con un abrupto buzamiento de las discontinuidades, rompiéndose en flexión mientras se inclinan hacia adelante. A diferencia de la caída de bloque, en estas no existe una familia de discontinuidades bien marcada que corta en el tope a las columnas, sino que, al momento de inclinarse hacia la dirección de la pendiente, estas tienden a fracturarse como se muestra en la Figura 3.8.

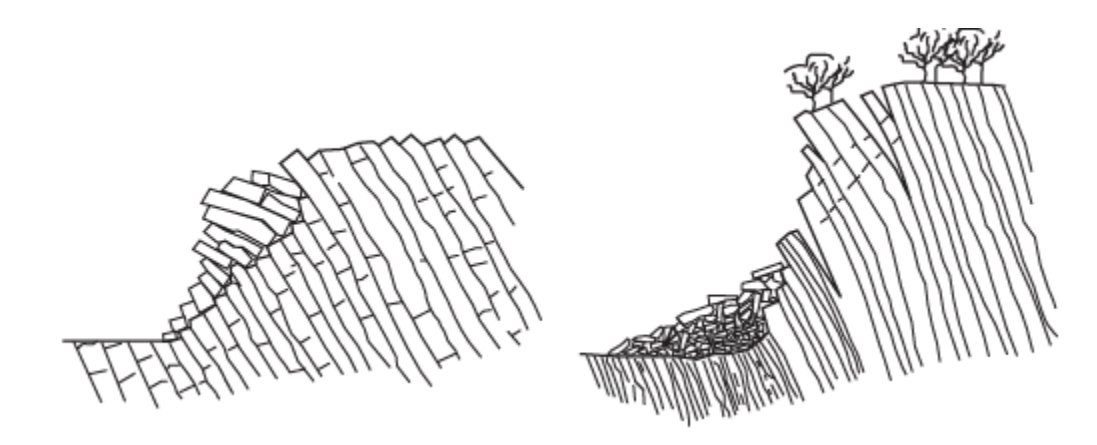


Figura 3.8 Bloques en caída por flexión, Fuente: (Duncan, C WyllieChristopher 2004)

Caída de bloques por flexión

Se caracteriza por tener columnas de flexiones, pero no son como las anteriormente descritas, ya que, estas se encuentran divididas por numerosas juntas que las cortan

ortogonalmente a las columnas. En lugar de la rotura por flexión de las columnas continuas, el derrumbe se da por la acumulación de desplazamiento de las juntas que cortan a las columnas, como se muestra en la Figura 3.9.

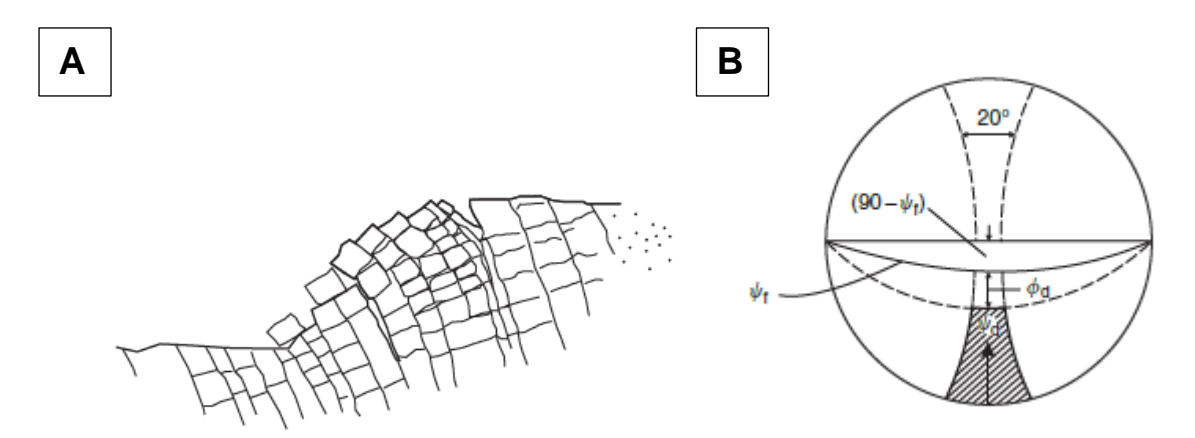


Figura 3.9 (A) Caída de bloques por flexión (B) Proyección estereográfica y determinación de zona critica considerando parámetros geométricos, Fuente: (Duncan, C WyllieChristopher 2004)

En general, existen también criterios cinemáticos que se deben de cumplir para que exista este tipo de rotura los cuales se detallan a continuación:

- Las discontinuidades deben de buzar hacia dentro del talud.
- El azimut del talud debe ser aproximadamente igual al de la discontinuidad (± 30°)
- Cumplirse la condición de cizalla definida por, (90° δ) < α φ, Donde δ, es el buzamiento de la discontinuidad, α es el buzamiento del talud y φ es el ángulo normal a las capas con respecto a la pendiente.

3.2 Parámetros geomecánicos

3.2.1 Características de la matriz y macizo rocoso

La matriz rocosa o roca intacta, es aquella que no presenta discontinuidades, sin embargo, a pesar de que se considera como un medio continuo, suele presentar un comportamiento heterogéneo y anisotrópico, debido a su microestructura mineral y otras propiedades. Por lo cual, es importante realizar una identificación y clasificación de esta, determinando las siguientes características:

- Composición mineralógica.
- Fabrica y textura

- Tamaño de grano
- Color
- Porosidad
- Peso especifico
- Permeabilidad
- Alterabilidad

También es necesario conocer las propiedades mecánicas como:

- Resistencia a la compresión simple
- Resistencia a la tracción
- Cohesión
- Angulo de fricción
- Coeficiente de elasticidad
- Poisson

Cada una de estas propiedades tienen diferentes metodologías, ya sea mediante técnicas de laboratorio, ensayos o descripciones, las cuales se describen en el capítulo de metodología.

Un macizo rocoso se caracteriza por ser un conjunto de bloques de roca intacta con la presencia de discontinuidades que lo afectan. Se caracterizan por ser medios, anisotrópicos, discontinuos, heterogéneos y con una resistencia a la tracción casi nula (Gonzales de Vallejo 2002).

El macizo rocoso tiene un conjunto de características que son importantes para su clasificación y análisis tales como:

- Matriz rocosa
- Características de las discontinuidades
- Número y orientación de familias de discontinuidades
- Tamaño de bloques y grado de fracturación
- Grado de meteorización

Es importante que además de conocer estas características, tanto de la matriz como del macizo rocoso, es necesario conocer la resistencia y deformabilidad de cada uno. Esto se lo describe en el siguiente apartado.

3.2.2 Resistencia y Deformabilidad de la matriz rocosa.

La resistencia de la matriz rocosa nos ayuda a conocer cuanto esfuerzo es capaz de soportar la roca cuando está sometida a deformaciones. Para conocer el esfuerzo de compresión que tiene la roca, es necesario realizar ensayos de resistencia uniaxial o compresión simple (Figura 3.10) en probetas de roca sin confinar. Cabe mencionar que las rocas, por lo general, se rompen respecto a planos de fallas o fracturas, por lo tanto, una forma indirecta de medir la resistencia al corte es realizando el ensayo de compresión.

El ensayo de compresión simple, también nos ayuda a determinar parámetros de deformabilidad como lo son el módulo de elasticidad (E), que se define como la relación lineal elástica entre el esfuerzo aplicado y la deformación que se produce en la dirección que se aplica el esfuerzo, y el coeficiente de Poisson (v), que se define como la relación entre la deformación transversal y axial (Gonzales de Vallejo 2002).



Figura 3.10 Ensayo uniaxial, Fuente: Geoestudios s.a.

La Cohesión (c) y el ángulo de fricción interna (φ), son parámetros de la resistencia de un material. El primero nos indica la fuerza de unión que existe entre las partículas minerales que forman la roca, mientras que el segundo nos indica el ángulo de rozamiento entre dos planos de la roca. Los dos parámetros se los pueden obtener mediante ensayos de compresión triaxial (Figura 3.11).

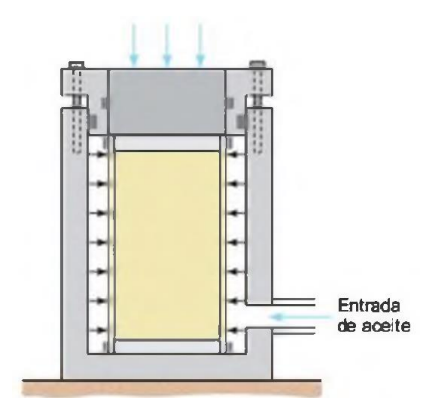


Figura 3.11 Ensayo de resistencia triaxial, Fuente:(Gonzales de Vallejo 2002)

El criterio no lineal propuesto por (Hoek y Brown, 1980), es el más adecuado para evaluar la resistencia de una matriz roca isotrópica en condiciones triaxiales y se expresa mediante la (3.1. Esto se representa mediante una gráfica de esfuerzos principales y porcentaje de deformación axial, en la cual se dibujan los círculos de Mohr que nos ayuda a determinar los parámetros de (c) y (ϕ).

$$\delta \mathbf{1} = \delta \mathbf{3} + \sqrt{mi \, \delta \mathbf{c} \mathbf{i} \delta \mathbf{3} + \delta \mathbf{c} \mathbf{i}^2} \tag{3.1}$$

Donde:

δ1, Esfuerzo principal mayor de rotura.

δ3, Esfuerzo principal menor de rotura

δci, Resistencia a la compresión simple.

Mi, Constante que depende de la matriz.

Todas estas variables anteriormente mencionadas son obtenidas mediante ensayos triaxiales, a excepción de la resistencia de compresión simple.

Por último, la resistencia a la tracción es la máxima fuerza traccional uniaxial que puede soportar la roca antes de fracturarse, este valor puede ser determinado por ensayos de rección directa o indirectamente (Gonzales de Vallejo 2002).

3.2.3 Criterio de rotura Hoek y Brown del macizo rocoso

La resistencia de un macizo rocoso depende del máximo esfuerzo que este puede soportar, a determinadas condiciones, y está en función de la resistencia al corte de la matriz rocosa y discontinuidades. El criterio de rotura propuesto por (Hoek and Corkum 2002), es un criterio empírico el cual nos ayuda a determinar los parámetros como ángulo de fricción y cohesión.

La (3.2, es la original planteada por Hoek y Brown en términos de esfuerzos principales. En este caso utiliza se utiliza la clasificación geomecánica 'RMR' como elemento de relación para las observaciones geológicas de campo.

$$\delta \mathbf{1}' = \delta \mathbf{3}' + \delta \mathbf{ci} (m \frac{\delta \mathbf{3}'}{\delta ci} + s)^{0.5}$$
 (3.2)

Donde:

6'1 y6'3, Esfuerzos principales efectivos mayor y menor en el momento de rotura6ci, Resistencia a la compresión simple.

m y s, Constantes del material, **s = 1** para casos de roca intacta.

Los valores para m y s pueden determinarse por las (3.3¡Error! No se encuentra el origen de la referencia. para macizos rocosos sin alterar y no afectado por voladuras. Y las (3.5¡Error! No se encuentra el origen de la referencia.,para aquellos macizos que se encuentran alterados o afectados por voladuras. En ambas ecuaciones el valor de 'mi' depende de la matriz rocosa, y este es posible determinar en ensayos de compresión triaxial.

$$m = mi \exp \frac{RMR - 100}{28} \tag{3.3}$$

$$S = \exp\frac{RMR - 100}{9} \tag{3.4}$$

$$m = mi \exp \frac{RMR - 100}{14} \tag{3.5}$$

$$S = \exp\frac{RMR - 100}{6} \tag{3.6}$$

La aplicación de criterio de rotura original era muy limitada, ya que, se considera para macizos rocosos isotrópicos, fracturados sin alteraciones y una matriz rocosa resistente. Además, se asume que los bloques de rocas se encuentran en contacto entre ellos y que la resistencia del macizo es controlada por la resistencia de las discontinuidades. Por lo tanto, para casos donde el macizo rocoso es muy fracturado

y de mala calidad, se utiliza el método de Hoek y Brown generalizado (Hoek and Corkum 2002) expresado por la (3.7.

$$\delta \mathbf{1}' = \delta \mathbf{3}' + \delta \mathbf{ci} (mb \frac{\delta \mathbf{3}'}{\delta \mathbf{ci}} + s)^a$$
 (3.7)

En este caso el valor de 'mb', es un valor reducido de 'mi' y se define mediante la (3.8.

$$mb = mi \exp \frac{GSI - 100}{28 - 14D} \tag{3.8}$$

Para determinar los valores de s y a se emplea el Índice de Resistencia Geológica GSI mediante las (3.9 y (**3.10** respectivamente. Este método de clasificación es más adecuado para macizos rocosos muy fracturados y alterados.

$$s = \exp\left(\frac{GSI - 100}{9 - 3D}\right) \tag{3.9}$$

$$a = \frac{1}{2} + \frac{1}{6} \left(e^{-\frac{GSI}{15}} - e^{-\frac{20}{3}} \right)$$
 (3.10)

D es un factor que dependerá del grado de alteración el cual el macizo rocoso ha sido sometido ya sea por efectos de explosivos o relajación de tenciones. En la Tabla 3.2, tomada del articulo (Hoek and Corkum 2002), se muestran los diferentes valores con respecto a las características de excavación.

Tabla 3.2 Valor D sugerido según el tipo de alteración, Fuente: (Hoek and Corkum 2002)

Apariencia del macizo rocoso	Descripción del macizo rocoso	Valor D sugerido
	Excelente calidad de voladura controlada o excavación con tuneladora, TBM, con resultados de alteración mínima del macizo rocoso confinado circundante al túnel	<i>D</i> = 0
	Excavación mecánica o manual en macizos rocosos de mala calidad (sin voladuras) con una alteración mínima en el macizo rocoso circundante. Cuando aparezcan problemas de deformación en el piso durante el avance, la alteración puede ser severa a menos que se coloque una contrabóveda temporal, tal como se muestra en la fotografía.	D = 0 $D = 0.5$ No invert
	Voladura de muy mala calidad en un túnel en roca competente con daños locales severos, extendiéndose 2 o 3 m en el macizo rocoso circundante.	D = 0.8
	Pequeñas voladuras en taludes de ingeniería civil dan lugar a pequeños daños al macizo rocoso, particularmente si se usan voladuras de contorno como se muestra en el lado izquierdo de la fotografia. Sin embargo la liberación de tensiones resulta en alguna alteración.	D = 0.7 Good blasting $D = 1.0$ Poor blasting
	Los taludes en las grandes minas a ciclo abierto sufren alteraciones significativas debido a las grandes voladuras de producción y también debido a la relajación de tensiónes al retirar el estéril de recubrimiento. En algunas rocas blandas la excavación puede llevarse a cabo mediante el ripado y empuje con tractores de orugas y el grado de afección a los taludes será menor.	D = 1.0 Production blasting $D = 0.7$ Mechanical excavation

El módulo de deformación es otra característica importante en el macizo rocoso, este viene dado por la (3.11 cuando σci ≤ 100 MPa, mientras que la (3.12, se utiliza cuando σci > 100 MPa. (Hoek and Corkum 2002) y dependerá del GSI, Resistencia a la compresión uniaxial de la roca intacta y del factor de alteración 'D'.

$$Em(GPa) = \left(1 - \frac{D}{2}\right)\sqrt{\frac{\delta ci}{100}} * 10^{\frac{GSI-10}{40}}$$
 (3.11)

$$Em(GPa) = \left(1 - \frac{D}{2}\right)10^{\frac{GSI - 10}{40}}$$
 (3.12)

3.3 Análisis de estabilidad de talud

Los métodos que se aplicaron en nuestro proyecto para el análisis de estabilidad de talud son los empíricos y de equilibrio límite. Existen muchos más métodos de análisis, pero se han seleccionado estos debido a la información que se tiene y el procesamiento que se le pueden dar a estos datos.

Para el desarrollo del método de equilibrio límite, es necesario conocer previamente qué tipo de rotura ocurre en el talud y los parámetros mecánicos de la roca, para posteriormente aplicar un criterio de rotura adecuado y obtener la superficie potencial de falla con su respectivo factor de seguridad (Gonzales de Vallejo 2002).

El factor de seguridad se lo determina mediante una relación de las fuerzas estabilizadoras, respecto a las desestabilizadoras. Diferentes autores han propuestos metodologías para determinar el factor de seguridad mediante el método de equilibrio límite, en nuestro caso se considera la metodología para taludes de rocas, denominado el método de Bishop simplificado.

Las clasificaciones geomecánicas son metodologías empíricas que evalúan la estabilidad de una excavación. Estas toman en cuenta características del macizo rocoso como datos estructurales de las juntas y el talud, grado de alteración, rugosidad, presencia de agua, entre otras. La clasificación del 'SMR' (Romana 1985), es una de las más utilizadas para taludes, la cual nos permite clasificar el talud, respecto a su calidad, estabilidad y el tipo de tratamiento o sostenimiento. La sección 3.3.1 se detallan cada uno de los sistemas de clasificación aplicados en nuestro estudio.

3.3.1 Métodos empíricos

3.3.1.1 Rock Mass Rating 'RMR'

La clasificación fue planteada por (Bieniawski 1979). Esta se determinó mediante métodos empíricos de cientos de pruebas en diferentes macizos rocosos en África del Sur. Es una de las clasificaciones más importantes y básicas para temas de estabilidad de macizos rocosos ya que de ella se basan otras clasificaciones más.

El índice del RMR, evalúa la calidad del macizo rocoso por medio de 5 características como son; resistencia a la compresión, Rock Quality Designation (RQD), espaciamiento de las juntas, naturaleza de las juntas y presencia de agua. La ponderación de estos cinco factores representa el RMR básico. El sexto factor es un parámetro de corrección respecto a la dirección de las discontinuidades y el túnel, talud o cimentaciones, que nos permite obtener un RMR general. A continuación, se

describe cada una de las características para determinar el RMR básico (Gonzales de Vallejo 2002) .

- Resistencia a la compresión simple de la roca, se puede determinar por medio de ensayos de laboratorio o ensayos directamente en el afloramiento con el martillo de Schmidt.
- RQD: Existen diferentes formas para determinar este parámetro, ya sea por el método cubico, linear o por medio de núcleos de perforación.
- Espaciamiento de las juntas: es el espacio que existe entre cada plano de discontinuidad, falla, diaclasa, entre otros.
- Naturaleza de las juntas: Este parámetro describe características específicas de las juntas las cuales se enlistan a continuación.
 - o Apertura entre labios de la discontinuidad
 - o Continuidad o persistencia.
 - o Rugosidad de los labios de la discontinuidad
 - o Relleno
 - Alteración
- Presencia de agua: dependerá de si el nivel freático se encuentra por encima del macizo rocoso o la presencia de precipitaciones.

Cada uno de estos parámetros tiene una ponderación como se muestra en la siguiente Tabla 3.3.

Tabla 3.3 Ponderación de los parámetros para la obtención del RMR (Bieniawski 1979), Fuente: (Gonzales de Vallejo 2002)

	Resistencia de la matriz rocosa (MPa) Ensayo de carga puntual Compresión simple		CONTRACTOR OF THE PARTY OF THE	> 10	10-4	4-2	2-1		mpres ple (M			
1			> 250	250-100	100-50	50-25	25-5	5-1	< 1			
			Puntuación		12	7	4	2	I	0		
		RQD		RQD		90 %-100 %	75 %-90 %	50 %-75 %	25 %-50 %		< 25 9	6
2		Puntuación		20	17	13	6	3				
	Sep	Separación entre diaclasas		Separación entre diaclas as		> 2 m	0,6-2 m	0,2-0,6 m	0,06-0,2 m	<	0,06	m
3		Punts	uación	20	15	10	8		5			
	Longitud de la discontinuidad				I-3 m	3-10 m	10-20 m	2	> 20 m	Y.		
		Puntuación 6 4 2		1	0							
4	e e	Abe	rtura	Nada	<0,1 mm	0,1-1,0 mm	1-5 mm	>5 mm				
	ts discontinuidades	Punti	uación	6	5	3	1	0				
		Rugo	osidad	Muy rugosa	Rugosa	Ligeramente rugosa	Ondulada	Suave				
	T SE	Puntuación		6	5	3	1	0				
	Estado de l	Rel	leno	Ninguno	Relleno duro <5 mm	Relleno duro >5 mm	Relleno blando < 5 mm	Relieno blar >5 mm				
	E E	Puntuación		6	4	2	2	0				
	1000	Alte	ración	Inalterada	Ligeramente alterada	Moderadamente alterada	Muy alterada	Descompuesta				
		Punti	Puntuación 6 5 3 1				1		0			
	Caudal por 10 m de túnel		The state of the s	Nulo	< 10 litros/min	10-25 litros/min	25-125 litros/min	> 12	5 litro	s/mir		
		Agua Relación: Presión de agua/Tensión principal mayor		0	0-0,1	0,1-0,2 0,2-0,5		> 0,5				
	Estado general			Seco	Ligeramente húmedo	Húmedo	Goteando	Agua flu		endo		
		Punti	uación	15	10	7	4		0			

Corrección por la orientación de las discontinuidades

Dirección y buzamiento		Muy favorables	Muy favorables Favorables Medias		Desfavorables	Muy desfavorables		
	Túneles	0	-2	-5	-10	-12		
Puntuación	Cimentaciones	0	-2	-7	- 15	-25		
	Taludes	0	-5	-25	- 50	-60		

3.3.1.2 Slope Mass Rating 'SMR'

Esta metodología planteada por (Romana 1985), la cual se aplica especialmente para taludes, permitiendo realizar una evaluación empírica de la estabilidad de una excavación. Se basa a partir del RMR básico y considera 4 factores de ajustes que toman en cuenta la orientación de las discontinuidades.

El primer factor F1, depende del paralelismo que puede existir entre la dirección de las discontinuidades con respecto al plano del talud expresada en la (3.13.

$$F1 = (1 - sen(\alpha \mathbf{j} - \alpha \mathbf{s}))^2$$
 (3.13)

Donde, αj y αs es el ángulo de la dirección de la discontinuidad y del talud respectivamente (Romana 1985).

El segundo factor F2, depende del buzamiento de la discontinuidad expresada por la (3.14.

$$F2 = Tg^2(\beta j) \tag{3.14}$$

Donde βj es el buzamiento de la juta.

El factor F3 es la relación entre los buzamientos de las discontinuidades con respecto al talud, mientras que el último factor F4 dependerá del método de excavación del talud.

En la Tabla 3.4, se muestra los valores que tendrán cada uno de los factores de ajuste dependiendo del resultado de las operaciones matemáticas entre las direcciones y buzamientos de los taludes y discontinuidades, además de los métodos de sostenimiento sugeridos.

Tabla 3.4 Clasificación geomecánica de taludes SMR, Fuente: (Gonzales de Vallejo 2002).

	Fact	ores de ajuste por	la orientación de	las ju	ntas (F ₁ , F	2 y F ₃)		
	Caso	Muy favorable	Favorable N		lormal	Destavoral	Muy desfavorabl	
P T	$\frac{ \alpha_j - \alpha_s }{ \alpha_j - \alpha_s - 180^o }$	> 30°	30° - 20°	30° - 20° 20		10° - 5°	< 5°	
P/T	F ₁	0,15	0,40		0,70	0,85	1,00	
D.	$ \beta_j $	< 20°	20° - 30°	30	r – 35°	35° - 45°	' > 45°	
P	F ₂	0,15	0,40		0,70	0,85	1,00	
Т	F ₂	ī	1		1	1	1	
P T	$\beta_j - \beta_s$ $\beta_j + \beta_s$	> 10° < 110°	$10^{9} - 0^{9}$ $110^{9} - 120^{9}$			0 - (-10	°) < -10°	
P/T	F,	0	-6	-25		-50	-60	
	X	Factor de ajuste	por el método d	e exca	vación (F_4)	9		
Método	Talud natural	Precorte	Voladura suave		Voladura o excavación mecánica		Voladura deficiente	
F ₄	+ 15	+ 10	+ 8		0		- 8	
		Ωε	ses de estabilida	ıd			***	
Clase	v	IV	III		п		1	
SMR	0 - 20	21 - 40	41 - 40		61 - 80		81 - 100	
Descripción	Muy mala	Mala	Normal		Buena		Muy buena	
Estabilidad	Totalmente inestable	Inestable	Parcialmente es	stable	Estable		Totalmente estable	
Roturas	Grandes roturas por planos continuos o por masa	Juntas o grandes cuñas	Algunas juntas o muchas cuñas		Alguno	os bloques	Ninguna	
Tratamiento	Reexcavación	Corrección	Sistemático	0	Oca	asional	Ninguno	

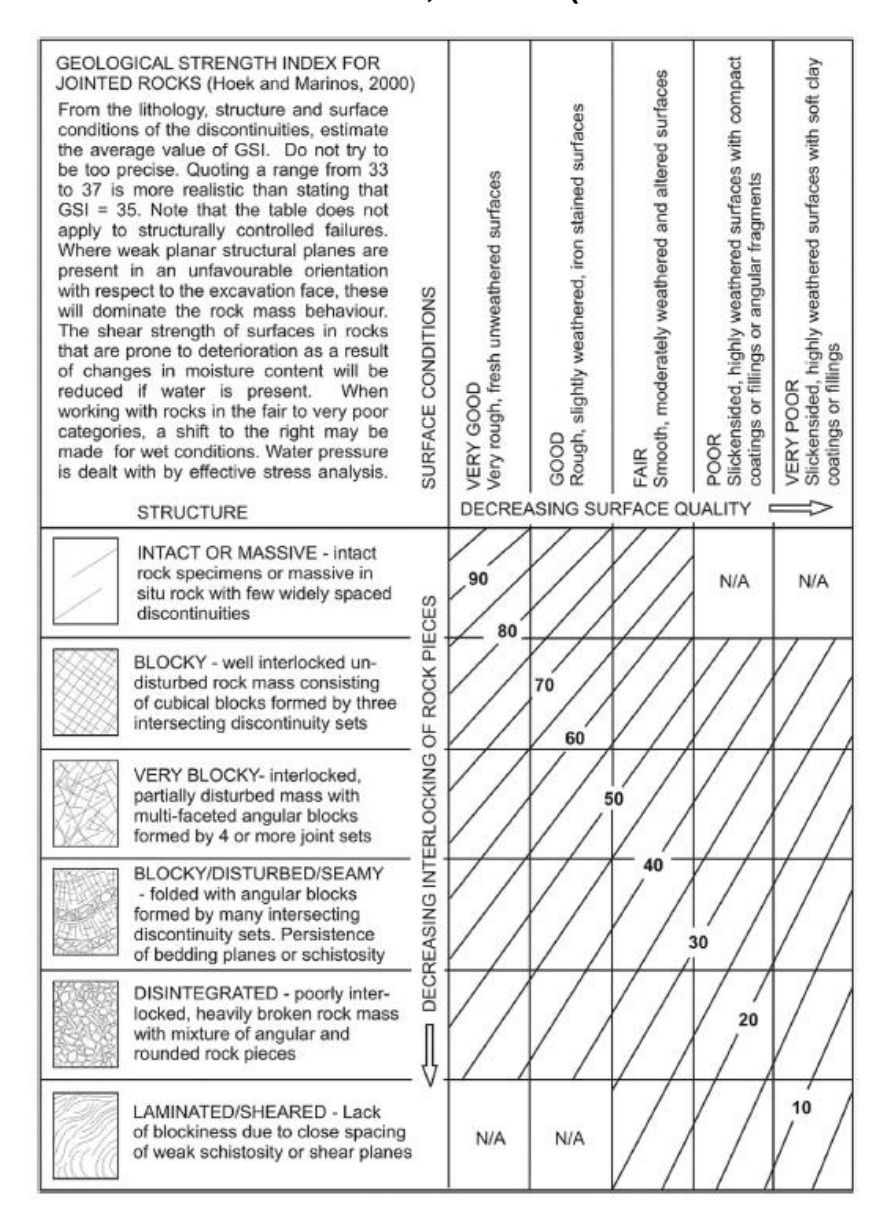
			VAL	ORES DE	L SMR PA	RA CA	4DA	FORN	IA DE	RO	TUR/	(El	ИРÍR	ICOS)		
ROTURAS PLANAS Muy GRANDES			DES		IMPORTANTES NIN					VINGUNA						
ROTURAS EN CUÑA						MUCHAS			ALGUNAS			MUY POCAS		NINGUNA		
ROT. POR VUELCO					IMPORT.	MENORE			ENORES	S			NINGUNA			
ROT. COMPLETAS			POSI	BLES	•						NING	UNA				
SMR →	0 10) 1:	5 2 	0 3 	0 40	45	50	55	60 	65	70		75 	80	90	100
REEXCAVACIÓN				VACIÓN CONTENCIÓN												
DRENAJE				NAJE SUPERFI ENAJE PROFUN												
HORMIGÓN	HORMIGÓN PROYECTADO HORMIGÓN DENTAL CONTRAFUERTES y/o VIGAS MUROS DE PIE															
REFUERZO]	BULONES ANCLAJES														
PROTECCIÓN							ZANJA DE PIE VALLAS (DE PIE O DE TALUD) REDES y/o MALLAS (DE TALUD)									
SIN SOSTENIMIENTO														SANEO NINGUNO)	
				MÉTOD	OS DE SOS	STENI	MIEN	ITO S	UGE	RIDO	S					

3.3.1.3 Geological Strength Index 'GSI'

Este factor fue propuesto por (Hoek, Kaiser, and Bawden 1995), se estableció para poder abordar 2 factores que se consideran que tengan influencias muy importantes en las propiedades mecánicas de un macizo rocoso, es decir, la estructura y el estado de las juntas.

El sistema fue pensado para manejar macizos rocosos compuestos de bloques angulares entrelazados, en donde el proceso de rotura es dominado por bloques deslizantes y de rotación. Posteriormente (Marinos and Hoek 2000), publicaron una nueva tabla del GSI realizando algunos ajuste teniendo una visión más extensa tal como se muestra en la Tabla 3.5 .Las principales modificaciones fue que agregaron gráficos para las ofiolitas y rocas tectónicamente no perturbadas.

Tabla 3.5 Gráfico de GSI básico, Fuente: (Marinos and Hoek 2000)



3.3.2 Método de equilibrio límite, Bishop Simplificado

Los métodos de equilibrio son los más utilizados en la actualidad en los trabajos de estabilización de taludes, se caracterizan por determinar una superficie teórica de rotura y un factor de seguridad (FS).

En el caso de roturas circulares se recomienda el uso de la metodología de Bishop simplificada para macizos rocosos isotrópicos, baja resistencia, altamente alterados o intensamente fracturados (Gonzales de Vallejo 2002).

Este método considera las siguientes hipótesis para su análisis:

Rotura circular

- El talud es dividido en n columnas.
- Se establece un equilibrio de momentos de las fuerzas que actúan en cada columna respecto al centro del circulo.
- Se obtienen las fuerzas normales N, de cada columna y se sustituye en la ecuación resultante de equilibrio de momentos.
- Las fuerzas de contacto entre cada columna no influyen.
- Se obtiene un factor de seguridad F expresado por la (3.15.

$$F = \frac{\sum [cA * cos\alpha + (W - Ucos\alpha)tg\emptyset][1/Mi(\alpha)]}{\sum Wsen\alpha}$$
(3.15)

Donde:

A; área del plano de rotura

c: cohesión

W; peso de la columna

α; Angulo entre una recta vertical y una recta hacia el centro de la columna en la superficie de rotura circular Figura 3.12.

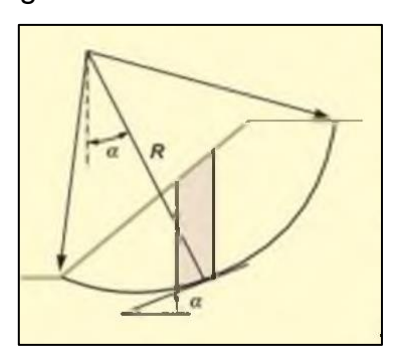


Figura 3.12 Gráfica para obtener el valor de α; Fuente: (Gonzales de Vallejo 2002)

Mi (α); se estima mediante el ábaco de la Figura 3.13.

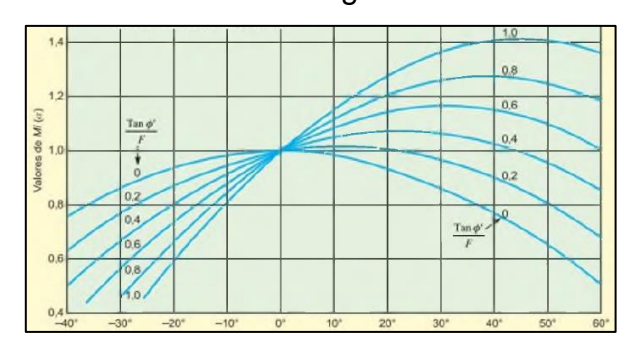


Figura 3.13 Estimación del valor de Mi(α); Fuente: (Gonzales de Vallejo 2002)

El menor FS se lo determina mediante un proceso iterativo, donde se va calculando cada valor para cada superficie de rotura. La interacción para el cálculo del FS puede ser realizada mediante softwares como el de Slide, el cual nos presenta las superficies de rotura potencial con su respectivo FS.

El factor de seguridad (FS) es muy importante, ya que, dependiendo de la obra y de las necesidades de estas se puede modificar o no. Cuando el FS > 1, las condiciones serán estables y si el FS < 1, las condiciones serán inestables. En nuestro proyecto únicamente se ha calculado el factor de seguridad y respecto a ello se recomienda o no medidas de estabilización, debido a que si el factor de seguridad es muy elevado (FS > 1.5), no es necesario aplicar medidas de sostenimiento, y si este está muy cercano a 1 si es viable aplicar un tipo de sostenimiento para elevar el F.S.

3.3.3 Estabilizaciones en pendientes de roca

Para la estabilización de un talud es necesario conocer las propiedades y comportamiento geomecánico del terreno, mecanismo y tipología de rotura, y los factores geológicos, así como hidrogeológicos que influyen en la inestabilidad.

Para ello es necesario realizar trabajos in situ y complementarlos con ensayos de laboratorio, para que de esta manera permita la definición de las propiedades y parámetros geotécnicos de los materiales (Gonzales de Vallejo 2002).

Existen dos principales grupos de estabilización para taludes de roca, estos se dividen en remoción de material y refuerzos.

Existen muchos tipos de estabilización mediante refuerzos, pero para nuestro proyecto únicamente se ha considerado los anclajes de rocas, muros de reacción, malla de alta resistencia con anclajes y cortinas de guiado tal como se muestran en las Figura 3.14Figura 3.15Figura 3.16 respectivamente (Duncan, C WyllieChristopher 2004). A continuación, una descripción de cada tipo de sostenimiento.

Anclajes de roca (2,3, Figura 3.14): Los anclajes de roca pueden ser barras
rígidas o múltiples cables flexibles unidos en paquete. Este tipo sostenimiento
se trata de evitar el deslizamiento de bloques o cuñas de rocas en las
discontinuidades que salen de la parte frontal del talud. Sin embargo, la función

- principal de este soporte es modificar las fuerzas normales y de corte que actúan sobre los planos deslizantes.
- Muro de reacción (3, Figura 3.14): El sostenimiento se aplica en fallas tipo deslizantes donde las rocas se encuentran muy fracturadas. Si se aplican únicamente pernos de anclaje, estos pueden degradarse y desgarrarse lo que provocaría una pérdida de la tensión de los pernos, por lo tanto, se sugiere en estos casos construir un muro de hormigón armado para cubrir el área de la roca fracturada, funcionando como medida de protección para el desmoronamiento de la roca. Posteriormente se procede a perforar para instalar los anclajes y tensarlos contra la pared.
- Mallas de alta resistencia con anclajes (Figura 3.15): Este tipo de sostenimiento se compone de una malla construida con un alambre de alta resistencia la cual es adjuntada a la roca con anclajes tensados que atraviesan el macizo hasta llegar a la roca sana. El sostenimiento funciona muy bien en macizos rocosos fracturados, donde los bloques tienen un tamaño considerable y se encuentran medianamente alterados.
- Cortinas de guiado (Figura 3.16): Las cortinas de guiados se compone de una malla de alta resistencia la cual es anclada en la parte superior del talud.
 Este sostenimiento es muy utilizado en taludes donde se presentan caídas de rocas, ya que, evita la invasión de estos materiales en la vía acumulándolos en la parte inferior del talud lo que permite una fácil remoción.

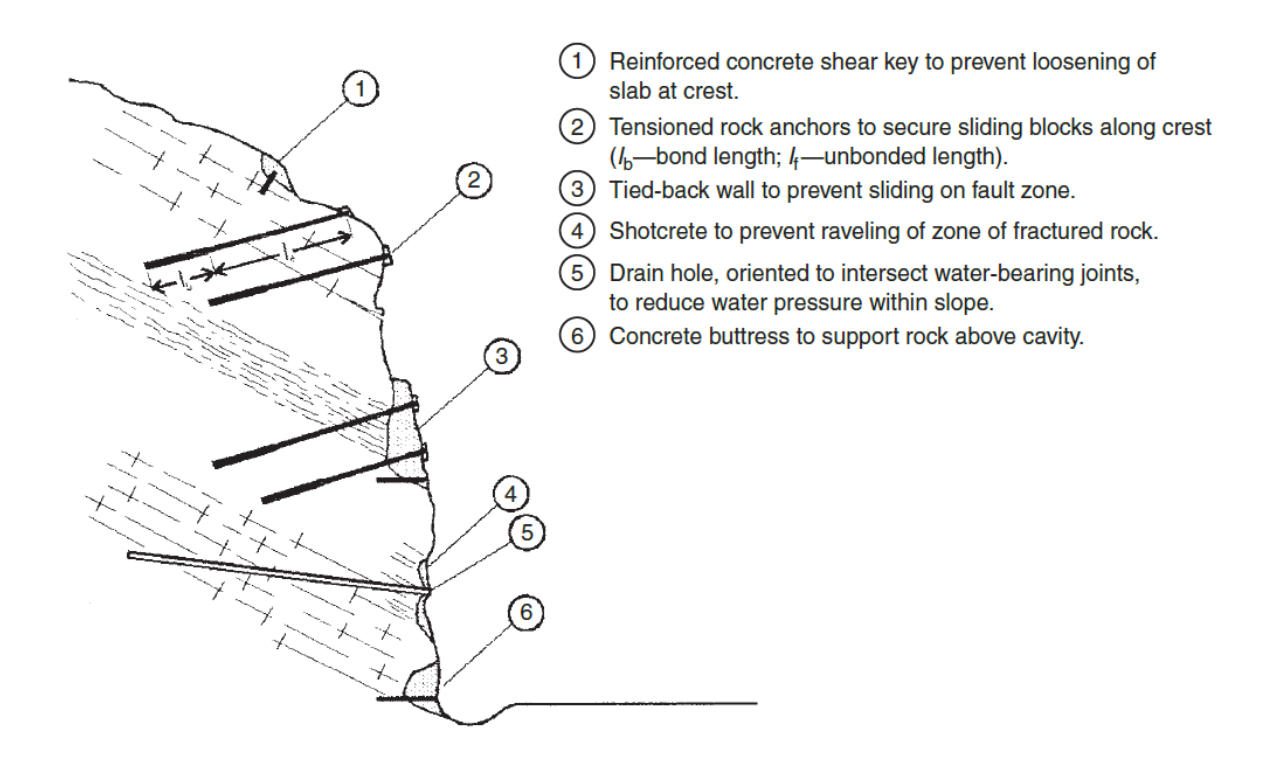


Figura 3.14 Medidas de estabilización de pendientes de roca mediante refuerzos, Fuente: (Duncan, C WyllieChristopher 2004)

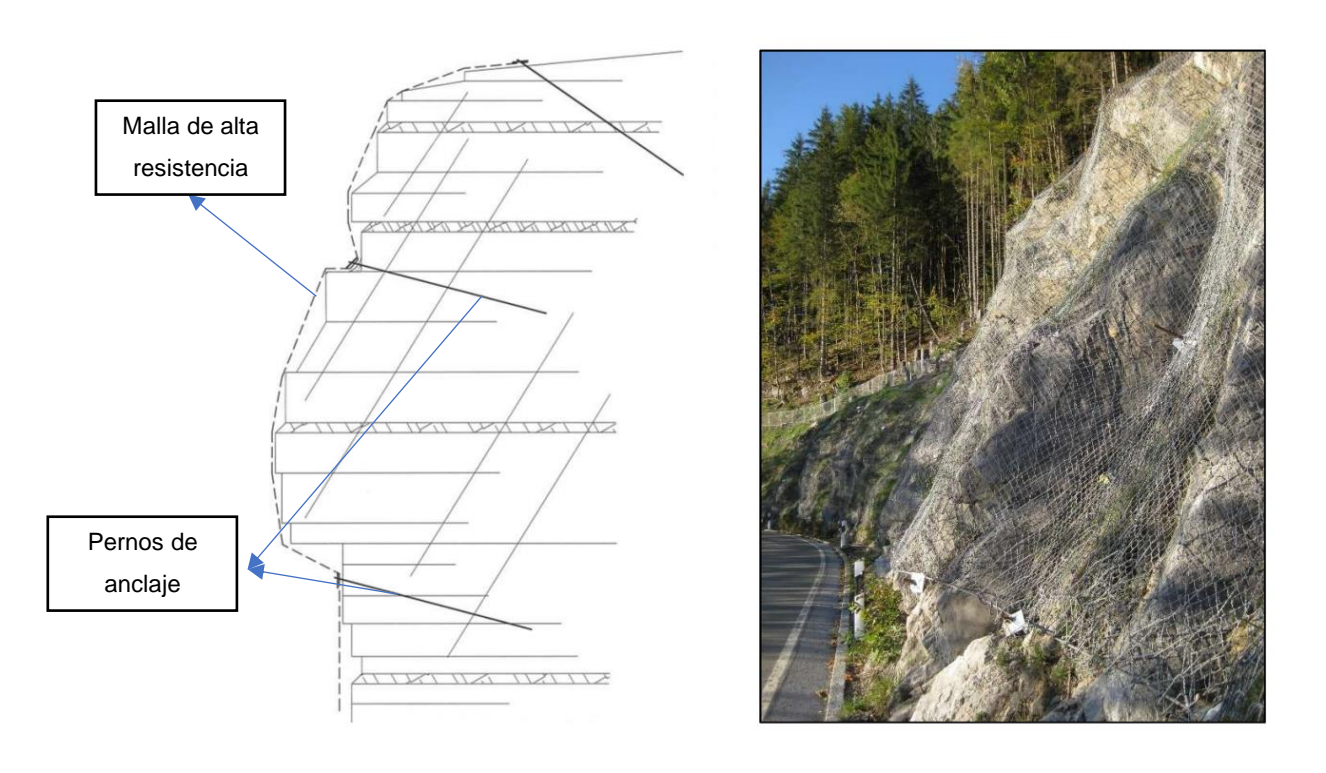


Figura 3.15 Malla de alta resistencia con anclajes, Fuente: Geobrugg.



Figura 3.16 Cortinas de guiado, Fuente: Geobrugg.

Las medidas de estabilización mediante la remoción de rocas se dividen en 4 (Figura 3.17) (Duncan, C WyllieChristopher 2004). A continuación, se describe el método que se utiliza en muestro proyecto.

• Descarga de material del cabecero o reexcavación (1, Figura 3.17): Este método se lleva a cabo cuando es necesario remover material en la parte superior del talud y modificar el campo de tensiones. Para realizarlo se trata de realizar un corte con el ángulo más plano dejando la roca competente en la parte inferior. Sin embargo, se debe de tener mucho cuidado con el análisis previo, ya que al remover el material se puede inducir un deslizamiento si es que el cálculo del volumen deslizante no es el correcto.

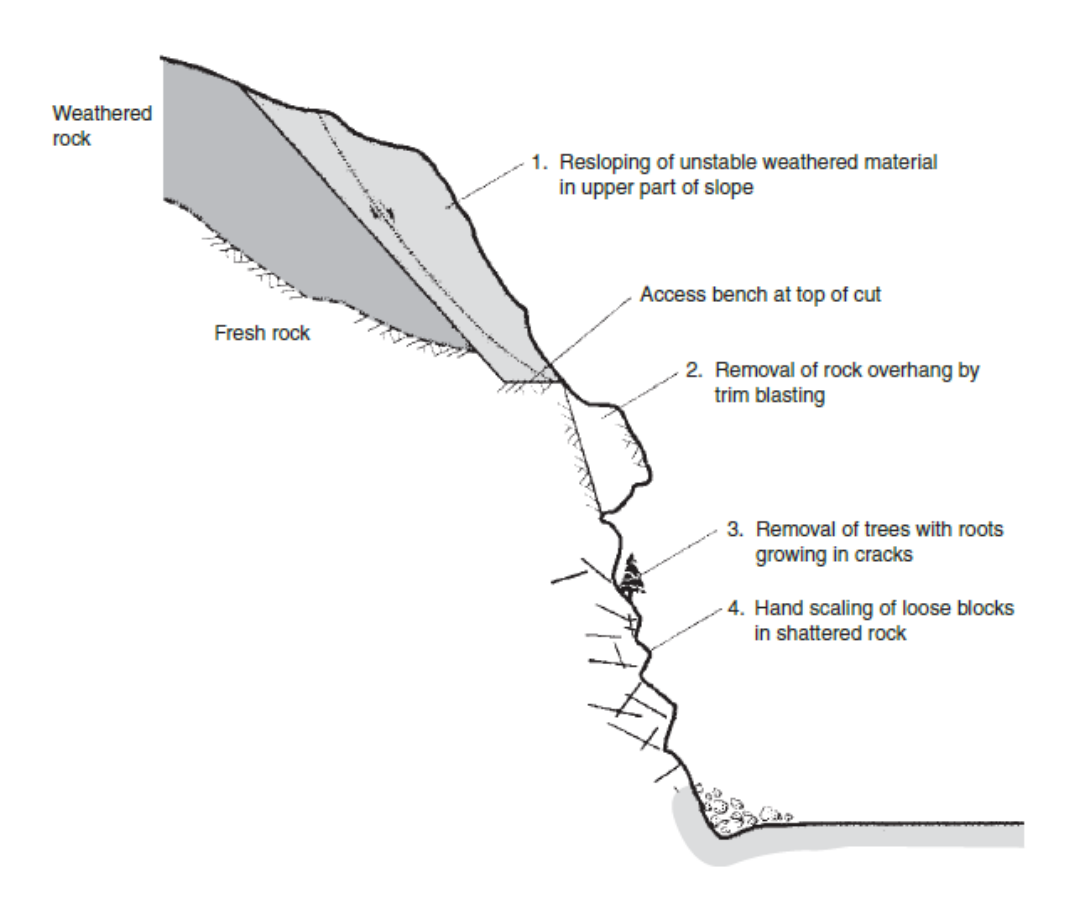


Figura 3.17 Medidas de estabilización de pendientes de roca mediante remoción de material, Fuente: (Duncan, C WyllieChristopher 2004)

3.4 Estado del Arte

Los deslizamientos de taludes y laderas han sido ampliamente estudiados por diferentes investigadores, donde han planteado una diversidad de metodologías para la predicción y análisis de zonas susceptibles a deslizamientos, así como que sostenimiento es el más adecuado.

Las metodologías más utilizadas son las empíricas, determinísticas, probabilísticas y numéricas en el estudio de estabilidad de taludes. La aplicación más adecuada dependerá de las características que tenga nuestra zona de estudio y que datos son los que se pueden obtener.

Bieniawski Z.T. en 1989 propuso una de las metodologías más utilizadas actualmente conocida como 'Rock Mass Rating' (RMR) para determinar la calidad del macizo rocoso, a partir de esta se dividen otros sistemas de clasificación que se basan en la metodología anteriormente mencionada.

Para taludes, la clasificación más utilizada es la que propuso (Romana 1985) conocida como 'SMR', esta metodología se basa en el RMR, donde su principal objetivo es evaluar las estabilidad de una excavación mediante un índice y determinar empíricamente el método de estabilización. Por otro lado, el 'Chinese Slople Mass Rating' es una clasificación propuesta por (Chen 1995) como un factor de ajuste para el sistema SMR, respecto a las condiciones de las discontinuidades y altura del talud. Existen más clasificaciones que se aplican en taludes, las cuales se presentan en la Tabla 3.6, que dependiendo de las condiciones que se presenten en el proyecto se deberá escoger la más adecuada.

Tabla 3.6 Resumen de principales sistemas de clasificación para pendientes, Fuente: (Pantelidis 2009)

Nombre de sistema	Abreviación	Autor	Características
Rock Mass Rating	RMR	(Bieniawski 1979)	Para la aplicación en pendientes,
			determina calidad de macizo rocoso y
			da recomendaciones de sostenimiento.
Rock Mass Strength	RMS	(Moon and Selby	Para escarpes de una variedad de
		1983; Selby 1980)	litologías y pendientes.
Slope Mass Rating	SMR	(Romana 1985)	Basada en el RMR, es una de las
			clasificaciones más utilizadas para
			pendientes.
Slope Rock Mass	SRMS	(Robertson 1988)	Basada en el RMR, se centra en
Rating			materiales débiles y alterados macizos
			rocosos de núcleos de perforación.
Chinese Slope Mass	CSMR	(Chen 1995)	Factor de ajustamiento aplicado en el
Rating			SMR para condiciones de
			discontinuidades y pendientes altas.
Geological Strength	GSI	(Hoek, Kaiser,	Basada en RMR, para macizos rocosos
Index		and Bawden	muy fracturados.
		1995)	
Rockslope	RDA	(Nicholson and	Para pendientes superficiales,
Deterioration		Hencher 1997)	descomposición debido a la intemperie
Assessment			de la excavación en pendientes de roca.
Slope Stability	SSPC	(Hack, Price, and	Evaluación probabilística de diferentes
Probability		Rengers 2003)	mecanismos de falla independientes.
Classification			

Como se mencionó anteriormente existen métodos determinísticos para evaluar la estabilidad de talud. Incluso pueden realizarse una combinación de diferentes métodos como el que aplico (Sari 2019), el cual utiliza métodos empíricos, cinemáticos, numéricos y límites de equilibrio. El objetivo de su estudio fue analizar las condiciones de estabilidad en el corte de una carretera por diferentes aspectos. El autor determina diferentes parámetros del macizo mediante softwares especializados como RocLab por el método de Hoek-Brown y Mohr-Coulom para determinar la cohesión, ángulo de fricción, esfuerzos tangenciales, cortantes y el módulo de elasticidad. Para el análisis empírico determina el SMR y el análisis cinemático mediante proyecciones estereográficas, finalmente aplica el método de Bishop simplificado y realiza un análisis de elementos finitos. Sin embargo, el estudio mediante elementos finitos tiene un grado de complejidad alta debido a compresión y sensibilidad al ingresar parámetros que al final nos pueden dar resultados erróneos.

Otro estudio plantea un análisis de estabilidad de pendientes probabilístico con elementos finitos (Griffiths and Fenton 2004), utiliza un método probabilístico avanzado llamado 'random finite-elements method (RFEM)', donde usa la elastoplacidad combinada con teorías empíricas, esta metodología tiene algunas ventajas con respecto a los métodos probabilísticos convencionales ya que permite que se desarrolle una rotura en la pendientes naturales al buscar el mecanismo más crítico. Sin embargo, en el estudio concluyen que análisis probabilísticos simplificados, en el que se ignora la variabilidad espacial suponiendo una correlación perfecta, puede conducir a estimaciones no conservativas de la probabilidad de que ocurra una rotura.

En casos donde se consideran factores de seguridad relativamente bajos, debido que se estudian suelos homogéneos, o cuando el coeficiente de variación de la resistencia es relativamente alto se puede llegar a estimaciones no adecuadas. Sin embargo, la metodología realizada por (Griffiths and Fenton 2004), puede resultar muy aplicable para construcciones de diques o represas donde el material de construcción se puede considerar homogéneo y se tiene una geometría especifica establecida.

Existen otras publicaciones de trabajos de evaluación de estabilidad que aplican algunos de métodos empíricos de la Tabla 3.6, como el de 'Evaluation of Slope Stability Considering the Preservation of the General Patrimonial Cementery of

Guayaquil, Ecuador' (Morante et al. 2019). En dicho trabajo se evalúa la estabilidad de la pendiente a través de un análisis geotécnico, medidas estructurales y observaciones en campo. En este caso utilizan la clasificación de RMR, SMR y CSMR, debido a que es una pendiente de roca con una altura de aproximadamente 50 m. La zona de estudio la dividieron en 11 diferentes sectores, donde se analizó la susceptibilidad de cada uno de estos en condiciones normales y condiciones extremas, considerando las precipitaciones, al finalizar se aplica un método de equilibrio mediante el software Slide, para considerar las posibles superficies de rotura.

3.5 Estudios Previos de la Zona de Interés

Los estudios previos de la zona de estudio son los realizados por la empresa de Geoestudios S.A., contratado por el M.T.O.P. para la ampliación de la vía Guangarcucho-Lumagpaba-Paute-Gualaceo a una de cuatro carriles. El trabajo consta de un informe de la caracterización geológica y geotécnica de tres sitios críticos y cortes de vía, donde los dos primeros son los de nuestra zona de estudio.

En este estudio se realizaron las caracterizaciones geomecánicas de RMR, GSI, SMR y QSIope. Existen perforaciones denominadas PP17, PP18 Y PSC01. En los cuales realizaron cálculos de RQD de la perforación PP17, en esta se tienen resultados de un macizo rocoso malo de 0 a 3 m y de 4 a 6 m de profundidad, mientras que de 3 a 4 m tiene una calidad media. Para la perforación PP18, se tiene una calidad mala de 6 a 7 y de 7 a 11 media. Finalmente, en la perforación PSC01, se tiene una calidad media de 1 a 15 m. Los resultados de las caracterizaciones del macizo rocoso son reservados por lo cual no se tuvo acceso al mismo.

CAPÍTULO 4

4. METODOLOGÍA

4.1 Metodología propuesta

Los deslizamientos en la vía Guangarcucho – Paute – Gualaceo, provocan daños en la vía y producen pérdidas económicas a los diferentes sectores productivos por el cierre de esta. Por tal motivo, el presente diagrama (Figura 4.1) plantea el procedimiento que se realizó para determinar el modelo de sostenimiento más adecuado para cada sitio crítico, considerando las características geotécnicas y geológicas del área de estudio.

• Fase 1, Recopilación de información

La primera fase es fundamental para el desarrollo de nuestro proyecto y también para el planteamiento de la metodología, ya que, se buscó información necesaria para el arranque de nuestro estudio. Mediante la lectura de publicaciones, informes, libros y tesis, en las cuales se obtuvo una guía de los métodos que se pueden realizar para determinar un modelo de estabilización.

El reconocimiento previo del área de estudio fue posible de realizar mediante la búsqueda en geoportales e informes, que nos proporcionen información acerca de la geología del sector, ya sea, en escala regional y local. Mientras que, la topografía fue proporcionada por la empresa Geoestudios S.A., con curvas de nivel cada 1 metro de diferencias en cotas.

En esta fase también es muy importante la relación con el cliente, debido a que es quien establece que producto es el que desea, las restricciones y los recursos disponibles. Esta interacción nos ayudó a determinar que metodología es la más adecuada de las anteriormente investigadas, considerando que sea factible de realizar y cumpla con lo solicitado.

• Fase 2, Informe geológico/geotécnico

En la segunda fase se realizó una planificación para el levantamiento geológicogeotécnico del área de estudio, esta fue posible de plantear utilizando la información recopilada en la fase previa, para poder conocer que datos son necesarios de obtener.

Esta fase consta de una caracterización geológica, que tuvo como objetivo realizar tres secciones estratigráficas mediante la descripción de las perforaciones PP-18, PP-17 y PSC-01, las cuales se encuentran cerca del área de estudio. Además, se llevó a cabo un análisis petrográfico de tres laminas delgadas, para poder identificar y describir los minerales, así como el tipo de roca que se encuentra en el sector. Seguidamente se describió la morfología detallando los principales rasgos de cambios en la meteorización, coloración y espaciamiento de las discontinuidades.

La caracterización geotécnica se realizó mediante el levantamiento de estaciones geomecánicas, en las cuales se tomaron medidas de dirección de buzamiento, buzamiento, características de las discontinuidades, relleno y resistencia con el martillo de Schmitt. Mientras que los parámetros geomecánicos del macizo y matriz rocosa fueron obtenidos mediante ensayos de laboratorio los cuales se detallan en la sección 4.3.2.

Fase 3, Cálculo de estabilidad

El cálculo de estabilidad de taludes se llevó a cabo mediante una combinación de métodos empíricos, cinemáticos y de equilibrio límite. Como primer paso, se realizó el análisis cinemático usando las medidas de dirección de buzamiento y buzamiento tanto de las discontinuidades como del talud, obtenidas de las estaciones geomecánicas, y el ángulo de fricción interna. Estos datos se las ingresaron al software Dips, permitiéndonos graficar los planos y polos para determinar el porcentaje de probabilidad de falla de algún tipo de rotura.

La determinación del tipo de rotura más probable que ocurra nos permite poder seleccionar los métodos empíricos y de equilibrio límite más adecuados de realizar los cuales se presentan en la Tabla 4.1.

Tabla 4.1 Metodologías de análisis para estabilidad de taludes.

Metodologías de análisis						
Métodos empíricos	Método de equilibrio límite					
RMR						
SMR	Bishop simplificado					
GSI						

Los métodos empíricos, nos dan como resultado la calidad, deformabilidad, rotura y medidas de estabilidad generales del macizo rocoso. Mientras que el método de Bishop simplificado, nos permite conocer las superficies potenciales al deslizamiento y determinar un factor de seguridad, como se explicó en la sección 3.3.2. Al ser este último un método iterativo con cálculos muy extensos, se optó por utilizar el software de Slide.

• Fase 4, Análisis de resultados

En esta fase se procedió a integrar todos los resultados anteriores, mostrando las zonas más probables a que ocurra un deslizamiento mediante una evaluación del estado actual de estabilización del talud mediante el análisis de los resultados de las valoraciones de los métodos empíricos y las superficies de falla de los métodos de equilibrio límite para finalmente dar una recomendación del sostenimiento.

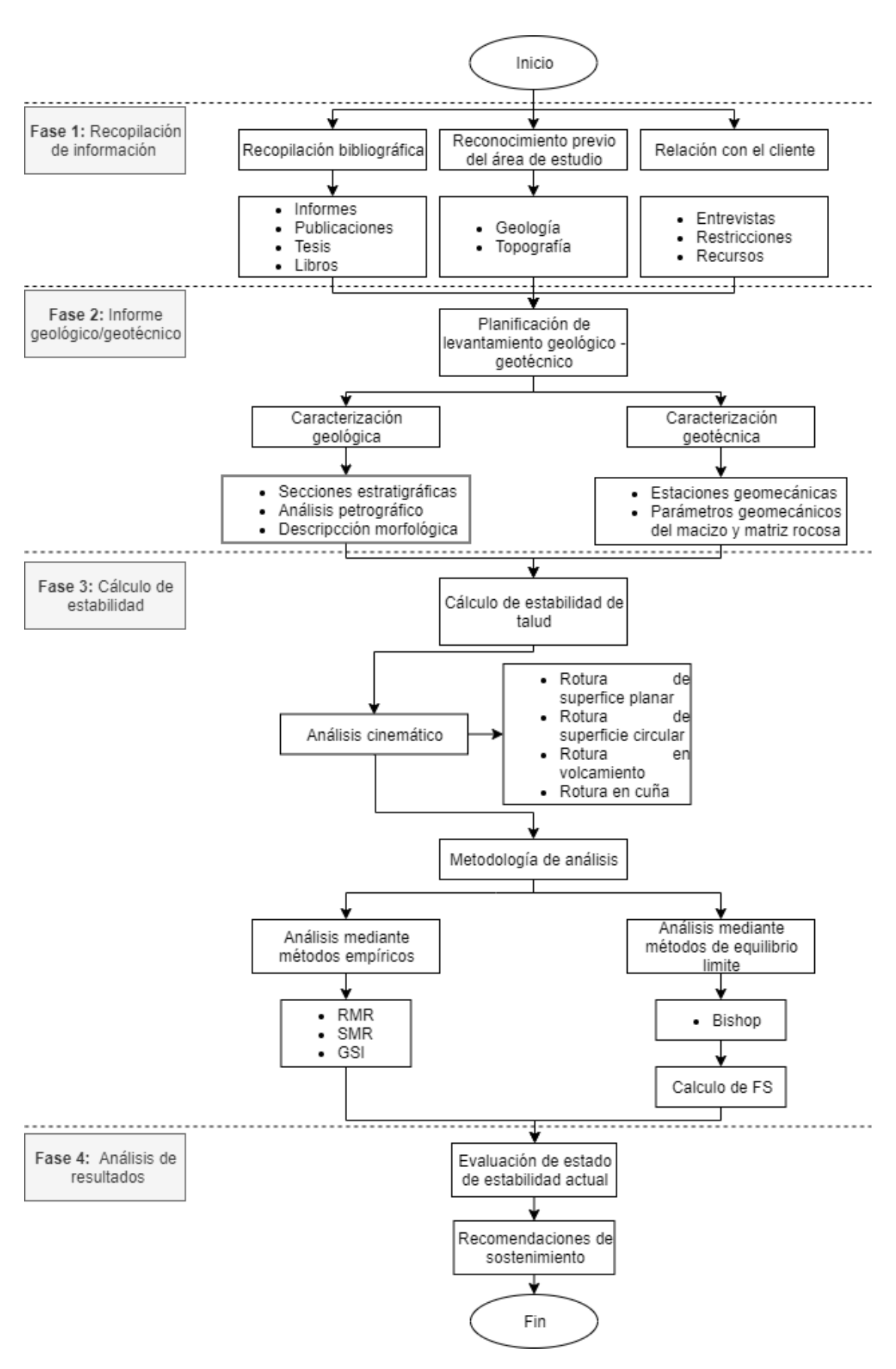


Figura 4.1 Diagrama de flujo de la metodología realizada en el proyecto, Fuente: Ruben Gonzalez M.

4.2 Recopilación de información

4.2.1 Recopilación bibliográfica

La recopilación bibliográfica consta en buscar información relevante acerca de estabilidad de taludes y que estas sean posibles de aplicar a nuestro proyecto. La búsqueda de las publicaciones se la realizó mediante el portal de 'Google Académico' y las editoriales 'El Sevier' y 'Springer'. Los principales libros utilizados fueron 'Rock Slope Engineering' (Duncan, C WyllieChristopher 2004), y 'Ingeniería Geológica' (Gonzales de Vallejo 2002). Las tesis fueron recopiladas de los diferentes repositorios de universidades reconocidas como la Universidad de Chile, Universidad Central del Ecuador y Escuela Politécnica Nacional. Y, por último, los informes fueron proporcionados por la empresa Geoestudios S.A., donde se detallan diferentes ensayos de laboratorio, así como descripciones de núcleos de perforación los cuales van a ser utilizados posteriormente.

4.2.2 Reconocimiento previo del área de estudio

El área de estudio fue reconocida previamente mediante la búsqueda de información en el Geoportal del IGEE acerca de la geología del sector de una hoja geológica a escala 1:50000. Esto nos da una idea de la litología que se puede presentar, pero no tiene mucho detalle, por lo tanto, se realizó una caracterización geológica más detallada la cual se explica en la sección 4.3.1.

La topografía proporcionada por la empresa Geoestudios S.A., nos permitió conocer que zonas presentan una mayor pendiente, la longitud y el área de los sitios críticos 1 y 2.

4.2.3 Relación con el cliente

Nuestro cliente es la empresa Geoestudios S.A., por lo que relacionar con ellos sobre qué tipo de producto desean es muy importante en la etapa inicial de nuestro proyecto. Para ello fue necesario aplicar las metodologías de Desing Thinking de empatizar y definir.

Para la fase de empatizar se utilizó la metodología de Análisis Dimensional, donde el objetivo es de poder dimensionar el estudio mediante la compresión a profundidad del problema. Para ello fue necesario realizar una entrevista con el cliente que nos permita responder las siguientes seis preguntas:

- ¿Cuál es el problema?
- ¿Quiénes están involucrados?
- ¿Para qué resolverlo?
- ¿Qué grado de relevancia tiene el problema?
- ¿Cuál es la causa?
- ¿En qué lugar acontece el problema?

Las respuestas de cada una de estas preguntas se encuentran en la sección de Anexos 8.1.

Para la etapa de 'Define', se aplicó la metodología de '¿Cómo podríamos...?'. Esta nos ayudó a definir el problema realizando preguntas claves considerando el usuario, la necesidad y la visión.

Una vez realizada la relación con el cliente y luego de haber hecho una revisión previa de la zona de estudio, se pudo seleccionar la metodología más adecuada de las buscadas en la recopilación de información, considerando los recursos y restricciones que se plantean en la Tabla 4.2.

Tabla 4.2 Restricciones y recursos

Recursos	Restricciones
Topografía	Ensayos triaxiales
 Ensayos de compresión simple 	Precipitaciones diarias
 Núcleos de perforación 	Nivel de superficie saturada
Análisis petrográfico	Accesibilidad a la parte superior
 Estaciones geomecánicas 	del talud
Medidas de resistencia con el	 Modelo de infiltración de agua
martillo de Schmitt	
Ortofotos	

4.3 Informe geológico – geotécnico

En la estabilidad de taludes existen factores influyentes, que pueden provocar el desarrollo de una rotura a lo largo de una o varias superficies. Estos son divididos en factores condicionantes o pasivos, y factores desencadenantes o activos. La Tabla 4.3 se muestran aquellos factores que son tomados en cuenta para nuestro proyecto.

Tabla 4.3 Factores influyentes en la inestabilidad de taludes

Factores influyentes en la i	nestabilidad de los taludes
Factores condicionantes	Factores desencadenantes
 Estratigrafía y litología Estructuras geológicas Condiciones hidrogeológicas y comportamiento hidrológico de los materiales. Propiedades físicas, resistentes y deformacionales. 	 Cambios en las condiciones hidrogeológicas. Factores climáticos. Variaciones en la geometría.

Esta fase del informe geológico-geotécnico reúne toda la información de los factores tanto condicionantes, así como los desencadenantes que pueden dar como resultado un deslizamiento en nuestra zona de estudio. Además, esta información será de ayuda para el desarrollo de las metodologías planteadas en la fase de cálculo de estabilidad.

Para realizar este informe fue necesario planificar la caracterización, tanto geológica como geotécnica, y determinar el número de ensayos, descripciones y estaciones que se realizarían, dependiendo de la extensión de cada sitio crítico

4.3.1 Caracterización geológica

La caracterización geológica abarco en realizar secciones estratigráficas, análisis petrográficos y descripciones morfológicas.

Las secciones estratigráficas se las realizaron por medio de la descripción de núcleos de perforación, tomando en cuenta estructuras, composición, relleno, tamaño de

grano y color. Las perforaciones descritas fueron las de PP-17, PP-18 y PSC-01 con 6, 11 y 15 m de profundidad respectivamente. Posteriormente se procedió a digitalizar la información utilizando el Software de AutoCAD.

En el análisis petrográfico, se realizó una descripción macroscópica y microscópica de tres muestras de las perforaciones anteriormente mencionadas, se escogieron aquellas que presenten un cambio de coloración o textura lo cual puede representar un posible cambio de litología.

Para la descripción macroscópica fueron suficientes las muestras de mano, mientras que para la microscópica se necesitó realizar laminas delgadas, para posteriormente observar las características mediante un microscopio óptico.

En la Tabla 4.4 se muestran las características de las descripciones macroscópicas y microscópicas.

Tabla 4.4 Características para la descripción de muestras macroscópicas y microscópicas.

Característic	cas de descripción
Macroscópicas	Microscópicas
Tamaño de grano	Forma
Color	Clivaje
Fracturamiento	Fractura
Forma de cristales	Maclas
Tamaño de granos	Pleocroísmo
Distribución de granos	Minerales
Orientación de los componentes	Porcentaje de minerales
Minerales	

La determinación de la litología es un factor muy importante, ya que nos permite conocer la ubicación del nivel freático, sea en condiciones normales o en épocas lluviosas, considerando la permeabilidad de los materiales.

La descripción morfológica se realizó mediante la descripción en campo y con el uso de ortofotos, solamente se describieron aquellas geoformas y estructuras que tienen influencia en los deslizamientos. No se utilizaron herramientas de teledetección debido a que el área de estudio es pequeña para aplicar dicha metodología.

4.3.2 Caracterización geotécnica

La caracterización geotécnica consta 10 estaciones geomecánicas para cada sitio crítico, estas se ubican considerando la accesibilidad y que se encuentren equitativamente distribuidas a lo largo del talud. En cada estación se llenó una ficha para levantamiento geomecánico (Tabla 4.5 Tabla 4.6), la cual nos da información de la dirección y de características de las discontinuidades que servirán posteriormente para el análisis cinemático y la caracterización del macizo rocoso mediante los métodos empíricos. Posteriormente se procedió a clasificar la zona de estudio considerando los cambios de meteorización y de esta manera poder tratar los datos obtenidos en las estaciones geomecánicas de una manera más general para el análisis de estabilidad de talud.

Tabla 4.5 Ficha para levantamiento geomecánico, Fuente: (Gonzales de Vallejo 2002)

						/ANTAMIENTO			- Valleje	,
					N HOJA:				PROVINCIA	
PROYECTO:				ESTACIÓN:	CÓDIGO:			LOCALIZACIÓN:	CANTÓN	
REALIZADO POR:				HOJA/PLANO:					LOCALIDAD	
REALIZADO POR:				HOJA/PLANO:					X:	
FECHA:				FOTOS:				COORDENADAS	Y:	
									Z:	
LITOLOGÍA:		<u>NATURALEZA</u>		POTENCIA	DEPÓSITO:	SSUPERFICIALES		MORFOLOGÍA,		ESPESOR
<u>ESTRUCTURAS</u>	PLIEGUES		FALLAS		COLUMNA	S		OTROS,		
FRACTURACIÓN	BLOQUES Jv Juntas / m3	MUY GRA	ANDES <1	GRANDES	5 1-3	MEDIOS 3-10	PEQUEÑO	MUY PEC	UEÑOS >30	MUY BRECHIFICADA >60
GRADO DE METEORIZACIÓN	SANA I	ALGO METEORIZADA II	MED. METE	ORIZADA III	MUY N	IETEORIZADA IV	COMPL	METEORIZADA V		SUELO RESIDUAL VI
HIDROGEOLOGÍA	SIN PERSENCI	A DE AGUA	SECO (CON SEÑ	ALES DE AGUA)	1	HÚMEDO	GOTEOS	FLUJO		CAUDAL ESTIMADO
OBSERVACIONES: .						<u>RESISTEN</u> <u>"R"ESCLERÓI</u>				
<u> FОТО</u>										

Tabla 4.6 Ficha para levantamiento geomecánico, Fuente: (Gonzales de Vallejo 2002)

																				FI	СНА	PA	RA I	LEV/	ANT	AMI	ENT	го G	ЕОМ	ECÁI	NIC	0																			
ESTA	CIĆ	ŃĊ		ES	PAC	IAD	0 (m)		C	ONTI	INUID	AD (m)			ΑP	ERT	UR	A (m	ım)			R. /	Apr			R	UGO	SIDA	۱D										R	ELLE	NO	S							
CEIVEIRANCE	ZAMIENIO		Ext. Juntas	Muy Juntas	Juntas	Moder. Juntas	Separadas	Muy Separadas	Ext. Separadas	Muy baja	Baja	Moderada	Alta	Muy alta	Muy Cerrada	Cerrada	Parc. Cerrada	Abierta	Moder. Abierta	Ancha	Muy Ancha	Ext. Ancha	Cavernosa				ESCALONADA		V C V C C C C C C C C C C C C C C C C C	CINCOLADA		PLANA					izaci			FILT	RACIO	ONES		Re	esist			(Geo	. Sch	mid	t)
TIPO DE PLANO	DIRECCION DE BUZAMIENTO	BUZAMIENTO	<0,02	0,02 - 0,06	0,06 - 0,20	20 - 60			9 <	<1	1-3	3 - 10	10 - 20			0,1-0,25			2,5-10			100-1000	>1000	Composición	Espesor (cm)	l Rugosa	II Lisa	III Slickensided	l Rugosa	ensided	I Bugosa		ensided	l Sana	II Algo meteorizada	III Med. Meteorizada	IV Muy meteorizada	V Complet. Meteorizada	VI Suelo Residual	Seco	Humedo	Fluio	Mily blando	Blando	Consistanta		Oilro	Oino 5 &	Índice R		Dirección
TIPO	DE I	PLAI	NO				o Es							1Jn 1Fr			S				RELL	ENC	<u> </u>		G - (Grav		5 - Ar	ena		A - A	Arcill		Bred	cha	I	1 - N		Q - C nita	Cuar	zo			C - C		O - 0		dos F - Fe	elde	spa	to

Los parámetros geomecánicos es una parte muy importante en la caracterización geotécnica, debido a que estos nos proporcionarán información esencial para el desarrollo de los métodos de equilibrio límite. Algunos de ellos son determinados mediante ensayos de laboratorio, mientras que otros son obtenidos por medio de la aplicación del criterio de rotura de (Hoek and Corkum 2002) generalizado.

En la Tabla 4.7 se presentan los parámetros necesarios y el método utilizado para determinarlos.

Tabla 4.7 Parámetros del macizo y matriz rocosa con su respectivo método, Fuente: (Duncan, C WyllieChristopher 2004)

Matriz	Rocosa	Macizo	Rocoso
Parámetro	Método	Parámetro	Método
Esfuerzo de	Ensayo de	Factor de	Observaciones en
compresión simple	compresión simple	disturbancia 'D'	campo
Constante 'mi'	Ensayos triaxiales	Módulo de	Criterio de rotura
	o tablas referencial	deformación (Ei)	(Hoek and Corkum
	(Tabla 4.8)		2002)
Módulo de	Ensayo de	Resistencia al	Criterio de rotura
deformación (Ei)	compresión simple	corte	(Hoek and Corkum
			2002), y uso de
			software RocLab.
Peso específico de	Humedad de la	Resistencia a la	Criterio de rotura
roca intacta	roca y medidas	compresión	(Hoek and Corkum
saturada y no	geométricas de la		2002), y uso de
saturada.	muestra regular.		software RocLab.

Tabla 4.8 Estimación de la constante 'mi' según el tipo de roca, Fuente: (Duncan, C WyllieChristopher 2004).

Rock	Class	Group		Texture		
type			Coarse	Medium	Fine	Very fine
			Conglomerates (21±3)	Sandstones 17±4	Siltstones 7±2	Claystones 4±2
	Clastic		Breccias (19±5)		Greywackes (18±3)	Shales (6±2)
4RY						Marls (7±2)
SEDIMENTARY		Carbonates	Crystalline Limestone (12±3)	Sparitic Limestones (10±2)	Micritic Limestones (9±2)	Dolomites (9±3)
S	Non- Clastic	Evaporites		Gypsum 8±2	Anhydrite 12±2	
		Organic				Chalk 7±2
METAMORPHIC	Non foliate	ed	Marble 9±3	Hornfels (19±4) Metasandstone (19±3)	Quartzites 20±3	
METAN	Slightly fo	liated	Migmatite (29±3)	Amphibolites 26±6	Gneiss 28±5	
	Foliated*			Schists 12±3	Phyllites (7±3)	Slates 7±4
			Granite 32±3	Diorite 25±5		
		Light	Granod (29 ±			
	Plutonic	Dark	Gabbro 27±3	Dolerite		
IGNEOUS		Dark	Norite 20±5	(16±5)		
IGNE	Hypabyss	al	Porphyries (20±5)		Diabase (15±5)	Peridotite (25±5)
				Rhyolite (25±5)	Dacite (25±3)	Obsidian (19±3)
	Volcanic	Lava		Andesite 25±5	Basalt (25±5)	
		Pyroclastic	Agglomerate (19±3)	Breccia (19±5)	Tuff (13±5)	

4.4 Cálculo de estabilidad

Existen muchas metodologías para el cálculo de estabilidad de talud. Sin embargo, los métodos más utilizados son numéricos, empíricos, equilibrio límite y cinemáticos. En nuestro caso de estudio se consideraron los tres últimos anteriormente mencionados.

El método cinemático fue posible realizarlo, ya que, únicamente considera datos netamente geométricos, los cuales fueron posibles de determinar mediante la topografía, medidas estructurales de buzamiento y dirección de buzamiento, y ensayos de laboratorio para obtener el ángulo de fricción interna, además nos indica que tipo de rotura puede ocurrir, resultando un dato muy importante para poder escoger los siguientes métodos empíricos y de equilibrio límite.

Debido a que nuestro estudio se trata de un talud de roca, los métodos empíricos más adecuados son el RMR, GSI y SMR, estos nos ayudan a determinar la calidad del macizo rocoso y nos da una recomendación del tipo de sostenimiento se debe utilizar en el talud, además toma en cuenta características como las propiedades de las discontinuidades, medidas estructurales, resistencia del macizo rocoso y litología, las cuales fueron posibles de recopilar mediante las estaciones geomecánicas y ensayos de laboratorio.

Los métodos de equilibrio límite se dividen para taludes de suelos y roca, este último se subdivide en métodos para rotura tipo planar, cuña, volcamiento y rotacional, por lo cual, es muy importante conocer qué tipo de rotura es la más probable que ocurra.

El método de Bishop Simplificado es el más utilizado en taludes de roca debido a que es practico de realizar comparado con el resto de los métodos que existen. La característica principal es que asume que todas las fuerzas cortantes, entre las dovelas, son cero. Se considero usar el método debido a que todos los datos que se requieren para su análisis fueron posibles de determinar.

Por último, los métodos numéricos no fueron considerados en nuestro estudio debido a que estos son muy complejos de utilizar, son no lineales, no considera las características de las discontinuidades y no permite modelar fracturas.

4.4.1 Análisis cinemático

Para este análisis se utilizó el software DIPS, en él se ingresaron datos estructurales lo cual nos permitió graficar los polos, densidad de polos y planos en una proyección estereográfica.

Mientras mayor sea la acumulación de polos es más probable es de que exista una familia de discontinuidad, esto nos permite identificar el número de familias que se encuentran en cada sitio crítico.

El software DIPS tiene una herramienta llamada 'Kinematic Analisis', que nos permitió analizar el tipo de rotura puede ocurrir, ya sea planar, en cuña o volcamiento. Para ello fue necesario ingresar datos del buzamiento y dirección de buzamiento del talud, así como el ángulo de fricción interna de las discontinuidades, en la Figura 4.2 se muestran los datos requeridos para realizar este tipo de análisis.

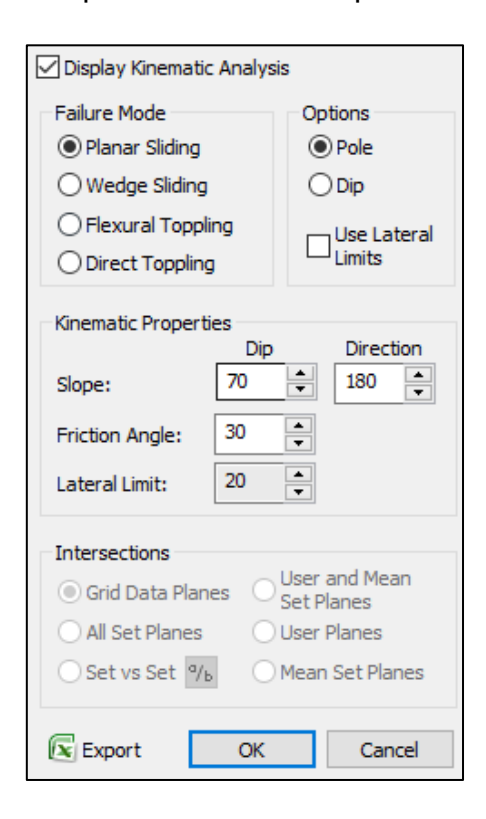


Figura 4.2 Datos de entrada para análisis cinemático en software DIPS. Fuente: RocScience

Una vez ingresado los datos, el software nos entrega como resultado un porcentaje que indica la probabilidad de que ocurra el tipo de rotura analizada y esto lo realiza considerando el número de polos que caen en la zona critica, determinada según los parámetros geométricos explicados en las secciones 3.1.5, 3.1.6, 3.1.7 y 3.1.8 para cada tipo de rotura.

4.4.2 Análisis mediante métodos empíricos

En nuestro proyecto se aplicaron tres métodos empíricos los cuales son; RMR, SMR y GSI. Cada uno de ellos realizaron mediante diferentes metodologías las cuales se describen a continuación.

Rock Mass Rating

La valoración del RMR, nos permite conocer la calidad del macizo rocoso y poder clasificar aquellas zonas que tienen una mejor o peor calidad. Además, es un factor importante para obtener el índice del SMR.

Para determinar el RMR se utilizaron los resultados de las fichas de levantamiento geomecánico (Tabla 4.5 yTabla **4.6**), como son espaciado, continuidad, apertura, rugosidad, relleno y resistencia del martillo de Schmitt. Posteriormente se procedió a ponderar cada una de estas características utilizando la Tabla 3.3, dándonos como resultado un valor entre (0-100) que nos indica la calidad, cohesión y ángulo de rozamiento del macizo rocoso (Tabla 4.9).

Tabla 4.9 Valoración RMR, Cohesión y ángulo de rozamiento según método de RMR, Fuente: (Gonzales de Vallejo 2002)

Clase	Calidad	Valoración RMR	Cohesión	Ángulo de rozamiento
I	Muy Buena	100-81	> 4 kg/cm ²	> 45°
п	Buena	80-61	3-4 kg/cm ²	35°-45°
ш	Media	60-41	2-3 kg/cm ²	25°-35°
ΓV	Mala	40-21	1-2 kg/cm ²	15°-25°
ν	Muy mala	< 20	< 1 kg/cm ²	< 15°

Slope Mass Rating

Los factores de corrección del SMR fueron calculados mediante la herramienta 'SMRTool', en ella se ingresan los datos de RMR básico, dirección de buzamiento y buzamiento del talud, así como de las discontinuidades, y el método de excavación aplicado (Figura 4.3).

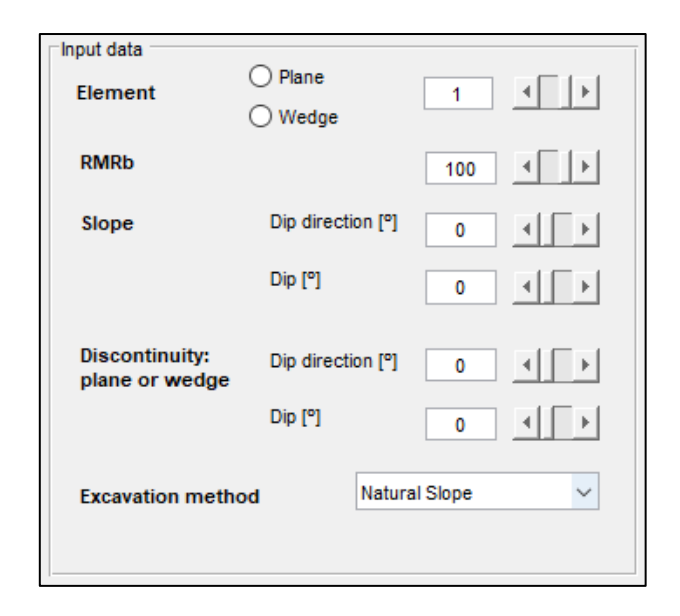


Figura 4.3 Datos de entrada para cálculo del índice SMR, Fuente: SMRTool

Este software nos presenta como resultado el valor del SMR, la clase, descripción, estabilidad, el tipo de rotura que puede ocurrir y la recomendación de soporte tal como se muestra en la Figura 4.4.

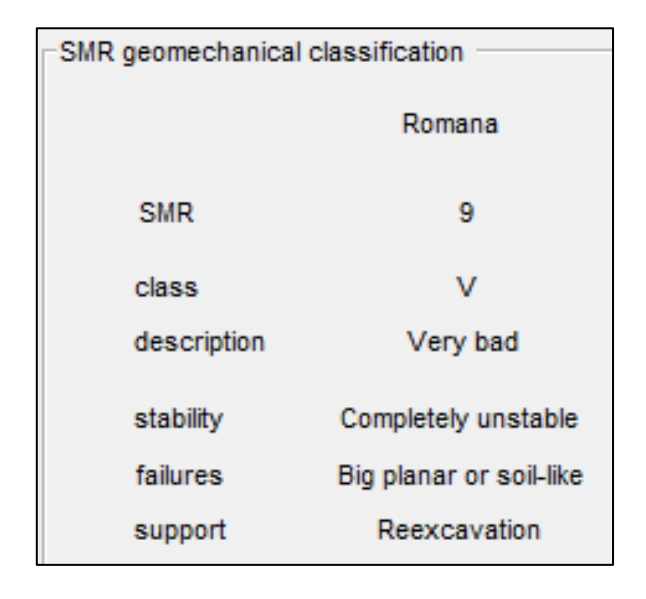


Figura 4.4 Resultados de software SMRTool, Fuente: SMRTool

GSI

El valor del GSI fue determinado considerando la litología, estructura y las condiciones de las superficies de discontinuidades. El valor no es muy preciso, por lo que solamente se estima un rango de la Tabla 3.5 de la sección 3.3.1.3.

La determinación de este parámetro nos ayuda posteriormente a realizar los cálculos de los valores mb ((3.8), s ((3.9) y a ((3.10), del criterio de corte de (Hoek and Corkum 2002) generalizado.

4.4.3 Análisis mediante método de Bishop simplificado

El método de Bishop simplificado es un método iterativo y con cálculos muy extensos, por lo cual fue necesario utilizar un software que nos pueda ayudar a obtener los resultados correspondientes. El programa de Slide nos permite poder realizar estos cálculos, pero para ello fue necesario establecer parámetros generales, método, materiales y de la geometría del talud los cuales se detallan en la Tabla 4.10.

Tabla 4.10 Datos de entrada en software Slide

	Datos de e	ntrada	
Generales	Método	Material	Geometría del talud
Coeficiente sísmico	Especificar el método, en nuestro análisis es el de Bishop simplificado.	Establecer el criterio de corte, en nuestro caso (Hoek and Corkum 2002) generalizado.	Perfil lateral del talud con sus respectivos materiales.
Tipo de superficie, circular o no circular.	Establecer el número de dovelas.	Peso específico del material saturado y no saturado.	Geometría de las estructuras cercanas.
Unidades de esfuerzo	Establecer la tolerancia.	Resistencia a la compresión simple del material.	
Dirección de falla	Establecer el número máximo de iteraciones.	Constantes s, a y mb del material.	

Los valores de las constantes s, a y mb, se los obtiene mediante el uso del software RocLab. Ingresando datos de esfuerzo de resistencia a la compresión simple 'sigci',

GSI, mi, Factor de disturbancia 'D' y módulo de elasticidad de roca intacta 'Ei' (Figura 4.5).

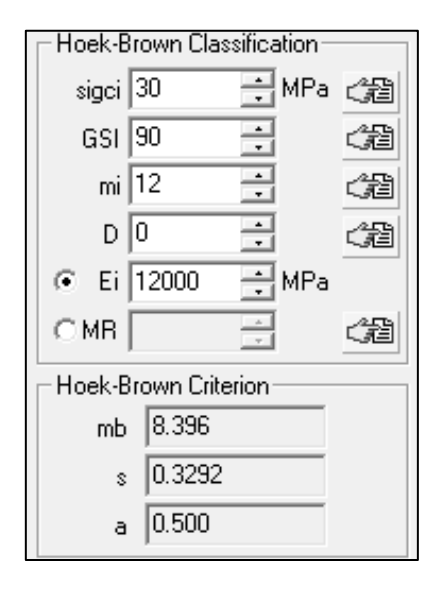


Figura 4.5 Datos de entrada y resultados en software RocLab, Fuente: RocScience.

CAPÍTULO 5

5. RESULTADOS

5.1 Caracterización Geológica

La geología de la zona de estudio se determinó mediante la descripción de núcleos de 3 perforaciones cercanas al talud ubicadas en las coordenadas mostradas en la Tabla 5.1. Además, se realizaron tres columnas estratigráficas y tres láminas delgadas, adjuntadas en la sección 8.2 y 8.3 de Anexos respectivamente, para poder detallar el cambio de litología que podría existir.

En general, las tres perforaciones tienen una misma litología que es andesita, variando en el tamaño de los cristales de plagioclasas, hornblendas y la textura, principalmente. Siendo la perforación PP-17 la que mejor conserva los minerales formadores e identificando claramente las plagioclasas, cuarzos y feldespatos alcalinos en la lámina de la muestra PP-17, dando como resultado una andesita.

La perforación PP-18 se conforma de una andesita con cristales de minerales formadores más pequeños, en comparación con la anterior perforación. En el análisis petrográfico se identificaron venillas de carbonatos y algunas estructuras como las sombras de presión que indican un grado de metamorfismo, que en este caso resulto bajo o muy leve, debido a que la muestra de mano no presenta estructuras de un metamorfismo muy marcado ni presencia de micas. Se debe de mencionar que no fue posible realizar una clasificación porcentual en la lámina delgada debido a que se presenta una alteración en los minerales.

La perforación PSC-01, se muestra una alternancia de fragmentos de andesita bien cristalizada con flujos de lava de composición andesitica, la lámina delgada de esta perforación muestra una alteración en los cristales de plagioclasas y feldespatos alcalinos, por lo cual no se pudo realizar la clasificación porcentual. Sin embargo, mediante la descripción de la muestra de mano se determinó que se trata de un flujo de lava de composición andesitica.

Tabla 5.1 Ubicación de perforaciones

Perforaciones	Ubicación (Coordenadas UTM 17S)
PP-17	X: 739319, Y:9684545
PP-18	X: 739393, Y:9684512
PSC - 01	X: 739599, Y:9684564

5.2 Caracterización Geotécnica

Los Mapa 5.1 Mapa 5.2 ,para el sitio criticó 1 y 2 respectivamente, muestran la ubicación de las estaciones geomecánicas. El área de estudio se clasificó en 9 zonas, considerando los cambios de coloración, textura, presencia de discontinuidades y alteración de la roca a lo largo del afloramiento estudiado. La descripción de cada una de estas zonas se encuentra en la Tabla 5.2. La ubicación de los estadios de la roca en el afloramiento se muestra en un perfil frontal (Figura 5.2) y en planta (Figura 5.1), donde se pueden apreciar los cambios en todo el afloramiento.

MAPA DE ESTACIONES SITIO CRÍTICO 1



Mapa 5.1 Ubicación de estaciones geomecánicas sitio crítico 1

MAPA DE ESTACIONES SITIO CRÍTICO 2



Mapa 5.2 Ubicación de estaciones geomecánicas sitio crítico 2

Tabla 5.2 Descripción de zonas de meteorización

Zonas	Descripción
	Macizo rocoso de color gris oscuro con presencia de poca vegetación en la parte
	superior, las familias de discontinuidades tienen un espaciamiento aproximado
Zona 1	de 1.0 m. El grado de meteorización es moderado debido a que menos de la
	mitad del macizo rocoso aparece descompuesto, la roca esta fresca y con pocas
	descoloraciones.
	Macizo rocoso de color gris oscuro, las familias de discontinuidades se
	encuentran más juntas, respecto a la zona anterior, tienen un espaciamiento
Zona 2	aproximado de 0.5 – 1.0 m. Se encuentra moderadamente meteorizado, debido
	a que aún se puede observar la roca fresca y aun no se encuentra totalmente
	descompuesto el macizo rocoso, aparecen ciertas descoloraciones.
	Macizo rocoso de color marrón grisáceo, se presentan grandes caras de
	discontinuidades descubiertas en la parte frontal, los bloques tienen un tamaño
Zona 3	considerable en la parte central, sin embargo, se encuentra más descompuesto
20118 3	en la parte inferior. El Macizo esta moderadamente meteorizado, en su mayoría
	presenta una estructura continua pero también existen zonas donde la roca se
	encuentra con descoloraciones y descompuesta.
	Macizo rocoso de color marrón claro – beige, en la parte superior se encuentra la
	roca descompuesta en un material fino el cual se desliza acumulándose en la
	parte inferior como pequeños conos de deyección, presenta un gran número de
Zona 4	fracturas con un espaciamiento aproximado de 0.1 - 0.5 m, lo cual genera
20114	bloques pequeños. El macizo encuentra altamente meteorizado, ya que más de
	la mitad del rocoso aparece transformado en suelo. Además, se presenta la roca
	con descoloraciones y alteradas, sin embargo, aún se conservan ciertas zonas
	aisladas de roca fresca.
	Macizo rocoso de color gris claro, se presenta una meteorización moderada y
Zona 5	gran número de fracturas. Se conserva en un gran porcentaje la roca fresca con
	ciertas descoloraciones de color oscuro.
	El macizo rocoso se encuentra fuertemente fracturado generando bloques
Zona 6	pequeños, tiene un grado de meteorización alto parecido al de la zona 4, a
	diferencia de que esta zona presenta un menor porcentaje de roca
	descompuesta y aún conserva un porcentaje considerable de roca fresca en la

	parte inferior. Además, esta zona ha sido trabajada con maquinaria por lo que
	presenta una mayor meteorización que la zona 5 que se encuentra abajo.
	Macizo rocoso altamente meteorizado, presenta un gran porcentaje de
	descomposición de la roca en suelo y también existen bloques que amenazan
Zona 7	con deslizarse en la parte superior del talud, algunos de ellos se encuentran
	acumulados en el pie del talud la dicha zona. Existen zonas donde la roca se
	encuentra fresca pero muy fracturada.
	Macizo rocoso de color gris oscuro, las familias de discontinuidades se
	encuentran muy marcadas y continúas generando grandes bloques, algunos de
	ellos han deslizado dando la formación de una zona cavernosa donde los
Zona 8	bloques están próximos a deslizarse. El macizo se encuentra altamente
	meteorizado, ya que, en la parte superior se puede observar que la roca se ha
	descompuesto en suelo y también las caras de las discontinuidades se
	encuentran descoloridas y manchadas por alteraciones.
	Macizo rocoso fracturado con presencia de una leve vegetación en la parte
	frontal, las familias de discontinuidades se encuentran poco marcadas por la
Zona 9	meteorización y el recubrimiento del suelo en la parte superficial. El macizo se
2011a 9	encuentra ligeramente meteorizado ya que conserva en un mayor porcentaje la
	roca fresca. Sin embargo, existen zonas donde la roca se encuentra descolorida
	y alterada.

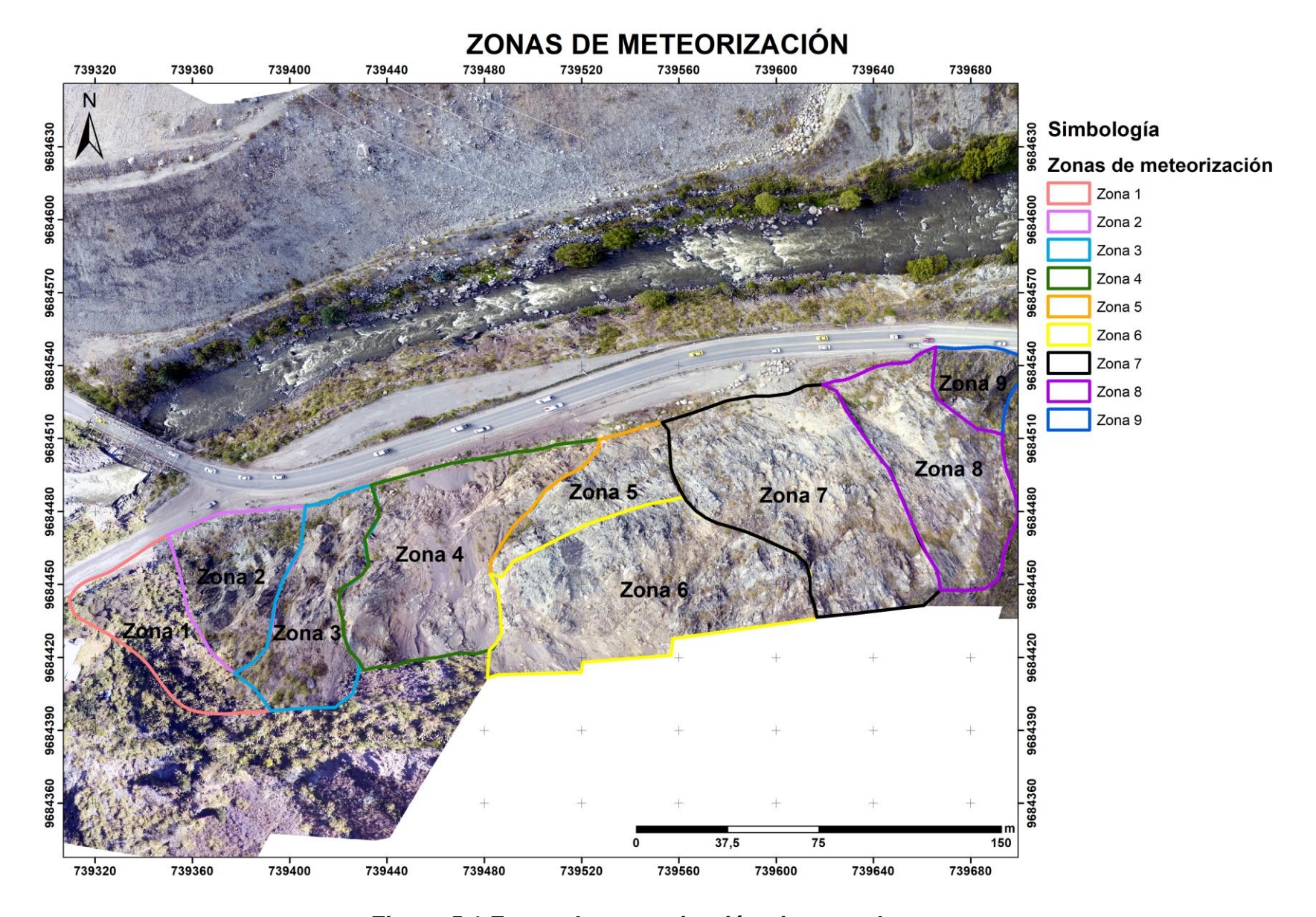


Figura 5.1 Zonas de meteorización vista en planta

PERFIL VISTA FRONTAL SITIO CRÍTICO 1 Y 2

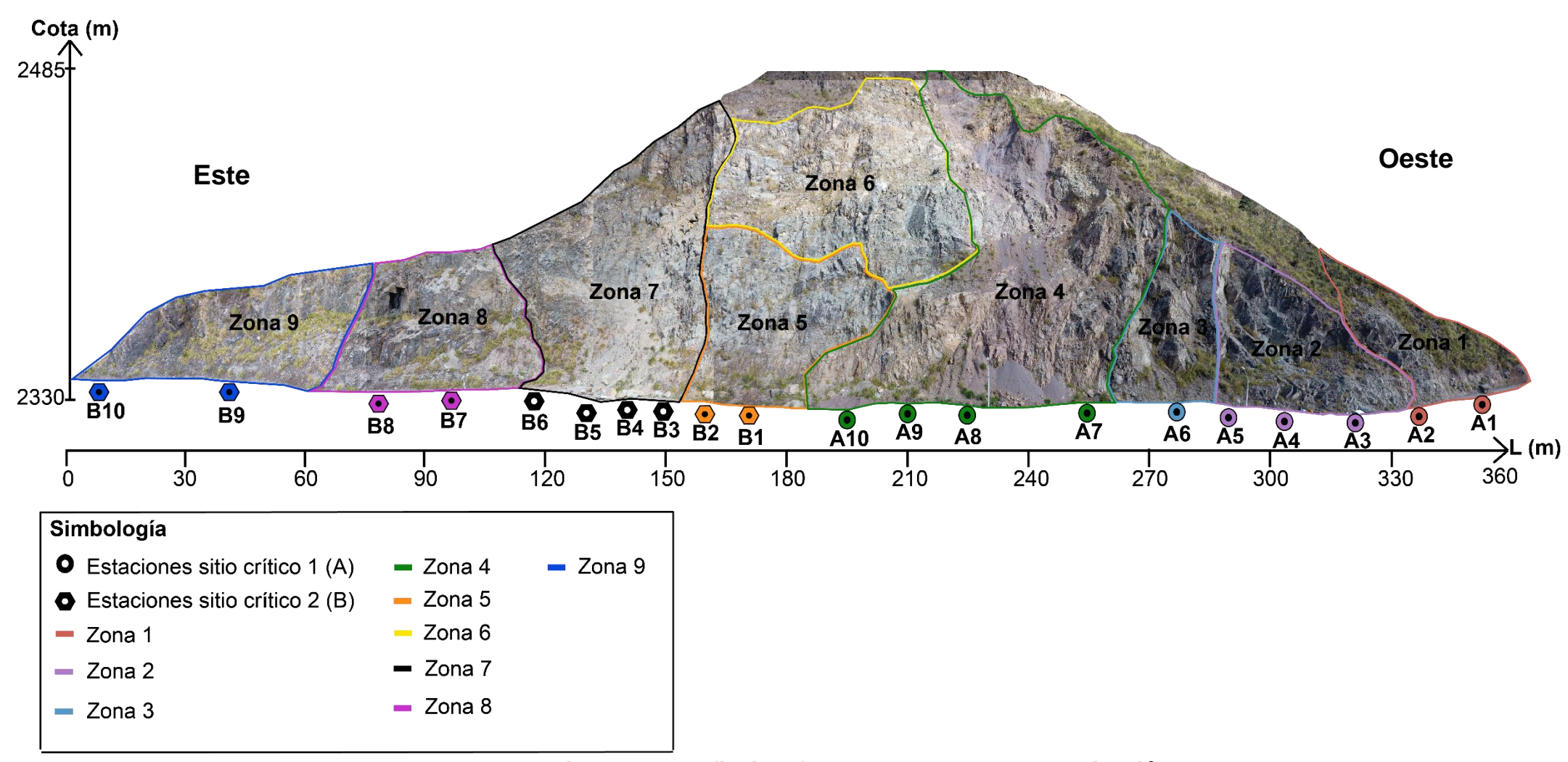


Figura 5.2 Perfil vista frontal de zonas de meteorización

5.2.1 Estaciones Geomecánicas

Los resultados de las estaciones geomecánicas se obtuvieron a partir de una visita de campo al afloramiento y descripción de características detalladas en las Tabla 4.5 y Tabla 4.6. Estos resultados se muestran en la sección 8.4 de anexos, y en las tablas Tabla 5.3Tabla 5.4 se muestran considerando las zonas de meteorización descritas en la Tabla 5.2. A cada una de las zonas le corresponden estaciones geomecánicas, que se ubican en la parte inferior del talud, a excepción de la zona 6 que debido a su ubicación en la parte superior no fue posible realizar estaciones cercanas a ella, por tal motivo, para los cálculos de los métodos empíricos se considera un 25% menos que los resultados de la zona 5, debido a que esta es la zona más cercana y se pudo observar claramente que existe un menor fracturamiento que en la zona 6.

Los datos por cada estación geomecánica llegan a ser hasta 25, por lo cual, se procedió a promediar o considerar la condición más desfavorable para obtener un solo resultado representativo por cada estación, de esta manera se consigue homogenizar todos los datos siendo más fácil de procesar e interpretar.

Tabla 5.3 Estaciones geomecánicas sitio crítico 1

			Sitio crítico 1								
		ZON	NA 1		ZONA 2		ZONA 3		ZO	NA 4	
Parametro	Estación	A1	A2	А3	A4	A5	A6	А7	A8	А9	A10
Qı	u (Mpa)	55	48	42	41	66	47	47	52	75	57
R	QD (%)	58	65	62	66	67	49	48	42	19	26
Sepa	ración (m)	0.20 - 0.60	0.20 - 0.60	0.20 - 0.60	0.20 - 0.60	0.20 - 0.60	0.02-0.06	0.02-0.06	0.02-0.06		0.02-0.06
es	Continuidad (m)	10 - 20	>20	10 - 20	>20	>20	>20	>20	>20	10 - 20	10 - 20
las Jad	Abertura (mm)	1-5	1-5	1-5	1-5	1-5	1-5	>5	>5	1-5	1-5
Estado de las discontinuidades	Rugosidad	Ondulada	Ondulada	Ondulada	Ligeramente rugosa	Ligeramente rugosa	Ondulada	Rugosa	Ondulada	Muy rugosa	Muy rugosa
Esta	Relleno (mm)	Duro <5	Duro <5	Duro <5	Duro <5	Duro <5	Duro <5	Duro <5	Duro <5	Duro <5	Duro <5
ë	Alteración)	Moderada	Moderada	Moderada	Moderada	Moderada	Moderada	Altamente	Altamente	Altamente	Altamente
Preser	ncia de Agua	Húmedo	Húmedo	Húmedo	Húmedo	Húmedo	Húmedo	Húmedo	Húmedo	Húmedo	Húmedo

Tabla 5.4 Estaciones geomecánicas sitio crítico 2

			Sitio crítico 2								
		ZON	NA 5		ZON	IA 7		ZON	IA 8	ZON	NA 9
Parametro	Estacuón	B1	B2	В3	B4	B5	В6	В7	В8	В9	B10
Q	u (Mpa)	36	40	39	32	37	32	28	28	32	31
R	QD (%)	44	52	46	40	46	46	38	44	40	46
Sepa	ración (m)	0.02-0.06	0.02-0.06	0.02-0.06	< 0.06	0.02-0.06	0.02-0.06	0.02-0.06	0.02-0.06	0.02-0.06	0.2-0.6
6	Continuidad (m)	>20	>20	>20	>20	>20	>20	10 - 20	10 - 20	>20	>20
	Abertura (mm)	0.1-1.0	0.1-1.0	0.1-1.0	0.1-1.0	0.1-1.0	>5	1-5	1-5	>5	>5
Estado de las discontinuidad	Rugosidad	Rugosa	Ondulada	Ondulada	Ligeramente rugosa	Ondulada	Ondulada	Rugosa	Rugosa	Rugosa	Rugosa
Esta	Relleno (mm)	Duro <5	Duro <5	Duro <5	Duro <5	Duro <5	Duro <5	Blando <5	Blando <5	Duro <5	Duro <5
ਰੰ	Alteración)	Moderada	Moderada	Altamente	Altamente	Altamente	Altamente	Altamente	Altamente	Ligeramente	Ligeramente
Presei	ncia de Agua	Húmedo	Húmedo	Húmedo	Húmedo	Húmedo	Húmedo	Húmedo	Húmedo	Húmedo	Húmedo

5.2.2 Medidas estructurales

Las medidas de buzamiento y dirección de buzamiento obtenidas en campo de cada estación geomecánica se presentan en la sección 8.4 de anexos. A continuación, se muestran las medidas estructurales representadas en el estereograma, obteniendo como resultado las familias principales y secundarias de cada una de las zonas de meteorización según la densidad de polos.

ZONA 1					
Familia	as	Buzamiento	D. Buzamiento		
Principales	J1	72	52		
Secundarias	J2	55	149		
	J3	48	277		

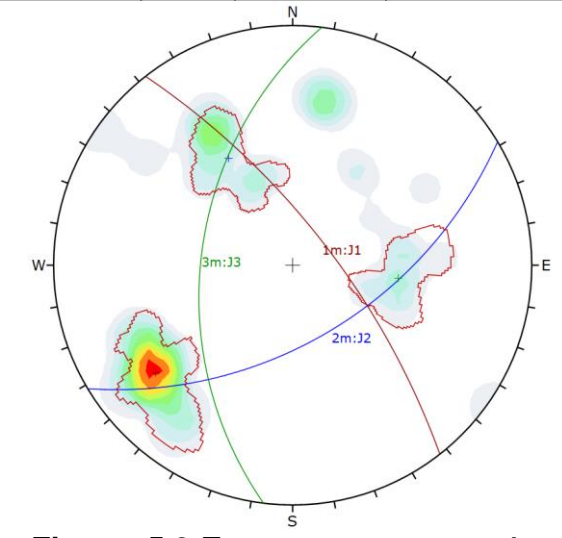


Figura 5.3 Estereograma zona 1

•		_				
ZONA 2						
Familias Buzamiento D. Buzamient						
Principales	J1	62	179			
	J2	66	41			
Secundarias	J3	84	137			

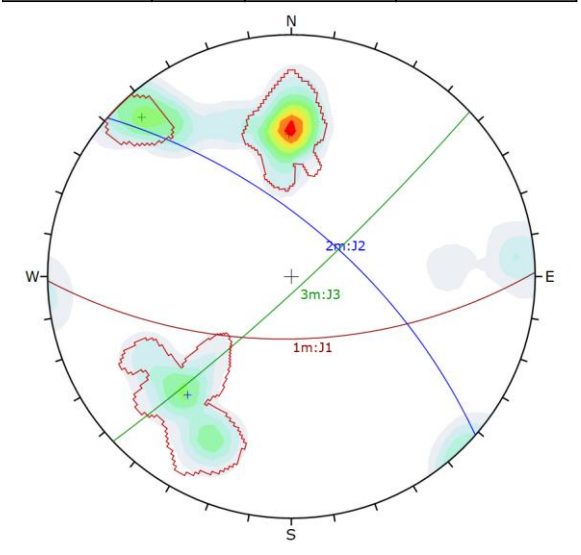


Figura 5.4 Estereograma zona 2.

ZONA 3					
Familias Buzamiento D. Buzamien					
Principales	J1	80	306		
Secundarias	J2	84	65		
	J3	45	157		

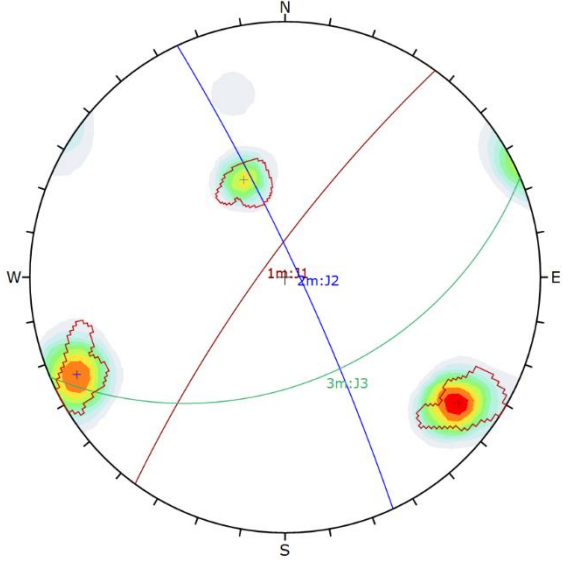


Figura 5.5 Estereograma zona 3

ZONA 4					
Familias Buzamiento D. Buzamiento					
Principales	J1	13	186		
	J2	85	301		
	J3	74	10		
Secundarias	J4	56	121		

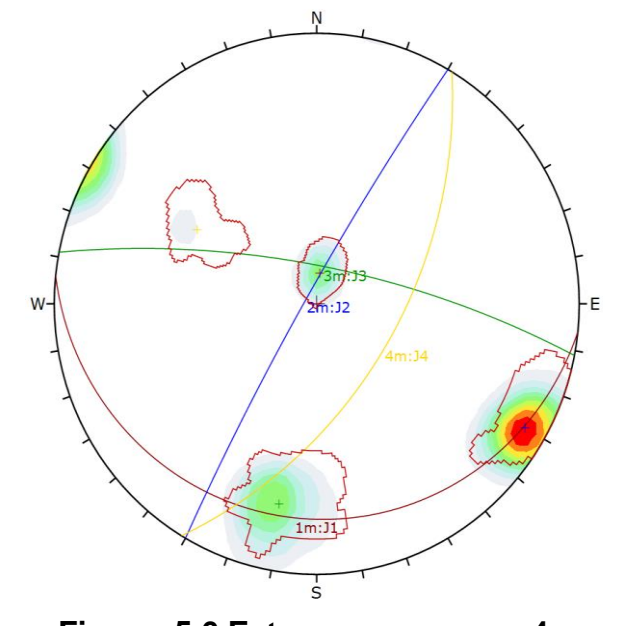
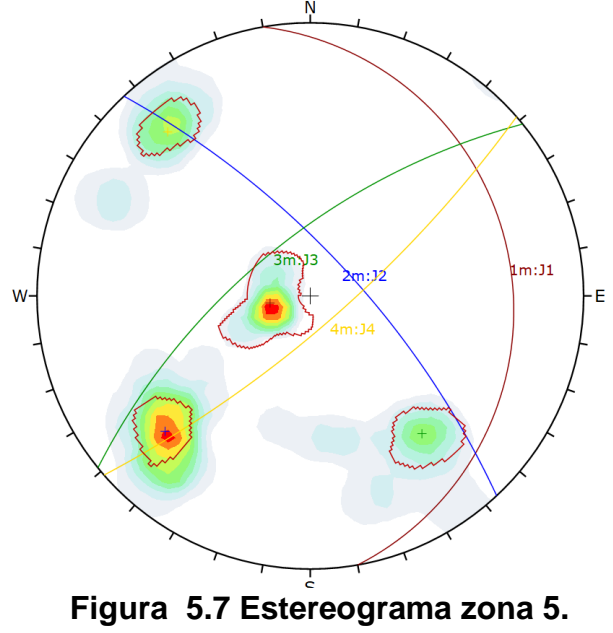


Figura 5.6 Estereograma zona 4.

ZONA 5					
Familias Buzamiento D. Buzamiento					
Principales	J1	17	80		
	J2	72	47		
Secundarias	J3	66	321		
	J4	77	139		



ZONA 7					
Fam	ilias	Buzamiento	D. Buzamiento		
Principales	J1	27	352		
Secundarias	J2	71	121		
	J3	28	236		

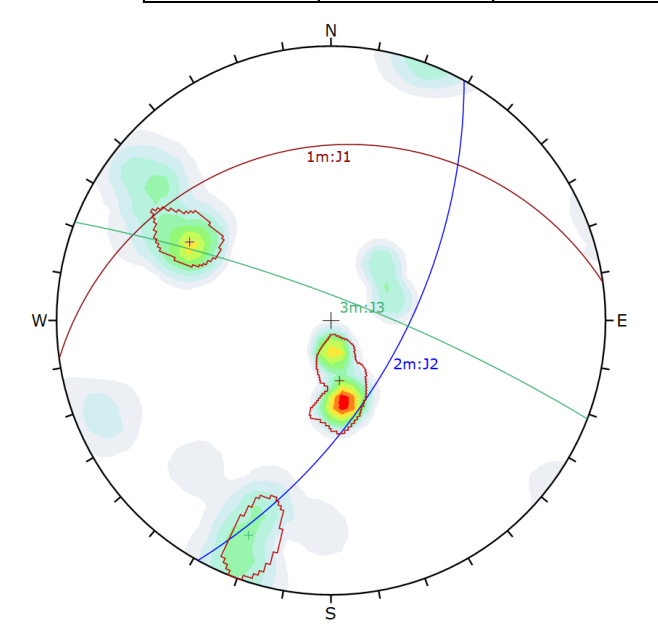


Figura 5.8 Estereograma zona 7.

ZONA 8					
Fam	nilias	Buzamiento	D. Buzamiento		
Principales	J1	31	356		
	J2	80	10		
Secundarias	J3	68	114		

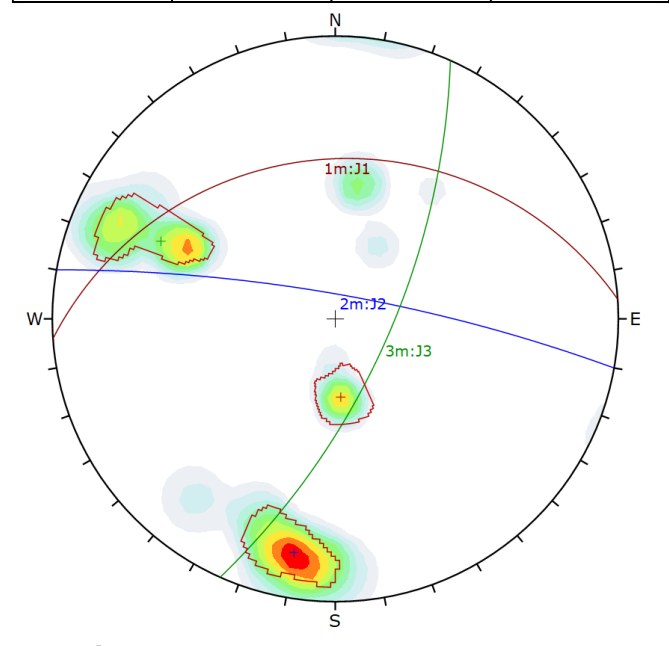


Figura 5.9 Estereograma zona 8.

ZONA 9				
Fam	ilias	Buzamiento	D. Buzamiento	
Principales	J1	81	16	
	J2	62	329	
Secundarias	J3	56	104	

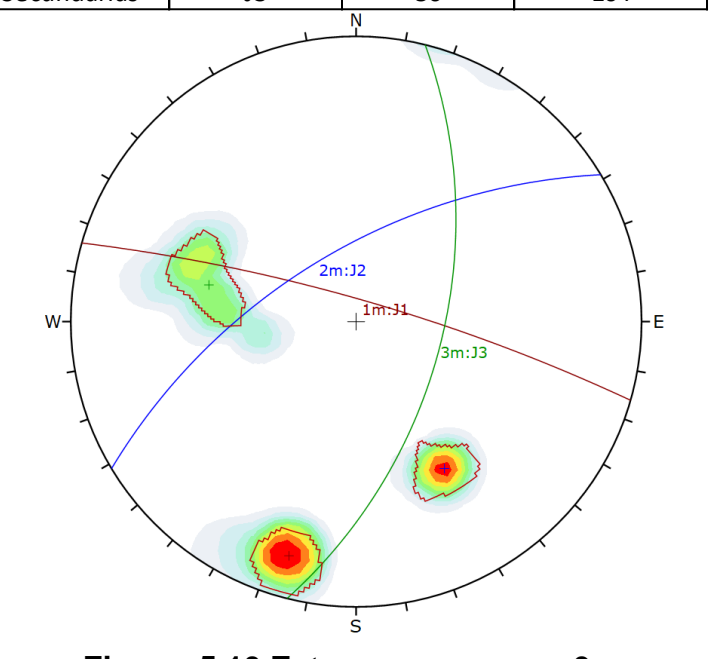


Figura 5.10 Estereograma zona 9.

Para el análisis a una escala completa del sitio critico 1 y 2, se agregaron todas las familias de discontinuidades correspondientes en un estereograma los cuales se presentan a continuación.

Sitio crítico 1					
Fam	nilias	Buzamiento	D. Buzamiento		
Principales	J1	71	55		
	J2	71	186		
Secundarias	J3	70	4		
	J4	62	139		
	J5	19	186		

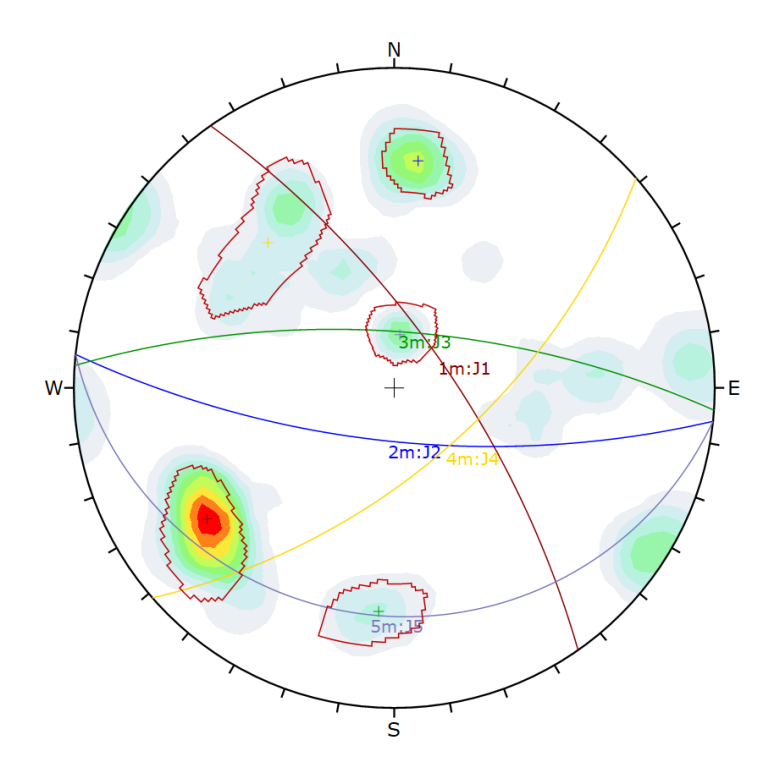


Figura 5.11 Estereograma sitio crítico 1

Sitio crítico 2					
Familias		Buzamiento	D. Buzamiento		
Principales	J1	60	116		
	J2	26	353		
	J3	62	328		
Secundarias	J4	28	232		
	J5	79	16		
	J6	74	42		

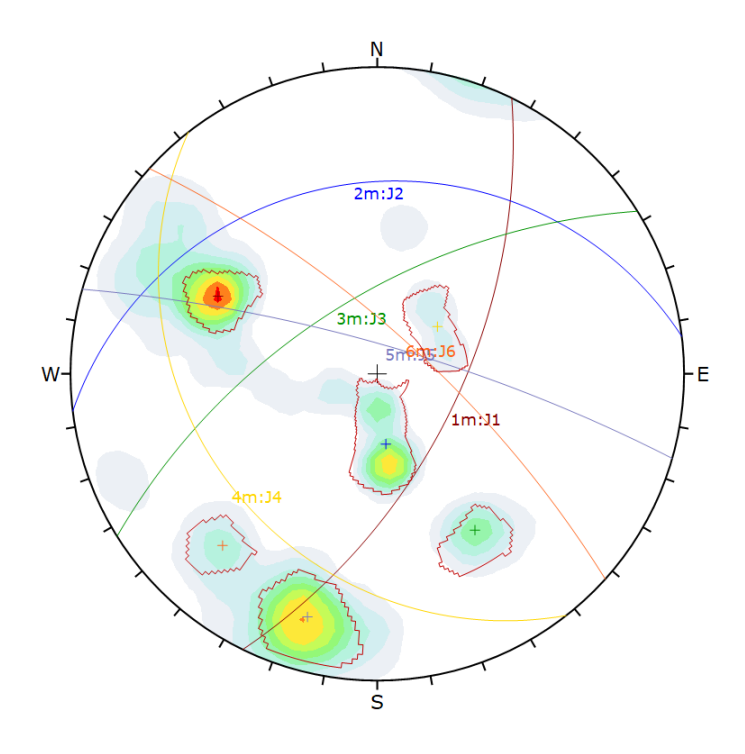


Figura 5.12 Estereograma sitio crítico 2

5.3 Análisis de estabilidad

5.3.1 Análisis cinemático

El análisis cinemático se lo realizo para cada zona de meteorización dando un porcentaje de falla para cada tipo de rotura. El ángulo de fricción básico de referencia en la andesita es de 45° (Figura 5.13), sin embargo, para el análisis se utilizó un ángulo de 40°, debido a que la roca no está completamente sana.

Roca	Ángulo de fricción básico φ _b (grados)
Andesita	45
Arenisca	30 - 50
Basalto	48 – 55
Caliza	35 – 50
Caliza Margosa	30
Cuarcita	40 – 55
Diabasa	40 – 50
Diorita	50 – 55
Dolomía	25 – 35

Figura 5.13 Ángulos de fricción de referencia, Fuente:(Gonzales de Vallejo 2002)

A continuación se muestran las Tabla 5.5, Tabla **5.6**, Tabla **5.7** y Tabla **5.8** presentan los porcentajes de polos totales que caen en la zona critica, mostrando una probabilidad de falla para cada tipo de rotura, en la sección 8.5 más adelante de anexos se muestran los estereogramas con la representación geométrica de cada uno de los tipos de rotura.

Tabla 5.5 Porcentaje de tipos de rotura zona 1 y 2

Zona		Z	ona 1	Zona 2				
Tipo de rotura	Planar	Cuña	Volcamiento o caida de bloques	Planar	Cuña	Volcamiento o caida de bloques		
Porcentaje %	0	4	33	0	4	41		
D.Buz talud		324						
Buz talud	64							

Tabla 5.6 Porcentaje de tipos de rotura zona 3 y 4

Zona		ona 3	Zona 4				
Tipo de rotura	Planar	Cuña	Volcamiento o caida de bloques	Planar	Cuña	Volcamiento o caida de bloques	
Porcentaje %	0	1	30	0	3	6	
D.Buz talud	324						
Buz talud	64						

Tabla 5.7 Porcentaje de tipos de rotura zona 5 y 6

Zona		ona 5	Zona 6				
Tipo de rotura	Planar Cuña		Volcamiento o caida de bloques	Planar	Cuña	Volcamiento o caida de bloques	
Porcentaje %	2	5	12	2	5	12	
D.Buz talud	336						
Buz talud	58						

Tabla 5.8 Porcentaje de tipos de rotura zona 7, 8 y 9

Zona	Zona 7			Zona 8			Zona 9		
Tipo de rotura	Planar	Cuña	Volcamiento o caida de bloques	Planar	Cuña	Volcamiento o caida de bloques	Planar	Cuña	Volcamiento o caida de bloques
Porcentaje %	0	1	16	0	1	28	2	3	24
D.Buz talud	336								
Buz talud		58							

5.3.2 Análisis métodos empíricos

5.3.2.1 Rock Mass Rating 'RMR'

El cálculo del RMR se realizó para cada estación geomecánica, posteriormente a ello se procedió a escoger el menor valor correspondiente a cada zona de meteorización, con el objetivo de analizar el escenario más desfavorable. Los Mapa 5.3 Mapa 5.4 muestran la ubicación de cada una de las estaciones para cada sitio crítico, en los cuales se incluye una fotografía del afloramiento perteneciente, con el valor del RMR obtenido. En las Tabla 5.9 Tabla 5.10, se muestra las valoraciones detalladas para el sitio critico 1 y 2 respectivamente. Mientras que en la Figura 5.14 se presenta un perfil frontal con la clasificación según la calidad del macizo rocoso, la cual varia de mala en la zona central y media en sus extremos.



Mapa 5.3 RMR de las estaciones del sitio crítico 1



Mapa 5.4 RMR de las estaciones del sitio crítico 1

Tabla 5.9 Valoraciones sitio crítico 1

	-				o valoracio							
			Sitio crítico 1									
		ZOI	NA 1	ZONA 2 ZONA				NA 3 ZONA 4				
Parametro	Estación	A1	A2	А3	A4	A5	A6	А7	A8	А9	A10	
Qı	u (Mpa)	6	5	5	5	7	5	5	6	8	6	
	RQD	13	13	13	13	13	6	6	6	3	6	
Sepa	ración (m)	10	10	10	10	10	8	8	8	8	8	
ad	Continuidad (m)	1	0	1	0	0	0	0	0	1	1	
Estado de las discontinuidad es	Abertura (mm)	1	1	1	1	1	1	0	0	1	1	
lo d Itin es	Rugosidad	1	1	1	3	3	1	5	1	6	6	
Estado discontir es	Relleno (mm)	4	4	4	4	4	4	4	4	4	4	
Es dis	Alteración)	3	3	3	3	3	3	1	1	1	1	
Presen	cia de Agua	7	7	7	7	7	7	7	7	7	7	
RMR		46	44	45	46	48	35	36	33	39	40	

Tabla 5.10 Valoraciones sitio crítico 2

	Γ					S	itio crítico	2				
		ZOI	NA 5	ZONA 6		ZON	NA 7		ZON	NA 8	ZON	IA 9
Parametro	Estación	B1	B2		В3	B4	В5	В6	В7	В8	В9	B10
Qu	(Mpa)	4	5		4	4	4	4	3	3	4	4
ı	RQD	6	13		6	6	6	6	6	6	6	6
Separ	ación (m)	8	8		8	5	8	8	8	8	10	10
es	ontinuidad (n	0	0	Menos 25%	0	0	0	0	1	1	1	2
las	Abertura (mm	3	3	zona 5	3	3	3	0	5	3	0	0
Estado de las discontinuidades	Rugosidad	5	1		1	3	1	1	5	5	5	5
Esta	Relleno (mm)	4	4		4	4	4	4	2	2	4	4
<u>a</u>	Alteración)	3	3		1	1	1	1	1	1	5	5
Present	cia de Agua	7	7		7	7	7	7	7	7	7	7
	RMR	40	44	30	34	33	34	31	38	36	42	43

PERFIL VISTA FRONTAL SITIO CRÍTICO 1 Y 2

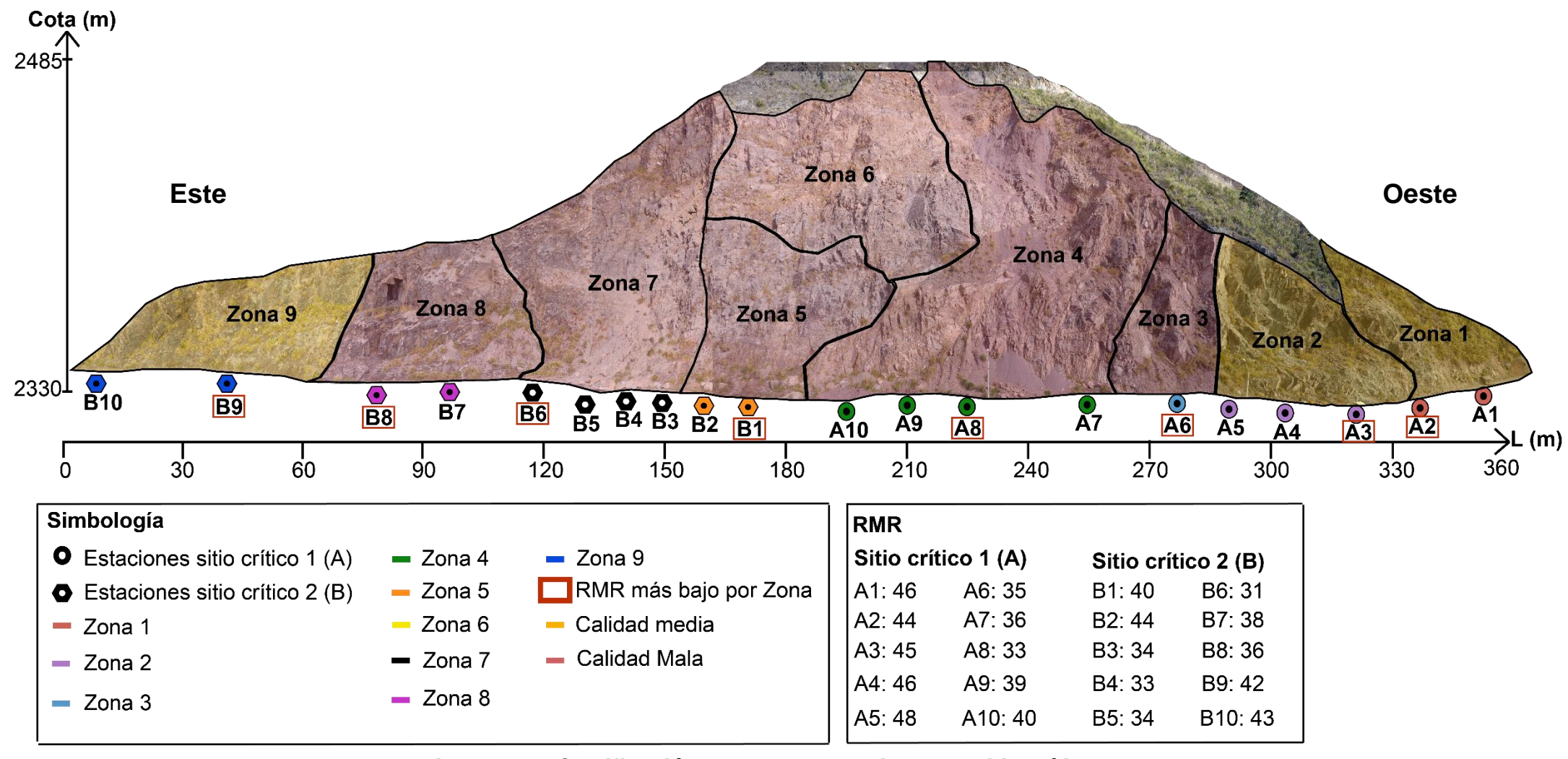


Figura 5.14 Clasificación del RMR por calidad del sitio crítico 1 y 2

5.3.2.2 Slope Mass Rating 'SMR'

El cálculo del SMR se lo realizó con respecto a cada zona de meteorización, tomando en cuenta los datos de las principales familias de discontinuidades y RMR básico de cada zona. Posteriormente a ello se determinó el método de sostenimiento recomendado según la Tabla 3.4 de la sección 3.3.1.2.

En la Tabla 5.11 se muestran los resultados por zonas de meteorización y con rojo se encuentra marcado el SMR más bajo de cada zona. Mientras que en Tabla 5.12 se encuentran las medidas de sostenimiento recomendadas para cada sector.

En la Figura 5.15, se muestra una vista frontal representando con colores rojos y amarillo la clase de cada zona, que en general se presenta con una calidad mala y muy mala.

Tabla 5.11 Resultado de valoración del SMR

	-	-		-	ZONA 1	•		•	•	
Familia	DB	Buzamiento	RMR	Tipo de Fallo	F1	F2	F3	F4	SMR	Clase
J1	52	72	44	Cuña/Planar	0.15	1	-6	0	43	III-Normal
TALUD	324	64				-				

	•	•			ZONA 2				•	
Familia	DB	Buzamiento	RMR	Tipo de Fallo	F1	F2	F3	F4	SMR	Clase
J1	179	62	45	Volcamiento	0.15	1	-25	0	41	III-Normal
J2	41	66	45	Cuña/Planar	0.15	1	-6	0	44	III-Normal
TALUD	324	64								

					ZONA 3					
Familia	DB	Buzamiento	RMR	Tipo de Fallo	F1	F2	F3	F4	SMR	Clase
J1	306	80	35	Cuña/Planar	0.7	1	0	0	35	IV- Mala
TALUD	324	64								

					ZONA 4	•				
Familia	DB	Buzamiento	RMR	Tipo de Fallo	F1	F2	F3	F4	SMR	Clase
J1	186	13	33	Volcamiento	0.15	1	0	0	33	IV- Mala
J2	301	85	33	Cuña/Planar	0.4	1	0	0	33	IV- Mala
J3	10	74	33	Cuña/Planar	0.15	1	-6	0	32	IV- Mala
TALUD	324	64								

	-	•	-		ZONA 5		•		•	•
Familia	DB	Buzamiento	RMR	Tipo de Fallo	F1	F2	F3	F4	SMR	Clase
J1	80	17	40	Volcamiento	0.15	1	0	0	40	IV- Mala
J2	47	72	40	Cuña/Planar	0.15	1	0	0	40	IV- Mala
TALUD	336	58								

ZONA 6	-	•
Manas 25% da zona 5	SMR	Clase
Menos 25% de zona 5	30	IV- Mala

		•		•	ZONA 7					
Familia	DB	Buzamiento	RMR	Tipo de Fallo	F1	F2	F3	F4	SMR	Clase
J1	352	27	31	Cuña/Planar	0.7	0.4	-60	0	14	V-Muy Mala
TALUD	336	58		-						

		-			ZONA 8					
Familia	DB	Buzamiento	RMR	Tipo de Fallo	F1	F2	F3	F4	SMR	Clase
J1	356	31	36	Cuña/Planar	0.4	0.7	-60	0	19	V-Muy Mala
J2	10	80	36	Volcamiento	0.15	1	0	0	36	IV- Mala
TALUD	336	58								

	•	•			ZONA 9				•	
Familia	DB	Buzamiento	RMR	Tipo de Fallo	F1	F2	F3	F4	SMR	Clase
J1	16	81	42	Volcamiento	0.15	1	0	0	42	III-Normal
J2	329	62	42	Cuña/Planar	0.85	1	-6	0	36	IV- Mala
TALUD	336	58								

Tabla 5.12 Recomendaciones de método de sostenimiento

Zonas meteorizadas	SMR	Tipo	Método
Zona 1	43	Hormigón	Hormigón proyectado o dental/ Contrafuertes y,o vigas/ Muros de pie
ZONA 1	+0	Refuerzos	Bulones, Anclajes
Zona 2	41	Hormigón	Hormigón proyectado o dental/ Contrafuertes y,o vigas/ Muros de pie
ZONA Z	41	Refuerzos	Bulones, Anclajes
Zona 3	35	Hormigón	Hormigón proyectado o dental/ Contrafuertes y,o vigas/ Muros de pie
2011a 3	33	Refuerzos	Bulones, Anclajes
Zona 4	32	Hormigón	Hormigón proyectado o dental/ Contrafuertes y,o vigas/ Muros de pie
Z011a 4	32	Refuerzos	Bulones, Anclajes
Zona 5	40	Hormigón	Hormigón proyectado o dental/ Contrafuertes y,o vigas/ Muros de pie
2011a 5	40	Refuerzos	Bulones, Anclajes
Zona 6	30	Hormigón	Hormigón proyectado o dental/ Contrafuertes y,o vigas/ Muros de pie
Zona 6	30	Refuerzos	Bulones, Anclajes
Zona 7	14	Reexcavación	Reexcavación / Muros de contención
Zona 8	19	Reexcavación	Reexcavación / Muros de contención
Zona 9	36	Hormigón	Hormigón proyectado o dental/ Contrafuertes y,o vigas/ Muros de pie
ZUIIA 9	30	Refuerzos	Bulones, Anclajes

PERFIL VISTA FRONTAL SITIO CRÍTICO 1 Y 2

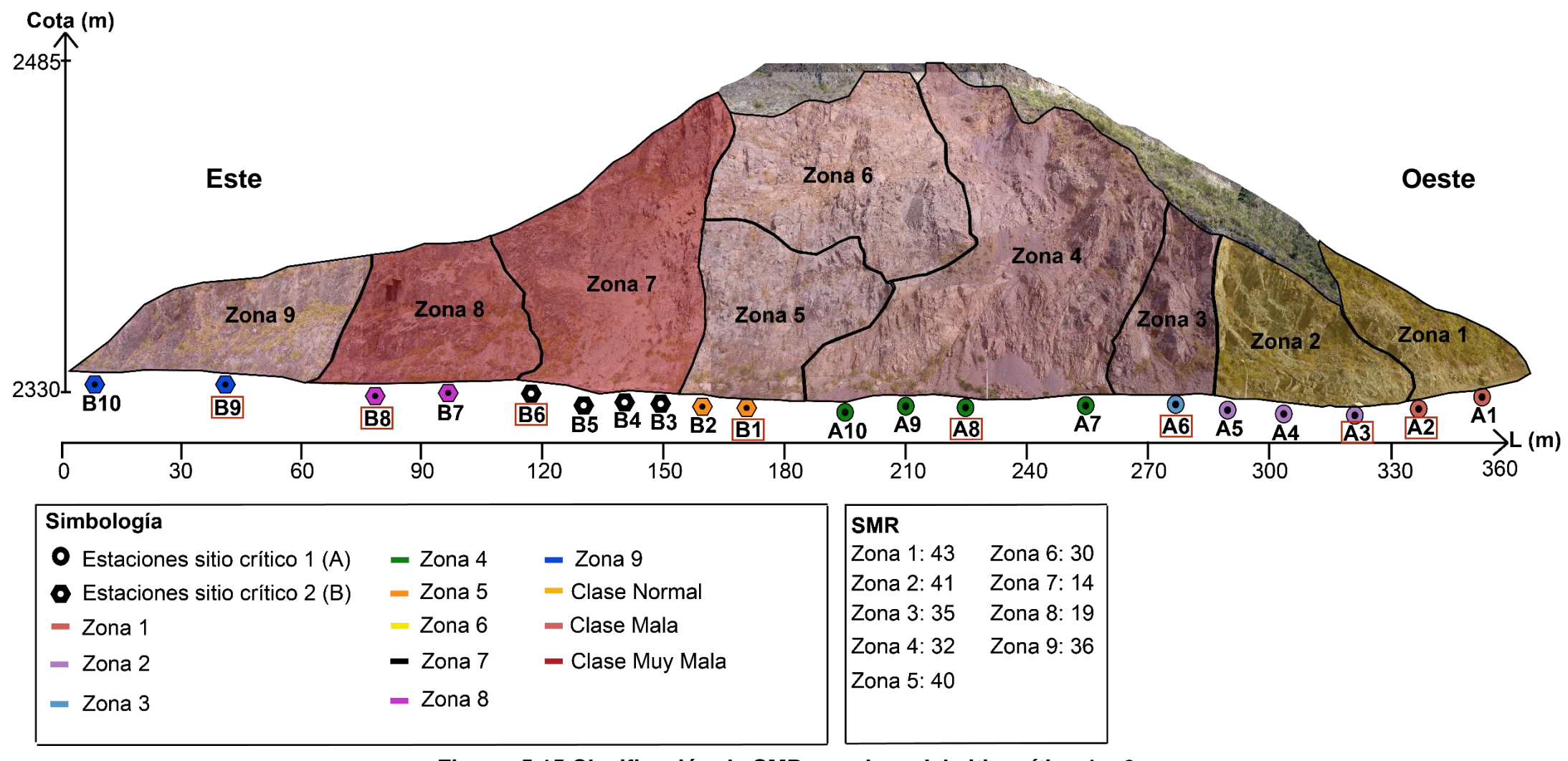


Figura 5.15 Clasificación de SMR por clase del sitio crítico 1 y 2

5.3.2.3 Geological Strength Index 'GSI'

La valoración del GSI se lo realizó considerando el número de familias de discontinuidades y la meteorización de cada zona, lo que nos permite realizar una clasificación basándonos en la Tabla 3.5 de la sección 3.3.1.3 y los resultados de estas valoraciones se muestran en la (Tabla 5.13).

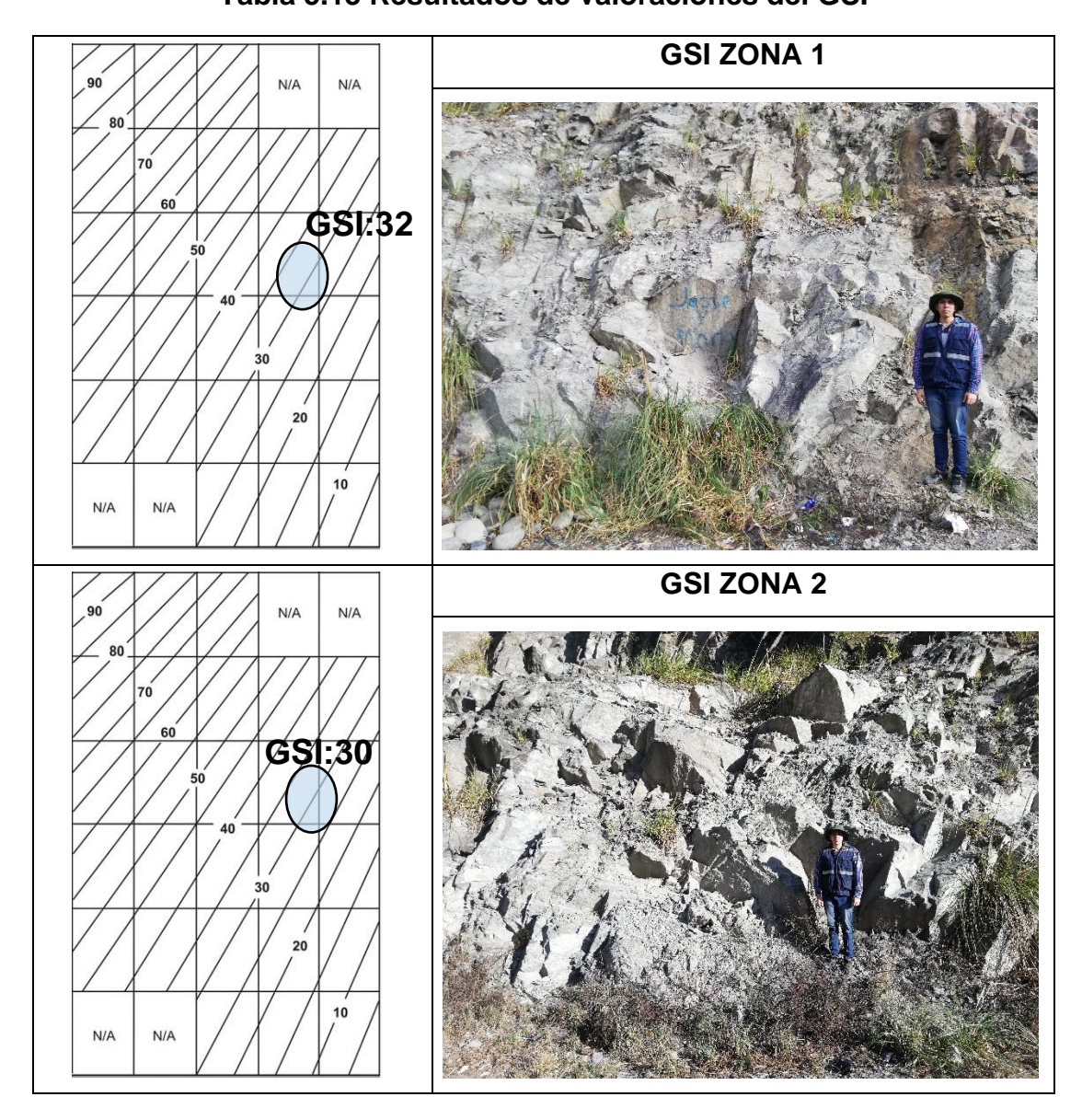
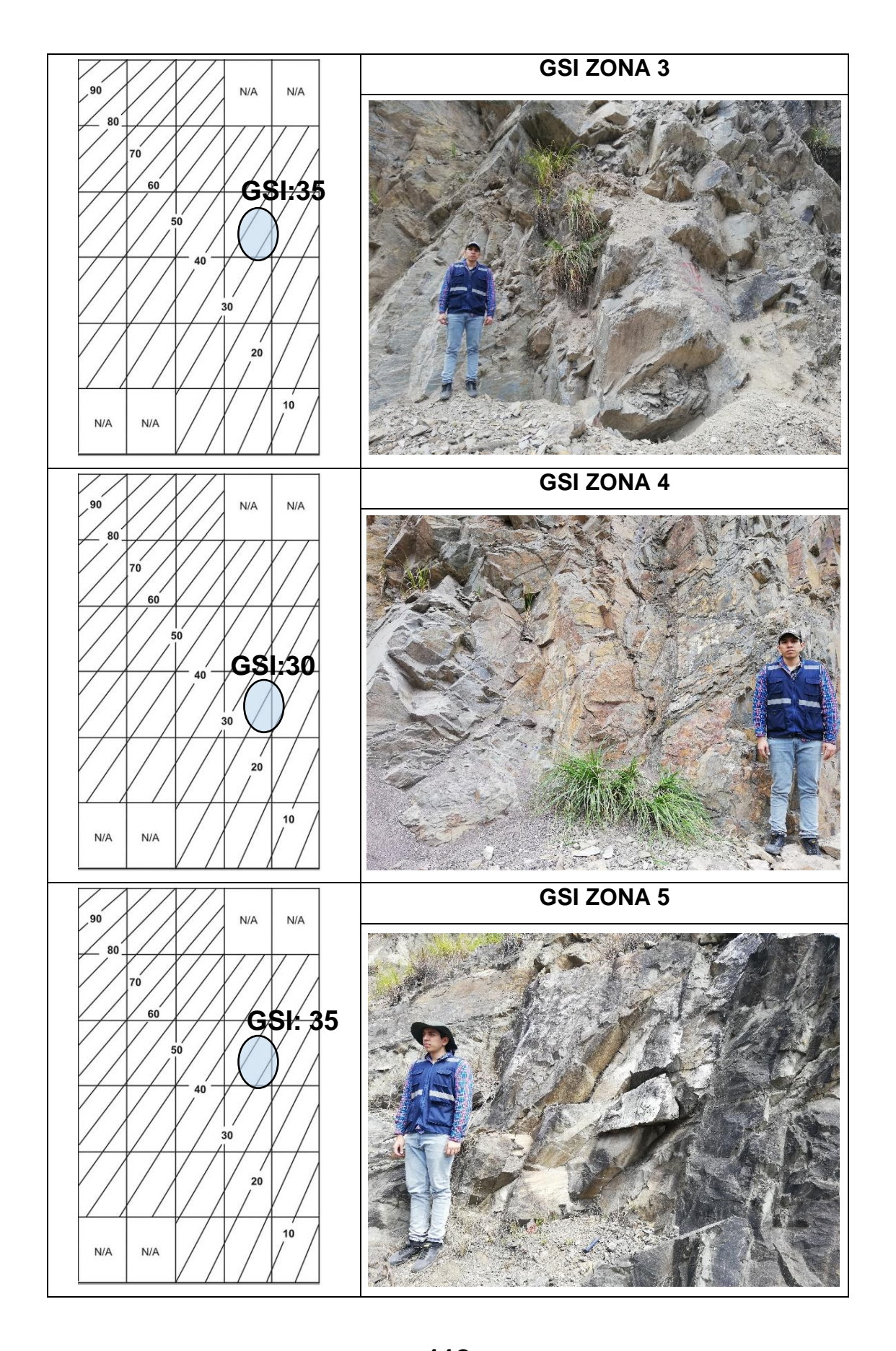
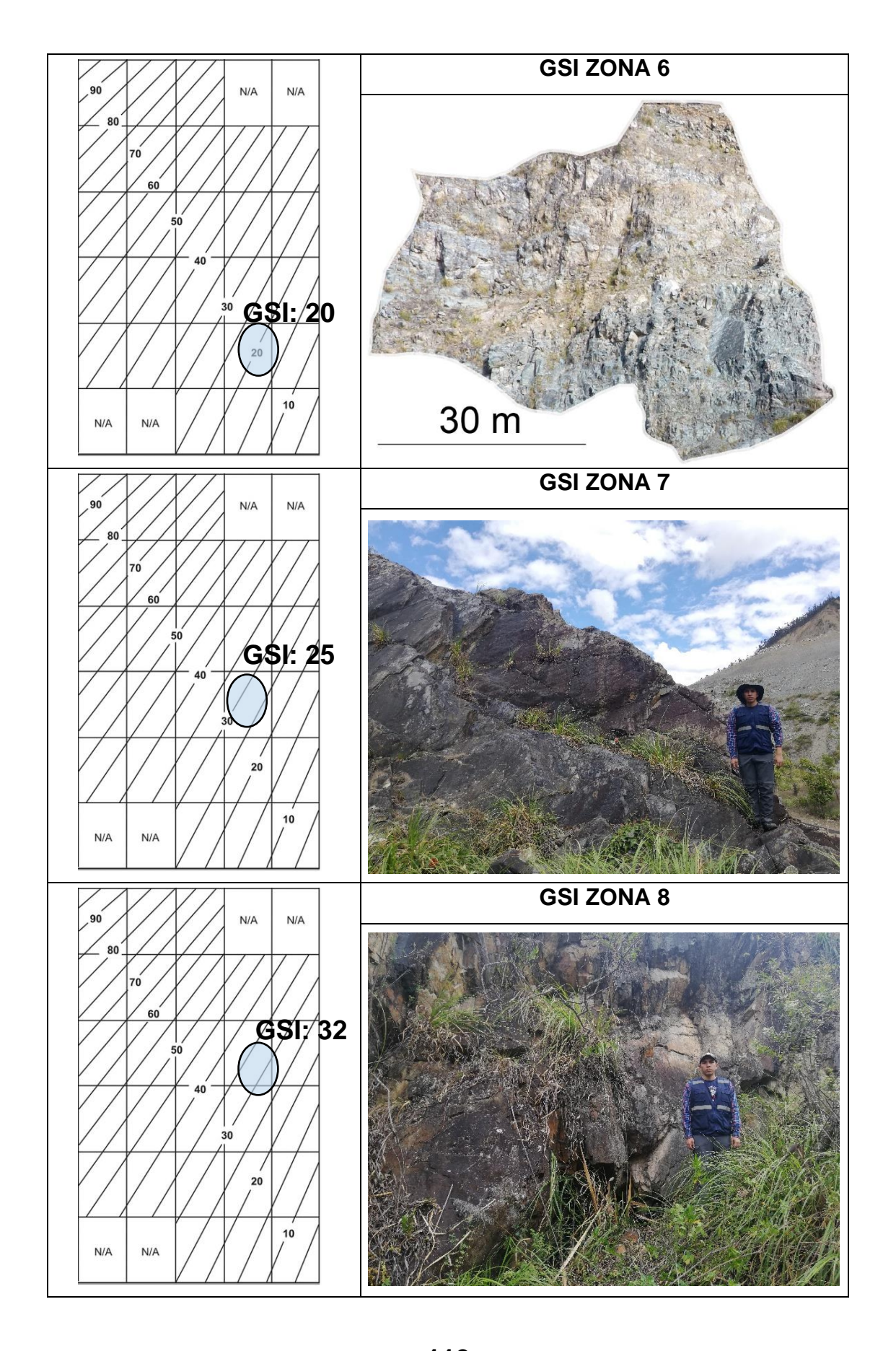
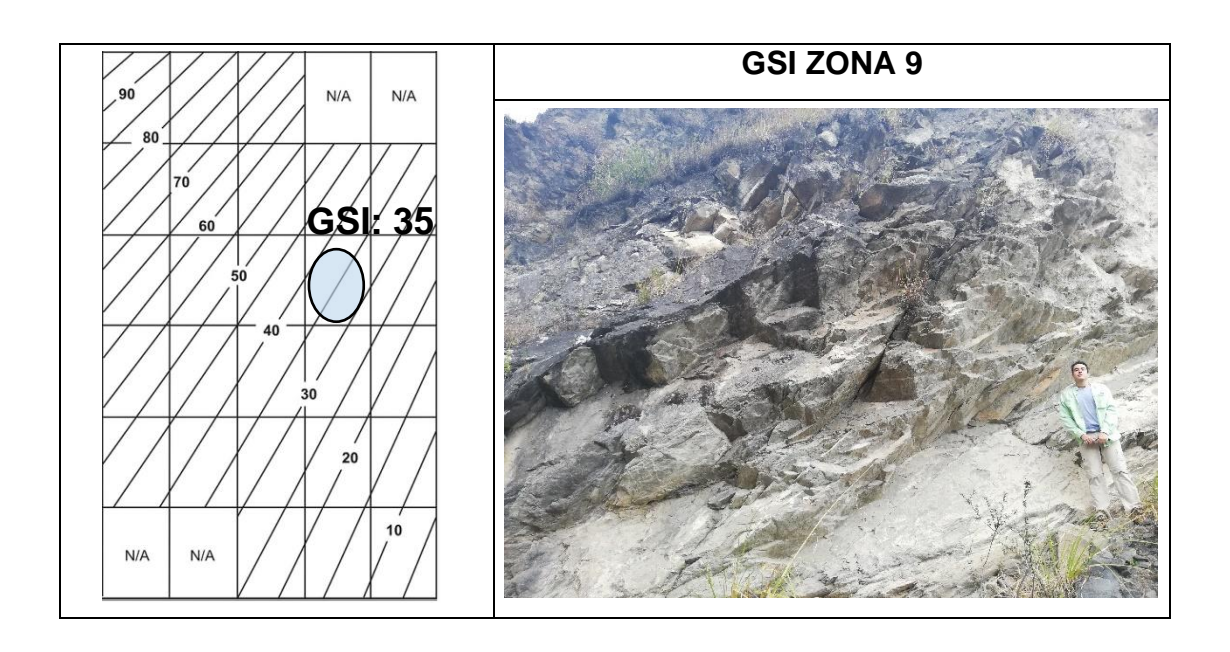


Tabla 5.13 Resultados de valoraciones del GSI







5.4 Análisis de equilibrio límite

Para el análisis de equilibrio límite se trazaron 4 perfiles geológicos – geotécnicos distribuidos a lo largo del talud, tal como se muestra en el Mapa 5.5 .Estos fueron dibujados considerando la topografía disponible, zonas de meteorización, perforaciones y estaciones geomecánicas.

En cada uno de los perfiles se calculó el buzamiento aparente de las familias principales de aquellas zonas que atraviesa el eje del perfil para ubica la frontera del cambio de meteorización. Es importante conocer hasta dónde llega la meteorización en el talud, para ello se consideró la máxima persistencia de las familias principales de discontinuidades. Esto nos permite poder dibujar un posible contacto entre la roca meteorizada y la roca sana, donde varía el valor de la resistencia.

Cabe mencionar que en la zona de la roca meteorizada se utilizan los valores obtenidos con el esclerómetro (Tabla 5.14) para el dato de compresión simple y para la roca sana se utilizan los ensayos de laboratorio de los núcleos de perforación PP-17, PP-18 y PSC-01, dependiendo de su ubicación.

Los dibujos de los 4 perfiles se encuentran en la sección 8.6 de anexos.

Tabla 5.14 Valores de compresión aproximados con el esclerómetro

Zona	UCS Esclerómetro(Kpa)
Zona 1	60000
Zona 2	40000
Zona 3	45000
Zona 4	60000
Zona 5	65000
Zona 6	50000
Zona 7	63000
Zona 8	40000
Zona 9	50000

MAPA DE UBICACIÓN DE PERFILES 739440 739320 739360 739400 739520 739600 739640 739680 9684600 Simbología Perfiles 9684570 9684570 Perforaciones Topografía Zona 1 Zona 2 Zona 3 9684510 Zona 8 Zona 4 Zona 5 Zona 5 9684480 Zona 6 Zona 7 Zona 7 Zona 4 9684450 Zona 8 Zona 6 Zona 9 Zona 3 9684420 D В 9684390 739400 739480 739520 739560 739600 739640 739680 739320 739360 739440

Mapa 5.5 Mapa de ubicación de perfiles 122

5.4.1 Perfil A' - A

El perfil A cubre las zonas de meteorización 2 y 3 con una roca sana proyectada de las perforaciones PP17 y PP18 (Figura 8.4) con una longitud aproximada de 180 m y las curvas de nivel que van desde 2312 – 2392 m. Las pendientes en la parte superior se encuentran ligeramente inclinadas con un ángulo de 29°. Mientras que en la parte inferior se encuentran pendientes más fuertes con ángulos de hasta 70°, pero en general las pendientes más inclinadas se encuentran en la zona 2.

5.4.1 Perfil B' - B

En el perfil B se tienen zonas 4,5 y 6. La proyección de la roca sana corresponde a la perforación PP18. Las pendientes más empinadas se ubican en la zona 5 con 70° y las más suaves con 60° en la zona 4. Las curvas de nivel van desde los 2322 – 2451 m, cubriendo las estaciones A7 - A10, B1 y B2.

5.4.1 Perfil C' - C

En el perfil C se ubican las zonas 6 y 7, con una proyección de la perforación PSC-01 en la roca sana. Las pendientes van desde los 80°- 48°, ubicándose las más empinadas en la parte inferior de la zona 7, y las más suaves en la zona 6. Las curvas de nivel se encuentran desde los 2320 – 2450 m.

5.4.1 Perfil D' - D

En el perfil D se encuentran las zonas 7, 8 y 9, donde la parte inferior, de la roca sana, se ha proyectado el material de la perforación PSC-01. Este perfil es el que presenta las pendientes más suaves, las cuales van desde los 17° – 50° y con curvas de nivel que van desde los 2316 m hasta 2424 m.

5.4.2 Factor de seguridad

El factor de seguridad fue calculado para condiciones secas y sísmicas, no se consideró para condiciones saturadas debido a que no se tienen datos de la superficie de saturación, ni de la infiltración del sector.

Los datos de entrada necesarios para el software en condiciones secas y sísmicas se presentan en las tablasTabla **5.15** yTabla **5.16**, solo que para las sísmicas se considera una aceleración sísmica máxima de 0.25, con un periodo de retorno de 475 años según la norma ecuatoriana de construcción 2011.

La Tabla 5.17 presenta un resumen de los factores de seguridad calculados para las condiciones secas y sísmicas de cada uno de los perfiles y las gráficas de estos se presentan en la sección 8.7 de anexo.

Tabla 5.15 Datos de entrada por zonas de meteorización

Perfil	Zona	UCS Martillo de Schmidt (Kpa)	GSI	mi	D	Peso especifico seco (kN/m3)	Altura de la pendiente
Perfil A'-A	Zona 2	40000	30.00	20.00	1.00	26.52	46.00
Periii A -A	Zona 3	45000	35.00	20.00	1.00	26.52	25.00
	Zona 4	60000	30.00	20.00	1.00	26.40	33.00
Perfil B'-B	Zona 5	65000	35.00	20.00	1.00	26.40	14.00
	Zona 6	50000	20.00	20.00	1.00	26.40	18.00
Perfil C'-C	Zona 6	50000	20.00	20.00	1.00	26.40	39.00
Periii C -C	Zona 7	63000	25.00	20.00	1.00	26.26	25.87
	Zona 7	63000	25.00	20.00	1.00	26.26	9.47
Perfil D'-D	Zona 8	40000	32.00	20.00	1.00	26.00	22.20
	Zona 9	50000	35.00	20.00	1.00	26.00	22.00

Tabla 5.16 Datos de entrada por perforaciones

Perforación	UCS Seco(KPa)	GSI	mi	D	Peso especifico seco (kN/m3)
PP-17	147000	30.00	20.00	1.00	26.52
PP-18	52290	35.00	20.00	1.00	26.52
PSC-01	98110	30.00	20.00	1.00	26.40

Tabla 5.17 Factor de seguridad condiciones secas y sísmicas

Perfil	FS Condicione secas	FS Condiciones sísmicas
Perfil A'-A	1.33	0.89
Perfil B'-B	1.20	0.80
Perfil C'-C	1.45	0.96
Perfil D'-D	1.41	0.87

6. ANALISIS DE RESULTADOS

6.1 Análisis Cinemático

Los resultados de los análisis cinemáticos de las tablas Tabla 5.6 Tabla 5.7 Tabla 5.8, muestran que todas las estaciones tienen un mayor porcentaje de probabilidad que ocurra un deslizamiento de caída de rocas, siendo la zona 2 la que presenta un mayor porcentaje con un 42%, y la menor la zona 4 con un 6%.

La zona 2 presenta un el mayor porcentaje de deslizamiento de caída de roca, debido a que las familias de discontinuidades se encuentran muy bien marcadas y cumplen con las condiciones geométricas para que ocurra, a diferencia de las zonas 4, 5, 6 y 7 con menor porcentaje, que si bien presentan familias de discontinuidades principales, se puede observar que existen ciertas agrupaciones aisladas de polos, por lo cual es posible que en estas zonas existan más de 4 familias de discontinuidades siendo el deslizamiento más probable el rotacional.

El análisis cinemático por zonas de meteorización representa una escala menor a la del sitio critico completo. Por lo cual si se considera en su totalidad, podemos notar que según los estereogramas de cada sitio critico (Figura 5.11 Figura 5.12), existen más de 4 familias de discontinuidades, debido a esto no es posible analizar a todo el sector por un tipo de rotura planar, cuña o caída de bloques, sino por rotura rotacional lo que nos indica que debemos utilizar un método de equilibrio límite para taludes de roca.

6.2 Rock Mass Rating 'RMR'

Los resultados del RMR del área de estudio se muestran en un rango de (33-48). En general la calidad del macizo rocoso es mala, siendo toda la parte central donde se ubican las zonas 3, 4, 5, 6, 7 y 8 las que presentan una menor calidad. Esto se pudo verificar en campo, donde bloques de rocas deslizados de diferentes tamaños se encuentran en la parte inferior de estas zonas. Mientras que para las zonas 1, 2 y 9 la calidad de la roca es media.

La zona 4 tiene la valoración más baja de RMR (33), debido a su alta meteorización y gran fracturamiento. Además, se puede notar que gran parte de esta zona se encuentra descompuesta en suelo por lo que coincide que esta sea la más baja. A

simple vista se puede notar que la zona ocupa un porcentaje de área importante y combinado con la mala calidad del talud es recomendable que esta sea una de las primeras en implementar el sostenimiento. Por otra parte, las zonas 1, 2 y 3 con un RMR de 44, 45 y 42 respectivamente, son las de calidad más alta y se recomienda que sean las ultimas en implementar el sostenimiento.

6.3 Slope Mass Rating 'SMR'

La valoración de ajuste del SMR, nos da como resultado tres tipos de clases las cuales son: normal, mala y muy mala. Los resultados se encuentran entre (43 y 14).

El perfil de la Figura 5.15, nos muestra que las zonas de calidad más baja son la 7 y 8, con una clase muy mala. Comparando estos resultados con los obtenidos en el RMR, nos damos cuenta de que las zonas 1 y 2 se mantienen con una calidad normal, mientras que la zona 9 ya se ubica con una calidad mala.

Los métodos de sostenimiento recomendados para las zonas 1 a 6 y 9 son de hormigón proyectado, bulones y anclajes. Dependerá de los resultados de los métodos de equilibrio límite para saber tipo de sostenimiento es el más adecuado. Para las zonas 7 y 8 se recomienda reexcavación o muros de contención, este último no es muy adecuado debido a que el talud se encuentra muy cercano a la vía y para aplicar este método es necesario tener un espacio adecuado entre la vía y el talud, mientras que el método de reexcavación es más factible tomando en cuenta el tamaño de bloques que se van a desprender y su alcance.

6.4 Factor de seguridad

Los factores de seguridad (F.S.), en general, se encuentran entre (1.45-1.20) en condiciones secas y para condiciones sísmicas (0.80-0.96), lo que nos indica que en condiciones normales el talud será estable. Sin embargo, este valor está muy cercano a 1 por lo que la variación de factores de precipitación, carga, meteorización, entre otros, los cuales no fueron considerados en nuestro proyecto, podrían provocar deslizamientos. Mientras que, para condiciones sísmicas el F.S. es menor a 1, en todos los perfiles trazados produciéndose una falla con una aceleración sísmica de 0.25g.

Realizando una comparación de los F.S. para cada perfil podemos notar que el perfil B' - B, es el que presenta los valores más bajos, lo cual se correlaciona con factores como la topografía, por tener las pendientes más altas y6 la alteración, por presentar zonas muy alteradas como lo son la zona 4 y 6.

Los factores de seguridad en condiciones secas se encuentran mayores pero muy cercanos a 1 con más o menos 0.4 décimas de diferencia. Lo que resulta riesgoso para una carretera principal muy importante con un gran número de vehículos que transitan diariamente. Por tal motivo es recomendable aplicar un sostenimiento en todo el talud.

6.5 Recomendaciones de sostenimiento

Según los resultados de los métodos empíricos, se recomienda utilizar anclajes con hormigón proyectado para las zonas de calidad mala y media, mientras que para las de calidad muy mala recomienda una reexcavación o muros de contención.

A pesar de que estas son las recomendaciones generales de sostenimiento, no son los únicos métodos que se pueden utilizar, existen opciones más económicas y con un proceso de instalación más rápido que se pueden aplicar en nuestro talud.

Para recomendar una alternativa de sostenimiento, tomamos en cuenta el resultado del análisis cinemático, que nos indica que existe un mayor porcentaje de caídas de rocas, por lo cual se debe de utilizar un sostenimiento que nos ayude a evitar o mitigar este tipo de rotura. Además, debemos de considerar los resultados de calidad de la roca (SMR), que nos indica que las zonas 7 y 8 son aquellas que presentan un mayor grado de alteración, por lo que es más probable que existan caídas de rocas más pequeñas en estas zonas debido al corto espaciamiento entre las discontinuidades. Por otra parte, el FS nos da como conclusión que en aquellas zonas donde este es más bajo se debe de utilizar materiales más robustos.

Por tales motivos, mencionados en el párrafo anterior, se realizó y una comparación de ventajas y desventajas de los tipos de sostenimiento, Tabla 6.1 yTabla 6.2, lo que nos ayudó a seleccionar las recomendaciones finales.

Para las zonas donde se recomienda utilizar anclajes con hormigón proyectado, que es el macizo rocoso con una calidad mala y media, se escogió como alternativa usar

mallas de alta resistencia con anclajes, ya que, este tipo de sostenimiento funciona muy bien para evitar el desprendimiento de grandes rocas y nos ayuda a aumentar el FS. Para las zonas que se recomienda aplicar reexcavación o muros de contención, se escoge como alternativa utilizar cortinas de guiado, este sostenimiento es muy útil para evitar la caída de rocas en la vía, funcionando muy bien para aquellas zonas que presentan una calidad muy mala. Ambas alternativas nos ayudan a aumentar el factor de seguridad y a su vez son muy utilizadas en taludes que presentan caídas de bloques, siendo una opción mucho más económica y rápida de aplicar. La distribución del sostenimiento a lo largo del talud se muestra en la Figura 6.1 desde una vista frontal.

Tabla 6.1 Ventajas y desventajas de métodos de sostenimiento en calidad de macizo media/mala

Tipo de sostenimiento	Ventajas	Desventajas
	Aumenta el factor de seguridad	Estudio a detalle de deformaciones y materiales para su
	Admenta er factor de segundad	diseño
Anclajes con hormigón proyectado	Talud estable para deslizamientos de grandes	Alto costo de instalación y materiales
	bloques de roca	Alto costo de Histalación y materiales
	Largo periodo de vida útil	
	Rápida instalación	La roca queda descubierta y puede seguir meteorizándose
	Económico	Puede infiltrarse agua en las fracturas y generar un
Anclajes con malla de alta resistencia	Economico	deslizamiento
	Aumenta el factor de seguridad	
	Evita deslizamientos de grandes bloques de roc	

Tabla 6.2 Ventajas y desventajas de métodos de sostenimiento en calidad de macizo muy mala

Tipo de sostenimieinto	Ventajas	Desventajas
	Eliminar material suelto	Caidas de rocas podrian provocar daños
Reexcavación	Estabilizar el talud	Alto riesgo de acidentes
	Disminuir cargas y roca meteorizada	Poco aplicable para taludes de roca y grandes pendientes
	Evitar la invación de rocas en la vía	Espacio en la vía para su instalación
Muros de contencion	Soporte del talud	Diseño complejo a medida
	Rapida instalación	Alto costo
	Barrera autolimpiante	Poca confiabilidad para deslizamiento de grandes masas
Mallas de guiade	Malla de alambre de acero de alta resistencia	Ligero aumento del factor de seguridad
Mallas de guiado	Rapida instalación	
	Economica	

PERFIL VISTA FRONTAL SITIO CRÍTICO 1 Y 2

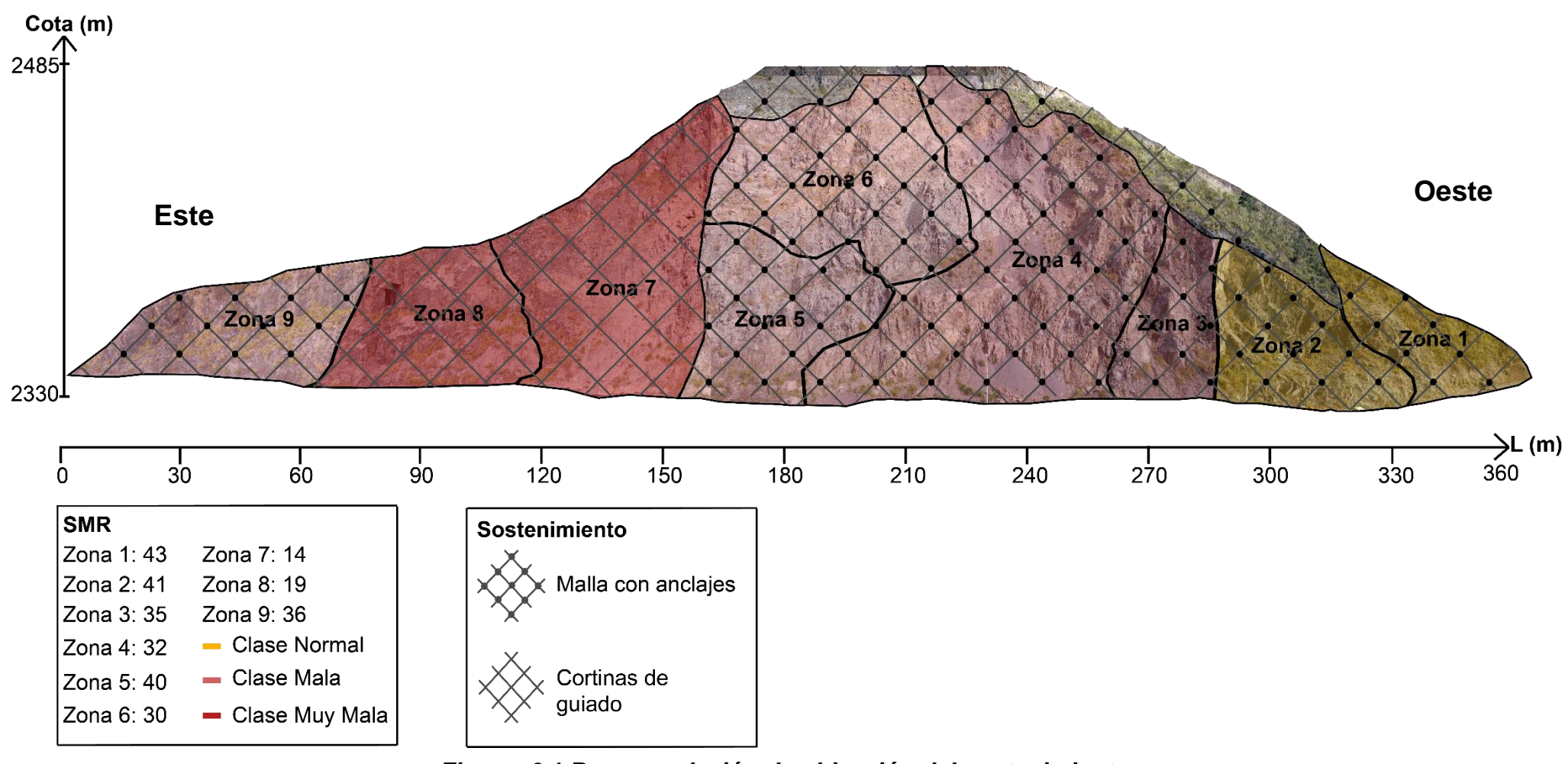


Figura 6.1 Recomendación de ubicación del sostenimiento

7. CONCLUSIONES Y RECOMENDACIONES

7.1 Conclusiones

- 1. El talud de la vía Guangarcucho Paute Gualaceo, presenta condiciones de estabilidad en un rango de (33-48), para el sitio crítico 1 y (31-44) para el sitio critico 2, en la clasificación del RMR, por lo cual se presenta una calidad de macizo rocoso que varía de mala a media, donde las zonas 1,2 y 9 son las que presentan una mejor calidad.
- 2. Realizada la clasificación empírica del SMR, nos da resultados un poco diferente respecto al RMR. Los valores están en un rango de (43-14), mostrándose las zonas 7 y 8 con una calidad muy mala y la zona 9 de una calidad media, en la clasificación del RMR, ahora pasa a tener una calidad mala.
- 3. Los factores de seguridad en condiciones sísmicas varían de (0.8-0.96), y en condiciones secas (1.20-1.45), lo que nos indica que existen condiciones inestables, dado un evento sísmico, y estables en estadios normales o secos, aunque este último presenta un factor de seguridad mayor a 1, no es el apropiado para esta vía de gran importancia.
- **4.** El tipo de sostenimiento que se recomienda utilizar son mallas con anclajes, para las zonas de calidad mala y media, y cortinas de guiado, para los sectores con una calidad muy mala. Ambos sostenimientos nos ayudan a evitar la caída de rocas en la vía y aumentar el factor de seguridad.

7.2 Recomendaciones

- 1. Se recomienda realizar ensayos de laboratorio de las muestras obtenidas directamente desde las zonas meteorizadas del afloramiento para poder obtener datos más exactos de la resistencia a la compresión simple de la roca.
- 2. Tomar muestras y medidas en la parte superior, específicamente en la zona 6 para tener una mayor confiabilidad de los resultados de los métodos empíricos de dicho sector.
- **3.** Realizar un modelo hidrogeológico que nos permita conocer la superficie de saturación respecto a las máximas precipitaciones que ocurren en la zona y la resistencia que los materiales tienen en estas condiciones.
- **4.** Realizar ensayos geofísicos o perforaciones en la parte superior del talud, para poder conocer exactamente hasta dónde llega la roca meteorizada y la persistencia de las discontinuidades.
- 5. Se recomienda realizar estudios complementarios de modelación de deformación del macizo rocoso, antes de aplicar las medidas de sostenimiento para utilizar los materiales más adecuados.

8. ANEXOS

8.1 Entrevista Desing Thinking

Desing Thinking

Etapa 1: Empatiza

Metodología: Análisis dimensional

Objetivo: Comprender cuales son las necesidades del usuario dimensionándolo y conociendo cual es el problema o necesidad al que uno quiere dar una solución.

Nombre del entrevistado: Ing, Alejandra Vera.

¿Cuál es el problema?

El deslizamiento cerca de la vía Paute – Gualaceo que provocan daños y pérdidas económicas a diferentes sectores productivos especialmente en épocas de invierno.

¿Quiénes están involucrados?

Están involucrados diferentes sectores productivos, así como los municipios quienes están encargados de la seguridad de la vía.

¿Para qué resolverlo?

Para evitar futuros accidentes en la vía y reducir el número de deslizamientos que pueden generar el cierre de la vía, pérdidas materiales y humanas.

¿Qué grado de relevancia tiene el problema?

Tiene una relevancia a nivel nacional por el Ministerio de transporte y obras públicas. Además, es muy importante para los poblados cercanos evitando el cierre de la vía y daños.

¿Cuál es la causa?

Existen causas determinantes como la fracturación del macizo, alteración de la roca, litología, entre otros. Así como, causas detonantes como las lluvias o sismos.

¿En qué lugar acontece el problema?

En un tramo de la vía Guangarcucho – Paute – Gualaceo, cerca del puente de La Josefina.

8.2 Columnas estratigráficas

8.2.1 PP-17

	Columna estratigráfica								
	Ubicac		· · · · · · · · · · · · · · · · · · ·				alidad		
	X: 739319 Y: 968454	45	PP-17	PP-17 Maguazo Carretera Gualaceo-Gu			era Paute - Guangarcucho		
	Litología: Relleno de carbo	onato	Andesita Recuperació 1 100 - 81 2 80 - 61 3 60 - 41	n %: 4 40 - 21 5 20 - 0	Meteorización: 1 Roca fresca 4 Altament 2 Ligeramente meteor. 5 Completa 3 Medianamente meteor.	RQD %: 1 100 - 91 2 90 - 76 3 75 - 51	4 50 - 3 5 25 - 0	0	
	Profundidad (m)	Fotografía	Litología		Descripció	n	Recuperación (m)	Meteorización	RQD (%)
	1 2	The second second		color porfídi de co alargad holocr carbor manga	ita en fragmentos gris oscuro ca-fanerítica, pres olor blancos de dos y rectangulare istalina. Presenta natos, caras met ineso y óxidos.	o, textura senta cristales plagioclasas s, la matriz es rellenos de seorizadas de			5
Lamina	3			granos milimé	or gris oscuro con de plagioclas stricas de rellenos c dita de color gris osc	sas, venillas de carbonatos.	5	2	
delgada	4			rectang matriz rellend manch	adas de magnesio.	clasas en una verde oscuro os y caras	A		4
	5	がある。		de col	ta muy fragmentador gris oscuro co elasas, matriz de s de carbonatos.	n cristales de	2		5
	6			con cr grano	ita compacta de co istales de plagiocla fino y rellenos de co	asas, matriz de arbonatos.	1		4

Figura 8.1 Columna estratigráfica PP-17

8.2.2 PP-18

		.,	Columna Estratigráfica ón Codigo de perforación Formación Locali							
	X: 739393 Y: 9684512		Codigo de perfo	ración	Formació	n		alidad		
			PP-18	P-18 Maguazo				era Paute - Guangarcucho		
	Litología Rellen	no de carbona	o Grava Arcillas		Recuperación %: 1 100 - 81 4 40 - 21 2 80 - 61 5 20 - 0 3 60 - 41			teor te meteor.	RQD %: 1 100 - 91 2 90 - 76 3 75 - 51	4 50 - 26 5 25 - 0
	Profundidad (m)	Fotografía	Litología		Desc	ripciór	1	Recuperación (m)	Meteorización	RQD (%)
	0			Grava marrór centim	n claro		sa de color fragmentos			
	Arcillas de color marrón fácilment disgregable.				on fácilmente					
	5			claro de cua	on pequeño	s grar iboles	s de color gris nos angulosos . Venillas de	-	2	
	6			angulo granos ademá	sos de 1-6 c milimétrico	cm, es os de e alt	o andesiticos tos presentan e cuarzos y teración por	5	3	5
Lamina delgada	7			hialocis angulos redond nucleos	orfismo de stalina, mati sos de plagio os de feldes _l s del metro	riz fir oclasas patos, o 6 -	grado de ura faneritica na y granos s y otros mas dureza 3. Los 7 presentan		2	
	8			de car son ver y con present	bonatos, est nillas de carb un color gri	tos po onato s verd mete	os lenticulares osteriormente s milimétricas loso (9 - 11), orizadas de			4

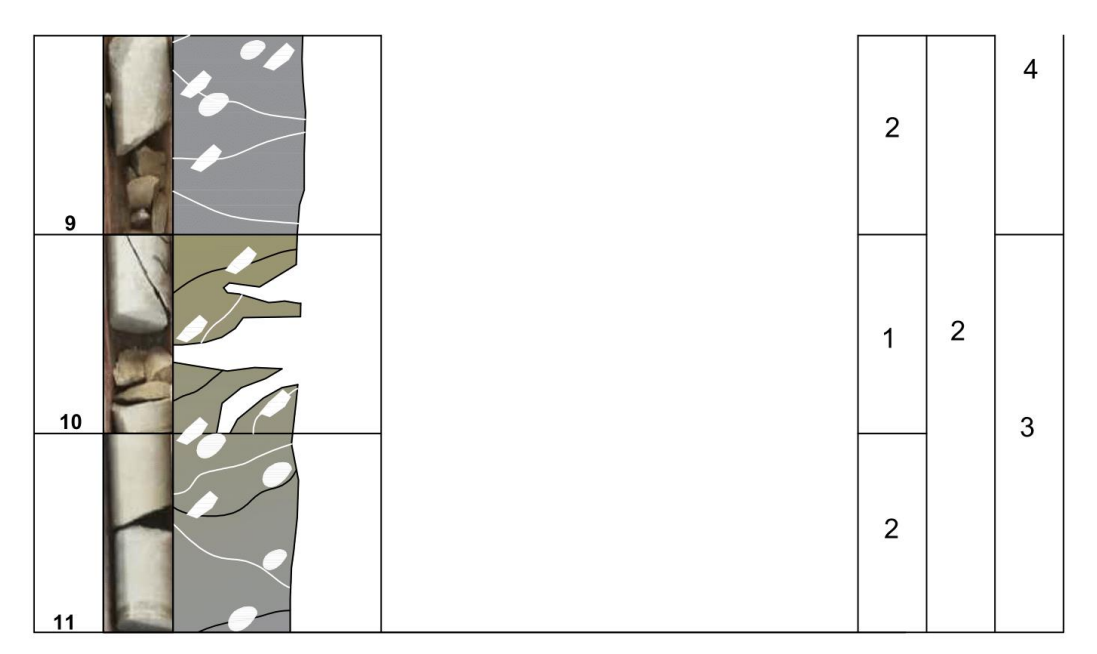


Figura 8.2 Columna estratigráfica PP-18

8.2.3 PSC-01

	Columna Estratigráfica Ubicación Codigo de perforación Formación Localida								
	X: 739599				Formación		Locali Carretera		
	Y: 9	684564	PSC-		Maguazo	1	laceo-Gu		cho
	Litología: Relleno de ca	rbonato Fragmo	entos liticos Flujo de lava Grava	1 10		Altamente me Completamen	nte meteor. 2.	90 - 76 - 75 - 51	4 50 - 26 5 25 - 0
	Profundidad (m)	Fotografía	Litología		Descripción		Recuperación (m)	Meteorización	RQD (%)
	0				a de color gris claro co e arena y muy densa.	on			
	2			granos su blanco y posiblement HCl y posee meteorizacio	e color gris claro pre bredondeados de otros de color ma te óxidos, reacciona c venillas de color oscu ón por manganeso. va andesitico de colo	color arrón, con el ro de	5	3	
	3			angulares (hornblenda los granos preferencial observan v	as) y blancos (plagioc s tienen una dire l y fragmentos lítico venillas de carbonat	oscuro lasas), ección os, se			5
Lamina delgada	4			meteorizaci	ón por manganeso.		4	2	
	5								
	6			centimetríco 6 se present Textura por ciertas caras presencia de	de andesita de ta o de 5 - 1 cm, del metr an fragmentos de 5 a fídica de color gris clar s de rellenos de carbor e fenocristales euedral s y plagioclasas tabula	o 5 al 8 cm. o con natos, les de		3	5

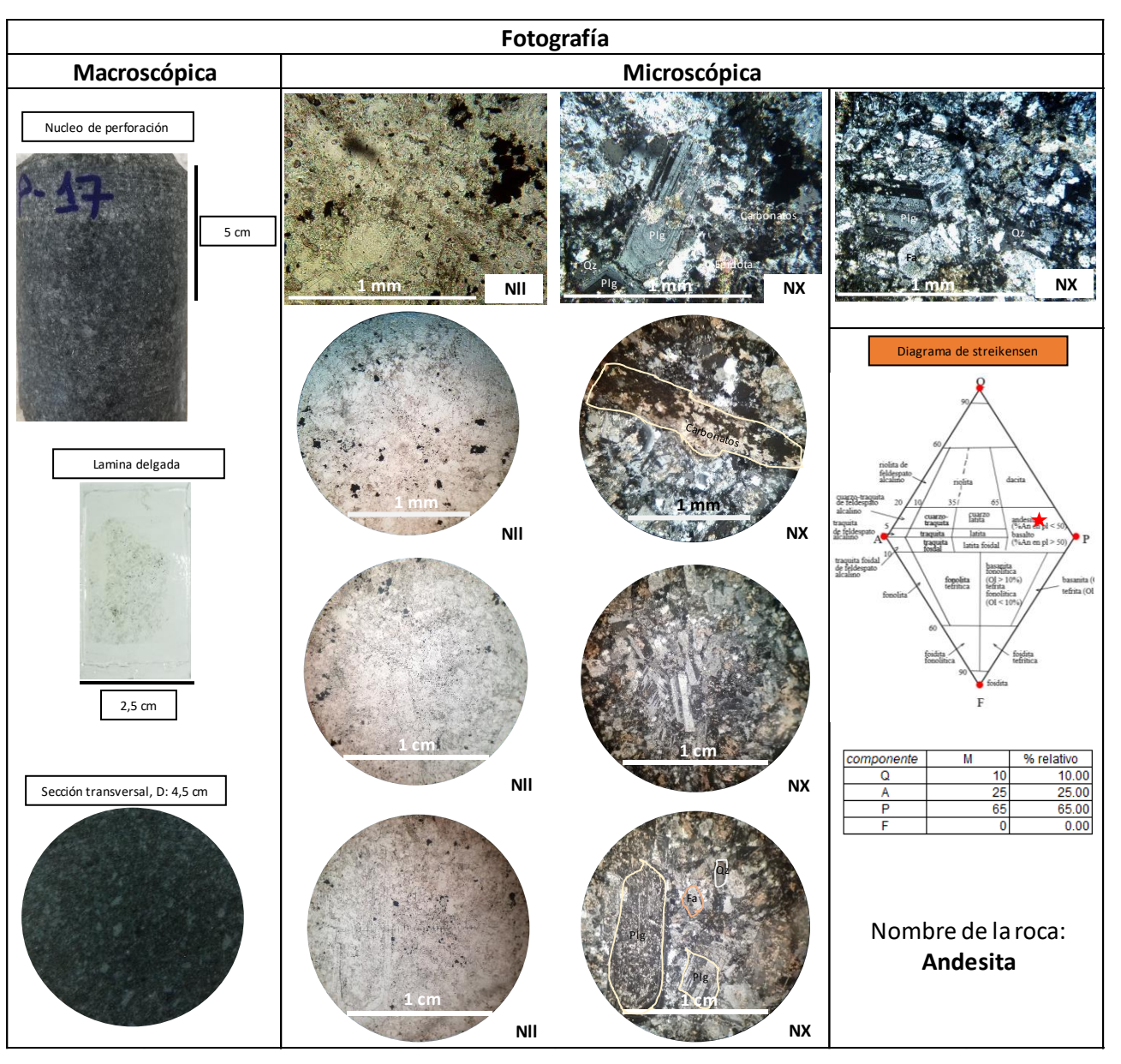
8	Flujo de lava andesitico en roca compacta de color verde grisáceo textura porfídica-fanerítica con venillas de carbonatos de espesor milimétrico.		4
9		2	
10	Fragmentos andesiticos alargados y angulosos de color gris claro con cierta tonalidad verdosa, textura porfídica-fanerítica con cristales angulosos de cuarzo o plagioclasas venillas de carbonaos, óxidos y caras		
11	meteorizadas por manganeso. V V V V V V V V V	3	5
13	Flujo de lava andesitico de textura afanítica de color oscuro, ciertas franjas de carbonatos, presencia de líticos er un 30% con granos angulosos y que siguen una dirección.	3	5

Figura 8.3 Columna estratigráfica PSC-01

8.3 Laminas Delgadas

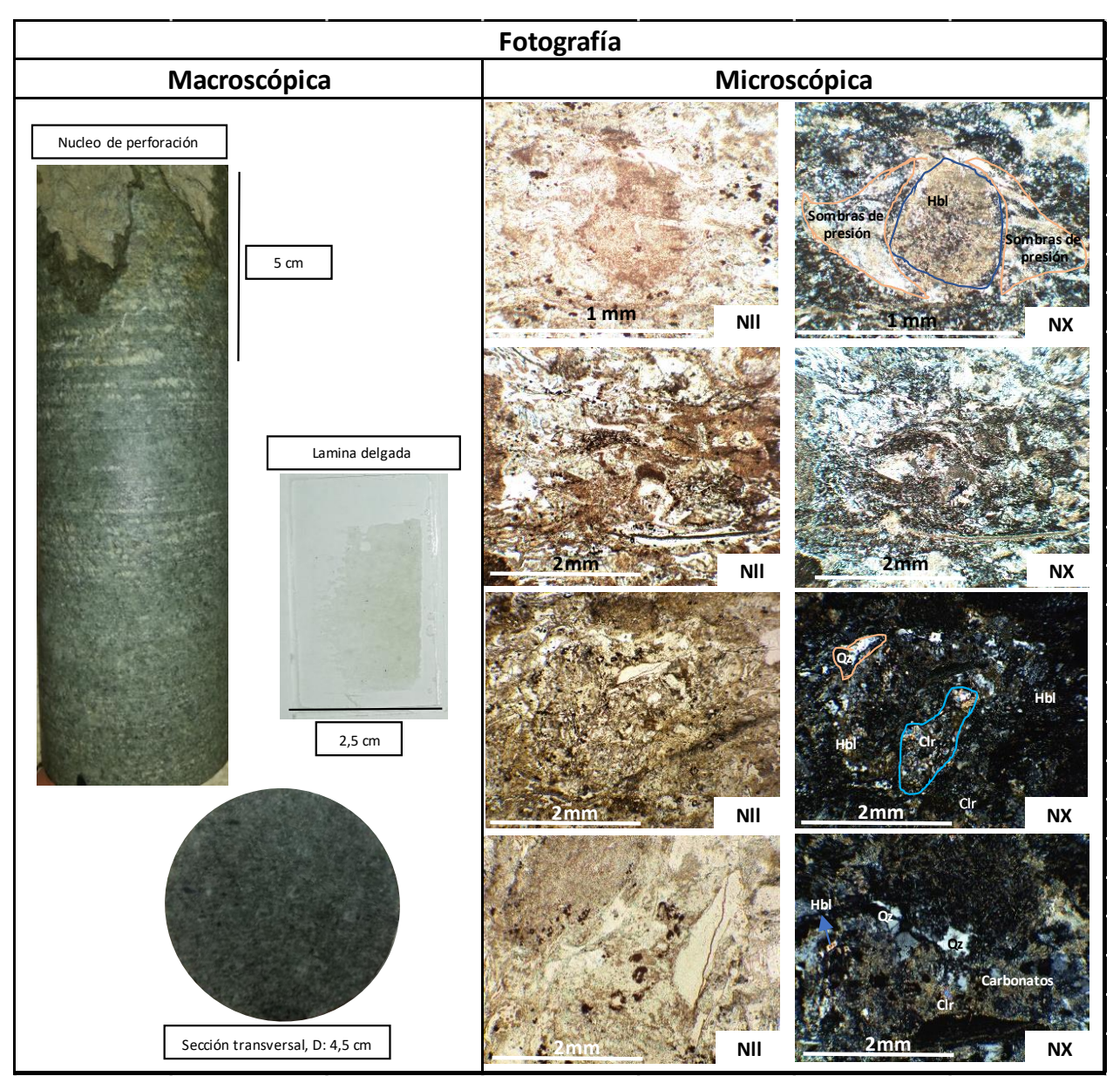
8.3.1 PP-17

Código de muestra:	PP-17	Coordenadas UTM	Х	739319		
- Jouigo de maestra.		Occidendas o i m	Υ	9684545		
Localidad:	Carretera Paute - Gualaceo - Guanguarcucho	Formación Geológica:		Maguazo		
Muestra tomada por:	Geoestudios S.A.	Fecha de recolección:		14-nov-19		
Nombre de la roca	Andesita con fend	ocristales de hornblenda y	plagiocla	sas		
	Descripción Ma	acroscópica				
Color	Gris oscuro					
Forma de fracturamiento	Irregular					
Tamaño de granos	De 1mm a 4mm					
Distribución de granos	Irregular					
Forma de los cristales	Tabulares y alargados					
Orientación de los componentes	Sin orientación preferencial					
Tipos de granos	Los cristales tabulares y alargados son plagioclasas y aquellos blancos un poco más irregulares corresponden a cuarzos.					
Observaciones	Reacción a con el HCL, tiene mucha p translucido principalmente.	resencia de cristales de plaç	gioclasa de	color blanco		
	Descripción Mi	icroscópica				
Textura	Presenta una textura fanerítica de gran identificables y se tiene un mayor porc son seriados por su variación de tama	entaje de cristales que de ma				
Matriz	La matriz presenta agregados microcristalinos fanerítica de grano medio, los cristales de epidota se presentan muy alterados y en muy poca proporción.					
Minerales	Se pueden reconocer Plagioclasas (Plg) que son aquellas que presentan maclas zonificadas, albita y albita-carlsbad pertenecientes a minerales de anortita los cuales están siendo remplazados por carbonatos que son aquellos que se observan de color amarillo en las láminas delgadas en nicoles cruzados. Los Feldespatos alcalinos (Fa) tienen maclas únicamente carlsbad y también existe cuarzo en muy poca proporción.					



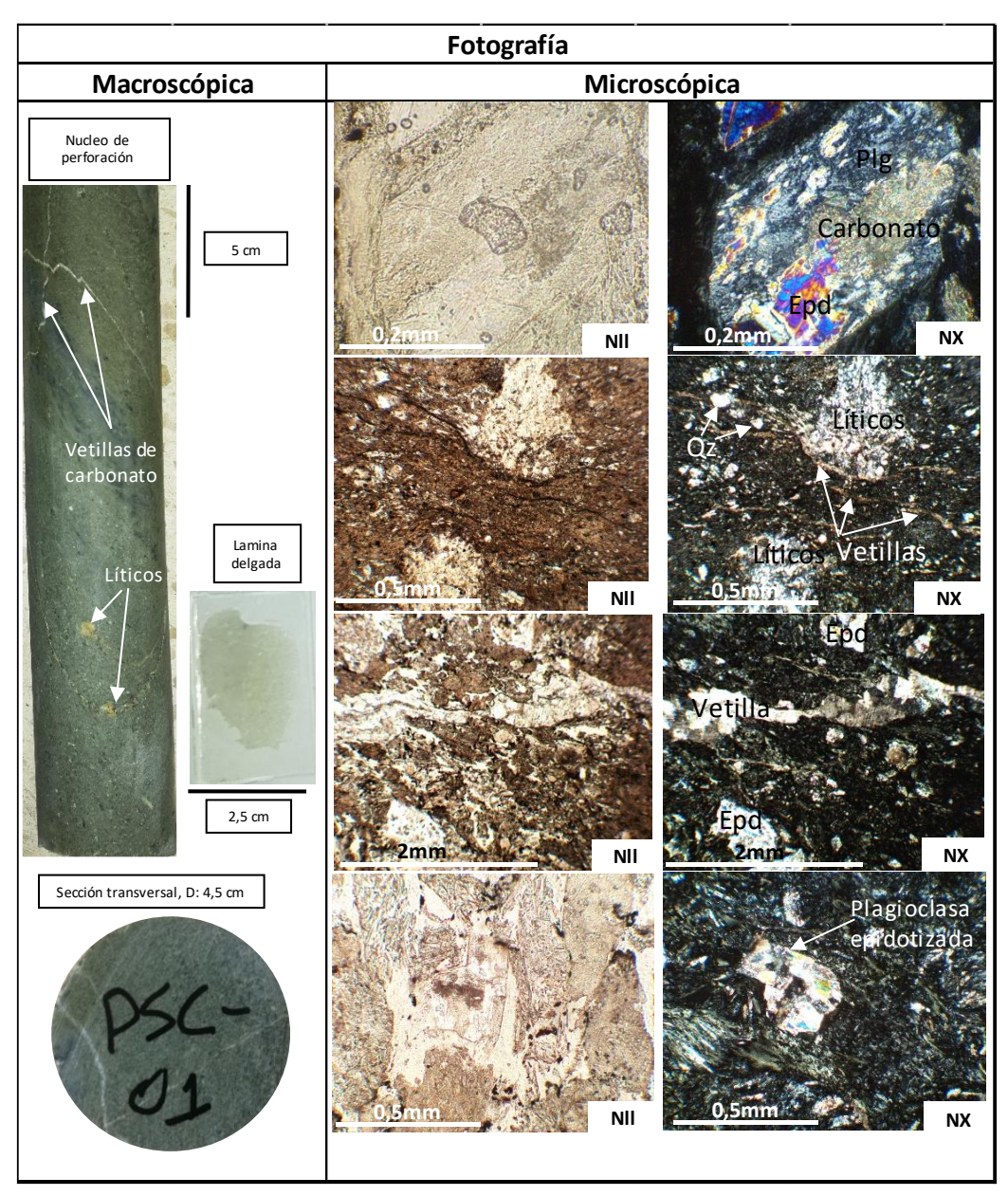
8.3.2 PP-18

Cádigo do mucotro.	PP-18	Coordenadas UTM	Х	739393			
Código de muestra:		Coordenadas OTM	Υ	9684512			
Localidad:	Carretera Paute - Gualaceo - Guanguarcucho	Formación Geológica:	Maguazo				
Muestra tomada por:	Geoestudios S.A.	Fecha de recolección:		14-nov-19			
Nombre de la roca:		on bajo grado de metamor	fismo				
	Descripción M	acroscópica					
Color	Gris oscuro verdoso						
Forma de fracturamiento	Laminar o en superficies de estrias.						
Tamaño de granos	De 1mm a 2mm						
Distribución de granos	Inequigranular						
Forma de los cristales	Irregulares y alargados						
Orientación de los componentes	Laminar, siguen una dirección						
Tipos de granos	Cristales de color blanco translucidos d	e Qz, cristales de clorita, arci	lla y esmé	cticas.			
Observaciones	Presenta rellenos de color blanco que re simple vista, cristalinidad hialocristalina juntos y acumulados.						
	Descripción M	icroscópica					
Textura	Presenta cristales de tamaño marcadamente superior a los que los rodean, los cristales parecen estar rodeados de una matriz vítrea. Textura portidoblástica afanítica con una microestructura podulosa v						
Matriz	Agregado microcristalino con una matriz microlítica de granos finos alargados con una dirección preferencial. Foliación de fractura, lineaciones orientadas en una dirección subparalela, posiblemente al plano máximo de compresión.						
Minerales	Se identifican minerales de hornblenda (Hbl) de color amarillo claro en nicoles cruzados, cuarzos y reemplazamiento de epidota en hornblenda. Minerales de colores translucidos son de clorita alterados debido a la presencia de carbonatos.						



8.3.3 PSC-01

Codigo de muestra:	PSC-01	Coordenadas UTM	Х	739599
			Υ	9684564
Localidad:	Carretera Paute - Gualaceo - Guanguarcucho	Formación Geológica:	Maguazo	
Muestra tomada por:	Geoestudios S.A.	Fecha de recolección:	14-nov-19	
Nombre de la roca	Flujo de lava con composicion andesitica			
Descipción Macroscópica				
Color	Verde claro grisáceo			
Forma de fracturamiento	Irregular en dirección de los rellenos de carbonatos			
Tamaño de granos	Muy variado de 1mm a 5mm			
Distribución de granos	Inquigranular			
Forma de los cristales	Generalmente alargados tabulares, otros se encuentran irregulares.			
Orientación de los componentes	Fluvial, direccion preferencial.			
Tipos de granos	Fragmentos líticos de color amarillo claro, marrón y gris oscuro. Cristales blancos tabulares y alargados pertenecen a plagioclasas.			
Observaciones	La muestra presenta rellenos de carbonatos y manchas oscuras de manganeso, también se presentan fragmentos líticos de 1 a 3 mm.			
Descripción Microscópica				
Textura	Textura fanerítica hialocristalina microcristalina, algunos granos se presentan anhedral y otros subhedrales.			
Matriz	Matriz de agregado microcristalino de color gris oscuro, rico en minerales máficos, micritos de plagioclasas.			
Minerales	La muestra se presenta muy alterada, existen algunas plagioclasas las cuales tienen una epidotización que son aquellos con una alta birrefringencia. Se logra observar vetillas de carbonato de un color pardo, cuarzos en menor porcentaje y fragmentos líticos.			



8.4 Estaciones geomecánicas

8.4.1 Sitio crítico 1

STATION STAT																							FI	CHA	PAF	A LEV	ZAN1	AMI	EN T) GE	OME	ÁNIC	О													_								—
State Column Co	ESTA	ciói	H		ESI	PACI	ADO	(cm	1	П	5	Jv	co	N TO	N UII	DAD (m)			Α.	PER	TURA					_							AD			Т							RELI	ENC	05							т	Т
Control Cont	1317	T	_		1	Т		1		40	Ť		-	<u> </u>	T	T .	,		П		T	9	1	-,	Т	Т	m.	1			П	r.o.u		T			+		ETE	ORIZ	vció:		T				tesi	st. N	fart ill	o (Go	no. Sci	hmid	1	ı
ST T1 ST ST ST ST ST ST	ONVI	JZAMIEN TO	NTO	Ext. Juntas	Muy Juntas	Juntas	Moder. Junta:	Separadas	Muy Separada	Ext. Separada	Promedio	Final	Muy Baja	Baja	Moderada	Alta	Muy Alta	Muy Cerrada	Cerrada	Parc. Cerrada	Abierta	Moder. Abjert	Ancha	Muy Ancha	Ext. Ancha	Cavernosa	1 %	(cm)		ESCALONADA			ONDULADA			PLANA					Τ	Τ				Ī	opu						8 9	ción
ST 77 77 77 77 77 77 77	TIPO DE P	DIRECCION DE BI	BUZAMIE	<2	2 - 6	6 - 20	20 - 60	60 - 200	200 - 600	> 600	(m)		<1	1 - 3	3 - 10	10 - 20	>20	<0,1	0,1-0,25	5'0 - 52'0	0,5 - 2,5	2,5 - 10	>10	10 - 100	100 - 1000	> 1000	sod we	Espesor	Rugosa	II Lisa		l Rugosa	II Lisa		Rugosa	II Lisa	III Slickers ided	Sana	Salam office	Med. Meter	Complet Met	Suelo Res	Seco	Hümedo	Goteos	Fluio	ald vu M	Bland	Consiste	Muy consi	Duro	Muy Du	oibul	Direc
37 77 74 74 77 74 77 74 75 75																													ı	ш	ш	1	11	11	1	1 1	II I	ш	Ш	ı IV	٧	VI	1				F	1	2	3	4	5	1	
10 66 68 68 68 72 72 72 73 74 74 75 75 75 75 75 75 75 75 75 75 75 75 75	6	57	71																																												Г	Т		Ī	Ī	Г	Г	Г
11	3	37	77				Γ	П]]				1							Т							Т	Т	Т	7		Т	1						ı	
89 61	4	47	74]]]							П												\top]						L	П
89 61	6	56 (68		\neg		[П								1							1				Α	١.	١			\Box		Т					٦.	Г	Т	Т	Т	٦	Г	Т	٦.,		۔ ا	١.,	.		18	
52 74	31	36	72		\neg		×	\neg			0.2					×							1 ×				С	1	×			\Box		Т			\neg		7	× 🗀	Т	Т	1	7 ×	Г	Т	7"	34	1 40	144	1 34	38	39	90
154 78	4	19	61		\neg		Γ	\neg	\neg							1							1				1					\neg		Т			\neg		7	Г	Т	T	1	7	Г	Т	7						ı	
150 64	5	52	74		\neg	\neg		\neg	┪							1							1		П		1					\neg	一	T	T	\neg	\neg	\top	٦		T	Т	1	7		\top	1						ı	
126 74	5	54	78		\neg	\neg	ı	\neg	\neg				Г		Г	1			Г	T	\vdash	\vdash	1		Т	\top	1					\neg	\neg	ℸ	\neg	\neg	┪	\top	┨		\top	\top	1	1	Г	\top	1						ı	
125 89	1	50	64			П		\neg																			П							Т					Т	Т	Т	Т	1	Т	Т	Т	Т	Т		Т		П	Г	
12 142 67	1	26	74		\neg	┪	\neg	ı	一						Г	1					1	Г	Г		Т	T	1							╅		\neg	\top	\top	┨		\top	\top	Τ	1	Г	\top	1						ı	
12 142 67	1	25	89		\neg	┪	\neg	ı	一						Г	1			Г		1	Г	Т		Т	T	1						\neg	ℸ		\neg	\top	\top	┨		\top	\top	Τ	1	Г	\top	1						ı	
136 56 134 53 150 50 150 150 150 150 150 150 150 150	1	_	${}^{-}$		\neg	\dashv	\neg	ı	\neg	\neg						1					1	Г	\vdash		\vdash	\top	1 _A					\neg	\neg	┪	\neg	\neg	\top	\top	┨		\top	\top	\top	1		\top	1						2	
136 56 134 53 135 135 135 135 135 135 135 135 135	J2 1	_	-		\neg	\neg	\neg	×	\neg	\neg	0.7	11			\vdash	×					×	Н	\vdash		\vdash	T		0.1	X			\neg	\neg	┪	\dashv	\neg	\top	\top	٦.	× -	\top	\top	\top	٦×	\vdash	+	- J2	48	3 30	34	32	32	¥A	90
134 53		_	$\overline{}$		\neg	\dashv	\dashv	ı	\dashv	\neg					\vdash	1					1	Н	\vdash		т	T	1						\neg	7	\neg	\neg	\top	\top	┨	\vdash	+	+	\top	1	\vdash	+	1						ı	
150 50	ı ⊢	-	\rightarrow		\neg	\dashv	\dashv	ı	\dashv	\dashv			\vdash		\vdash	1			\vdash	T	1	Н	\vdash		\vdash	\top	1					\neg	\neg	7	\neg	\neg	\top	\top	┨	\vdash	+	+	+	┪	\vdash	+	1						ı	
257 54	_	_	\rightarrow		\dashv	\dashv	\dashv	ŀ	\dashv	\dashv						1					1					\vdash	1							1		\top	\top	\top	\exists		+			1		+	1							
258 50	_		_																															1	\dashv				+								+							
264 48	_	_	-				-	\dashv								1					1						1							1	\dashv				\exists		\top			1			1							
273 51			-				-	_								1					1						1							1	\dashv				\exists					1			1							
13 280 38	_	_	-		\dashv	\dashv	-	\dashv		\dashv						1					1						1						\dashv	+				+	\exists		+	+		1			1						L	
295 52	_	_	_		\dashv	\dashv	×	\dashv	\dashv	\dashv	0.2										×							0.1						\dashv	\dashv	x	+	+	Η.		+			٧,			12	1	100	, ,,	34	32	8	00
282 52 285 46 293 35 Eo. Estatificación 31In Juntas SELIENO S - Alena B - Brecha Q - Cuarzo O - Óxidos	_	_	-		\rightarrow	\dashv	^ h	\dashv		\dashv						1 ^					1 ^						С	0.1						\dashv		^ -		+	+		+	+		1 ^			1"	1	-	7	- -	32	38	130
285 46 293 35 Eo. Estatificación 31In Juntas SELIENO S - Alena B - Brecha Q - Cuarzo O - Óxidos	_	_	_	\dashv	\dashv	\dashv	-	\dashv	\dashv	\dashv						1					1						1						+	\dashv	\dashv	-	+	+	\dashv	\vdash	+	+		+			+							
293 35 Eo.: Estratificación J1_In: Juntas Selue NO S: Arena B: Brecha Q: Cuarzo O: Óxidos	_	_	-	\dashv	\dashv	\dashv	-	\dashv	\dashv	\dashv						1					1						1						+	\dashv	\dashv	-	+	+	\dashv	\vdash	+	+		+			+							
TIPO DE PLANO BELIENO S - Arena B - Brecha Q - Cuarzo O - Óxidos	_	_	-		+	\dashv	-	\dashv	-	\dashv						1					1						1						-	\dashv	\dashv	-	+	+	\dashv	\vdash	+			+			+							
TIPO DE PLANO RELLENO	- 2	33 .	33						F.	0 . F.	etm.	fler	dán		12	lin.	unto :															-	. Are	22				Brack	_			2 - 000	2.020				0	6vid	00					
	TIPO	DEF	PLAN	0																			1	RELI	LE NO		\vdash			G	Gran		- Mile		Δ.	Andill		21001		M - 5			-120		-	. 65				der	nato			—

																					FIG	CHA	PAR/	\ LEV	/AN1	ГАМІ	ENTO	O GEO	ОМЕ	CÁNIC	:0																			_	\neg
ES	TACIO	ÓΝ		E:	SPAC	IADO) (cr	n)		CC	IITNC	NUID	AD (m)			Α	PERT	URA	(mm	n)			R.	Арг				RUC	GOSIE	DAD										RE	LLEN	os								П
						ıs		as	Se						_		В		ta								4			_					١	MET	EORIZ	ZACIO	ÓΝ	F	ILTI	RACIO	NES	Re	esist.	Martill	lo (Ge	o. Schi	midt)	1	
LANO	JZAMIENTO	NTO	Ext. Juntas	Muy Juntas	Juntas	Moder. Juntas	Separadas	Muy Separadas	Ext. Separadas	Muy Baja	Baja	Moderada	Alta	Muy Alta	Muy Cerrada	Cerrada	Parc. Cerrada	Abierta	Moder. Abierta	Ancha	Muy Ancha	Ext. Ancha	Cavernosa	ción	(cm)		ESCALONADA			ONDULADA			PLANA			orizada	orizada	orizada	eorizada	5				opu		ante	stente		0.7	<u>م</u>	ción
TIPO DE PLANO	DIRECCIÓN DE BUZAMIENTO	BUZAMIENTO	<2	2 - 6	6 - 20	20 - 60	60 - 200	200 - 600	> 600	<1	1 - 3	3 - 10	10 - 20	>20	<0,1	0,1 - 0,25	0,25 - 0,5	0,5 - 2,5	2,5 - 10	>10	10 - 100	100 - 1000	> 1000	Composición	Espesor (cm)	I Ru		III Slickensided	l Rugosa	-	III Slickensided	l Rugosa		III Slickensi					Complet. Meteorizada		0000	Humedo	ciulin in i	_		3	Σ		Σ	Indice R	Dirección
																										1	П	Ш	ı	П	Ш	ı	П	Ш	1	П	Ш	IV	۷ V	1	_	_	_	F	1	. 2	3	4	5	▙	\perp
	63															<u> </u>																		_			L						-	4							
	53															-	-											-			_			_	_		-		_	-	_	_	+	4							
	35	81														-	-											-			_			_	_		-		_	_	_	_	+	4							
	57	66														-	-							Α				-			_			_	_		-		_	-	_	_	+	4					1	9	
J1	-					Х								Х		-	-			Х				С	1	Х		-			_			_	_		Х		_	-	4	×	+	J1	L 3	6 40	54	39	34	40.60	90
	59	67														-	-											-			_			_	_		-		_	_	_	_	+	4							
												-												4							_			_			F		_			_	_	4							
	47															-	-											-			_			_	_		-		_	-	_	_	+	4							
	52																																									_	_	_					4	_	
	145	60															-											-			_			_	_		_			_	_	_	+	4							
	151																	-										-			_			_	_		_			_	_	_	+	4							
																	-	١						Α		l		-			_			_	_					_	4.	. –	+	4.,						80	
J2	168					Х								Х				Х						С	0.1	. х									_		Х		_			×	4	J2	2 4	6 47	41	38	42	42.80	90
	150																	_																					_			_	_	4							
	161																																						_			H	+								
	153																																								4		4	\perp							
	240																	-																									+	4							
	220																																	4									+	4							
	210																																											4							
	240																							Α																										8	
J3						Х								Х				Х						C	0.1							Х					X					x	1	J3	3 3	8 21	. 30	36	40	33.00	90
	195																							Ţ																			\perp								
	191																																										1								
	187 192																																				L			+			+								
	192	/1						Eo E	c tro t	tifica	ción		1	In- I	unta															S - Are	na			B	Brec	ha			Q - Cı	2 770				0 - 0	Óvi d	05					
<u>T</u>	PO DE	PLAI	NO.	-				S1 E							allas						RELL	ENO		-			G	- Gra		3 - AIE	па	Δ	- Arcil		biet	ııa	М -	Milo		10120		-	- Ca	Icita		- Fel	desn	ato		—	\dashv
								J1." L	-3 qui	13103	iuau		11.	II F	unds									1			J	Gia	va 3			_^	AIGH	103			141 -		ıı ta				· ca	orta		. 1 61	aesp	410			

																					FIC	CHA I	PARA	LEV	ANT	AMIE	NTO	GEO	MEC	CÁNIC	:0																					
ES	TACIO	ÓΝ		ES	PACI	IADO	(cm	1)		CC	IITN	NUID	AD (m)			Α	PERT	URA	(mn	۱)			R. <i>A</i>	Apr				RUG	SOSIE	DAD										F	RELLE	NOS	5								
						s		as	as						_		в		ta								4									MET	EORI	IZAC	IÓN		FIL	TRAC	CION	ES	lesist	. Ma	rtillo	(Geo	. Schn	nidt		li
LANO	UZAMIENTO	NTO .	Ext. Juntas	Muy Juntas	Juntas	Moder. Juntas	Separadas	Muy Separadas	Ext. Separadas	Muy Baja	Baja	Moderada	Alta	Muy Alta	Muy Cerrada	Cerrada	Parc. Cerrada	Abierta	Moder. Abierta	Ancha	Muy Ancha	Ext. Ancha	Cavernosa	ción	(cm)		ESCALONADA			ONDULADA			PLANA			orizada	orizada	orizada	teorizada	idual					opu	0	ente	stente		uro	Indice R	Dirección
TIPO DE PLANO	DIRECCIÓN DE BUZAMIENTO	BUZAMIENTO	<2	2 - 6	6 - 20	20 - 60	60 - 200	200 - 600	> 600	₽	1-3	3 - 10	10 - 20	>20	<0,1	0,1 - 0,25	0,25 - 0,5	0,5 - 2,5	2,5 - 10	>10	10 - 100	100 - 1000	> 1000	Composición	Espesor (cm)	l Rugosa	II Lisa	III Slickensided	l Rugosa		Ξ	l Rugosa		III Slickensided	Sana	Algo meteorizada	Med. Meteorizada	Muy meteorizada	Соп	Suelo Residual	Seco	Húmedo	Goteos	Flujo	Muy blando	Blando	Consistente	Muy consistente		Muy Duro	fndi	Direc
																										-	Ш	Ш	1	П	Ш	1	П	Ш	ı	П	Ш	IV	٧	V١					F	1	2	3	4	5		Ш
	63					-												1																			-															
	61	70				-												_		ļ																	-															
	58 49	64				-												1						۸													-														o	
J1	59	76 68				Х							Х					Х						A C	0.1	Х							-				Х					Х			J1	26	32	32	34	28	30.40	90
	45	70																_						C									-																		m	ı
	47	71																																																		1
	48	48				-																											-				-															
	182																																																			
	180																	1																																		
	180	-																1																																		
	181	68				-												1														-					-															
J2	175					Х							Х					Х						Α	0.1							Х					х					х			J2	34	28	24	44	44	34.80	90
	155																	1						С																					-						3,	
	185																																																			
	177	-																																																		
	183																																																			
	260	65																																																		
	268																																																			
	270																																																			
12	268	89				x							х					х						Α	0.1	v											x					х			12	20	20	22	24	40	34.00	00
J3	263	80				Х												Χ.						С	0.1	Х											X					X			13	36	28	32	34	40	34	90
	265																																																			
	270																																																			
	260	87																																																		
TI	PO DE	PLAN	NO .							ifica				Jn- J							RELL	ENO								S - Are	ena				- Bre	cha				Cuar	zo				0 - Ó							_]
L			_	<u> </u>				\$1 E	squi	stosi	idad		F1	Fn F	allas	5											G ·	- Grav	/a s			Α-	- Arcil	las			М-	- Mil	onita				C -	Calci	ta	F-	Feld	espa	to			

																						FIC	на Р	ARA	LEV.	ANT	AMIE	NTO	GEC	MEC	ÁNIC	:0																				_	\neg
EST	CIÓN	7		ESP/	ACIA	DO (cm)			S.	Jv	со	NTIN	IUID	AD (n	n)			ΑF	PERT	URA	(mm)			R	Apr				RUG	OSID	AD									R	ELLEI	NOS									\neg
					٠,	s		as	S.	Ì							_		В		ta								∢								ME	TEOF	RIZAC	IÓN		FILT	RAC	ION	ES I	esist.	Mart	illo (Geo. S	chmi	dt		ı
LANO	UZAMIENTO	0	Ext. Juntas	Muy Juntas	Modern report	Moder. Junta	Separadas	Muy Separadas	Ext. Separadas	Promedio	Final	Muy Baja	Baja	Moderada	Alta	Muy Alta	Muy Cerrada	Cerrada	Parc. Cerrada	Abierta	Moder. Abierta	Ancha	Muy Ancha	Ext. Ancha	Cavernosa	ción	(cm)		ESCALONADA			ONDULADA			PLANA		orizada	orizada	orizada	teorizada	idual					opu	lo	ente	stente		010	Se R	ción
TIPO DE PLANO	DIRECCIÓN DE BUZAMIENTO	BUZAMIENIO	\$ 5	0 - 7	07 0	20 - 60	007 - 09	200 - 600	009 <	(m)		7	1 - 3	3 - 10	10 - 20	>20	<0,1	0,1 - 0,25	0,25 - 0,5	0,5 - 2,5	2,5 - 10	>10	10 - 100	100 - 1000	> 1000	Composición	Espesor (cm)	l Rugosa		III Slickensided	l Rugosa		≡		II Lisa		Algon		Muy meteorizada	Com	Suelo Residual	Seco	Húmedo	Goteos		Σ			Muy	Duro	≥	Indice R	Dirección
																												l	II	Ш	l	11	11 1			#	11	Ш	IV	٧	۷I					F	1	2	3 4	4 5	-	+	\dashv
	180 6				-		-		_		ŀ					-		_															-												_								
	179 6		_	+	-	_	+				-					-		-		-													-		-	+	+	4					-		-								
	187 6		_	+	-	_	\dashv				-					-				-													-			+	+	1	_				-		\dashv								
	174			+	,	x -	_		\dashv	0.2	H					х				х						A C	0.1	х							+	+	+	×					-		=	J1	40	26	24 2	6 3	2	0.60	90
	172 5				╣.	_	$^{+}$		= `		r					· ·										С	0.1						1			+	+	1					+		\exists	-			- -		- 6	22	50
_	185 5				-		_				ŀ					ŀ																			+			1							\dashv								
	176				1	_	1				F					f				ŀ													1					1															
	182 6																																					1															
	46 6	53																																																			
	40 6	56																																																			
	44 4	16																																																			
12	43 6	56			٦,	, –			٦,	0.2	15					x				х						Α	0.1				V															J2	44	20	40 3		2 6	28.	00
J2 -	41 5	52				^ _				0.2						^ [^						С	0.1				Х							X								JZ	44	30	40 3	12 4	-2 0	38	90
		51																																																			
_		55																																																			
	42 6																																																				
	134 8																																																				
	141 7																	4															4	4																			
-	29 8	_									L																											_															
I 12 🛏	139 8	_			,	x 📙				0.2						х		_		х						Α	0.1				х							X								13	34	42	45 3	6 3	2 3	ر ا ر	90
		39																								С	J. 2																			-					Ċ	7	
	140																																																				
	137 8			4			4				L					L		4															4	_																			
	138	39										. ,																																		Á	. ,						
TIPO	DE P	LAN	<u>o</u>							tra tifi quis t					.Jn- Ju .Fn Fa								RELLI	<u>NO</u>					G -	- Grav		- Are	na	A	Arcilla		recha		- Mil	Q - onita	Cuar	zo		C - (Calcit) - Óx a		elde	spato			—	\dashv

																					FICH.	A PA	RA L	EVAI	NTAI	MIEN.	то	GEON	IECÁ	NICO																					
ESTAC	CIÓN			ESPA	CIADO	O (cr	m)		S	Jv	CC	NTINC	NUID	AD (m)			APE	RTU	AS (1	nm)				R. Ap	or			R	RUGOS	SIDAD)									RE	LLEN	os								
					as		as	as								а	9	9	ŧ	9								٧		_						METE	ORIZ	ZACI	ÓN		FILT	RACIC	NES	tesis	t. Ma	rtillo	(Geo.	. Schm	nidt		
LANO	NTO		Ext. Juntas Muv Juntas	Juntas	Moder. Juntas	Separadas	Muy Separadas	Ext. Separadas	Promedio	Final	Muy Baja	Baja	Moderada	Alta	Muy Alta	Muy Cerrada	Dary Corrada	יפור: כפוומר	Ablerta Moder Abjerts	Model: Apie	Ancna	muy Ancua	Ext. Ancha	Cavernosa	ción	(cm)		ESCALONADA		AGAIIIGNO			PLANA			orizada	orizada	orizada	teorizada	idual				opu	0	ente	stente		ıro	se R	ción
TIPO DE PLANO DIRECCIÓN DE BUZAMIENTO	BUZAMIENTO	SIN SOC SI	<2 2 - 6	6 - 20	20 - 60	60 - 200	200 - 600	> 600	(m)		₽	1 - 3	3 - 10	10 - 20	>20	<0,1	0.75 - 0.5	2,0 - 02,0	0,5 - 2,5	01 - 6'7	>10 10 10 100	001 - 01	100 - 1000	1000 ×	Composición	Espesor (cm)	i Kugosa	ll Lisa	panisuaviis iii	l Rugosa Il lisa	III Slickensided	l Rugosa	II Lisa	III Slickensided	Sana	Algo meteorizada	Med. Meteorizada	Muy meteorizada	Complet. Meteorizada	Suelo Residual	Seco	Humedo	Fluin	Muy blando	Blando	Consistente	Muy consistente	Duro	Muy Duro	Indice R	Dirección
																											ı	11 1	11	1 1	111	1	П	Ш	1	П	Ш	IV	۷ ۱	٧ı				F	1	2	3	4	5		
	2 70																																				_														
25		_										1			-				-	_						_				<u> </u>	_	-	1				L			4			4	4							
22		_										1		-	-				<u> </u>	_	_	_	_				_		4	_	-	-	1			_	-	_		4			-	-						0	
J1 24		_			×				0.2			1			Х			_ :	x _	_	_	_	_	_ '	A C	0.1	_		- :	x	-	-	1			_	х –	_		4		x 📙	-	J1	45	33	31	48	36	38.60	90
28		_										<u> </u>			-				_	-				- '		-				<u> </u>			-				-	_	_	_			-							3	
30		_	_									1			-				-	-				4		-			-	<u> </u>	_	-	1	\vdash		_	_		-	-				-							
35 27												1							_	-	_						-		-	_		+				_	-	-		+			+	-							
175		_										-																																							
190		_			_							1							-	+						-			+	_	-	-	1			_	_			-			-	-							
170	_				_							1			-		-	_	-	+			_	-		-	-		+		-	+	1			_	_	_		+			+	-							
185												1			-		-		-	+	_	_				-			+	_	_	1				_	-			-		_		-							
J2 175		_			х				0.2	15		1			х			Η,	x -	+		-			A	0.1			+	— x	.	+				_	x			+		_x	+	12	40	20	22	47	2/	38.40	90
174		_			- ^				0.2	15					^		+	- '	^ -	+				-	c	,. <u>.</u>			+	⊣ ^	_	\vdash				_	^ -			+		^ -	+	- 12	40	36	33	47	34	38	30
182															-				-	+									+			+				_	-	_		+											
175		_																		+	+														-		-			+				1							
187															-					+																	-	1		+											
	5 71																																					1													
165																																																			
140		_																																																	
140	_	_																							A																									80	
J3 147					Х				0.2						Х			- 1	X –						A C	0.1		Х									Х					x		13	48	38	36	42	40	40.	90
160	_	_																																																	
158		_																																																	
	1 83																																				-			T											
						ı		Eo E	strat	tifica	ción		J1.	.Jn- J	untas															S - <i>i</i>	Are na			В	- Bred	ha			Q - C	uarz	0			0 - 0	xidos	5					
TIPO D	DE PL	ANO	<u> </u>					S1 E					F1.	Fn F	allas					1	R	ELLEN	<u>00</u>	F				G - G	rava	c		Δ	A - Arc	illas			М -	Milo					: - Cal	rita	F-	Feld	espat	to			\dashv

																						FI	CHA	PARA	A LEV	'ANT	AMI	ENTO	O GE	ОМЕС	ÁNIC	0																					\neg
ES.	ΓΑCΙÓ	N		ESP	ACI	ADO	(cm)			S J	v	CON	TINU	UIDA	AD (n	1)			ΑI	PERT	URA	(mr	n)			R.	Apr				RUG	OSID	AD									ı	RELLI	NOS	5								
						as		as	as								е		la		rta								٧			_					М	ETEO	RIZAC	CIÓN		FIL	LTRA	CION	IES	lesist	. Mar	tillo	(Geo.	. Schm	idt		
LANO	UZAMIENTO	NTO .	Ext. Juntas	Muy Juntas	Juntas	Moder. Juntas	Separadas	Muy Separadas	Ext. Separadas	Promedio	Final	Muy Baja	Baja	Moderada	Alta	Muy Alta	Muy Cerrada	Cerrada	Parc. Cerrada	Abierta	Moder. Abierta	Ancha	Muy Ancha	Ext. Ancha	Cavernosa	ción	(cm)		ESCALONADA			ONDULADA			PLANA		orizada	orizada	orizada	teorizada	idual					ndo	lo	ente	stente		2.0	Se R	ción
TIPO DE PLANO	DIRECCIÓN DE BUZAMIENTO	BUZAMIENTO	^ 2	2 - 6	6 - 20	20 - 60	60 - 200	200 - 600	> 600	(E)	,	⊽ ;	1 - 3	3 - 10	10 - 20	>20	<0,1	0,1 - 0,25	0,25 - 0,5	0,5 - 2,5	2,5 - 10	>10	10 - 100	100 - 1000	> 1000	Composición	Espesor (cm)	l Rugosa	II Lisa	III Slickensided	l Rugosa	II Lisa	III Slickensided	l Rugosa	II Lisa	naniciianaiic iii	Salid Algo meteorizada	Med. Meteorizada	Muy meteorizada	Complet. Meteorizada	Suelo Residual	Seco	Húmedo	Goteos	Flujo	Muy blando	Blando	Consistente	Muy consistente	Duro	Muy Duro	Indice R	Dirección
					4						4																	ı	П	Ш	ı	П	Ш	ı	11 11			Ш	I۷	٧	۷I					F	1	2	3	4	5		_
	64				_	_					-	_				L																				_							ļ										
		86	_		_						-	_				-	_																		_	-																	
		86			_	_					H	_				-																			_	+				-												0	
J1	_	89			_	х –			_ (0.2	-	_				x -				Х						A C	0.1	. x							_	+		_ x					Х			J1	44	34	32	44	42	39.20	90
		84 87	-		-	-			-		-	_				-	_									C									-	+	-															3	
		81	-	+	\dashv			+	-		-	-	-			-		-																		+	-																
		80		-	-	_	-	-	-		-	-	-			-	-												-						_	+	-																
	_	78			+						-																									+																	
		78			-				-			_				-	_																			+																	
	310			+	\dashv	-	-	+	-		-	+	+			-	_																			+	+																
	300			+	\dashv	-	+	+	-		-	+	+			ŀ	_	_																		+	+																
J2		85			+	x -			\dashv	0.2 3	15	-				х	_			х						Α	0.1	x								+		H _x					Х			12	30	28	30	40	38	33.20	90
	-	78			\dashv	-					~ 					· ·				• •						С	0.1									+							1			32	50	20	50	10		33	50
		78			\dashv																																+																
	312				7	-						\top				F	1																																				
	307						1																																														
	156																																																				
	167																																																				
		39			T																																																
		73		Ţ												,										Α								,												12	40	2.4	20	20	26	33.20	000
J3	160	41		x –						0						Х				Х						С	0.1							Х				X					Х			13	40	34	28	28	36	33.	90
	158	49																																																			
	147	45																																																			
	155	47																																																			
TIE	O DE	DΙΔΝ	10					Eo	Est	ratific	ca ci ó	'n		J1	Jn- Ju	ntas							RELL	ENO							S	- Are	na			B - E	3re ch a	9		Q.	Cuar	rzo				0 - Ó	xidos						
	J DL	· EFG						Si	L Es	quisto	osida	a d		F1	Fn Fa	llas							ALLE						G	- Grav	a s			Α-	Arcilla	S		N	l - Mil	lonita	l			C -	Calci	ta	F-	Felde	espat	to			

																					F	ICHA	A PA	RA LI	EVAI	NTA	MIEI	NTO G	ЕОМЕ	CÁN	ICO																					
ES	TACIĆ	ŚN		ES	PAC	IADO	(cm)		S .	Jν	COI	NTIN	IUID	AD (n	n)			APE	RTU	RA (m	m)			1	R. A	pr			RU	GOSIC	DAD									- 1	RELLE	ENO:	S								
						S		as	se								_	٦,	,		e T								,							ı	METE	RIZA	CIÓN		FIL	LTRA	CION	IES	tesist	. Ma	rtillo	(Geo	. Schr	nidt		
LANO	UZAMIENTO	NTO.	Ext. Juntas	Muy Juntas	Juntas	Moder. Juntas	Separadas	Muy Separadas	Ext. Separadas	Promedio	Final	Muy Baja	Baja	Moderada	Alta	Muy Alta	Muy Cerrada	2000	Abjerts	Apletta	Moder. Abler Ancha	Muy Ancha	and A state	Ext. Ancha	cavernosa	cion	(cm)	SC A LON A DA			ONDULADA			PLANA			orizada	orizada	teorizada	idual					opu	0	ente	stente		uro	ce R	ción
TIPO DE PLANO	DIRECCIÓN DE BUZAMIENTO	BUZAMIENTO	<2	2 - 6	6 - 20	20 - 60	60 - 200	200 - 600	> 600	(m)		4	1 - 3	3 - 10	10 - 20	>20	<0,1	0.35 0.5	0.5.2 - 0,5	0,5 - 2,3	2,5 - 10	10 - 100	100	100 - 1000	0001 4	Composicion	Espesor (cm)	l Rugosa	=	l Rugosa		≡	l Rugosa		III Slickensided	Sana	Algo meteorizada		కి		Seco	Húmedo	Goteos	Flujo	Muy blando	Blando	Consistente	Muy consistente	Duro	2	Indice R	Dirección
	15	7.0																							-	4	_		Ш	<u>l</u> ı		Ш		II I	Ш	1 1		IV	٧	۷I					F	1	2	3 Lutit	4	5		
		76 85		-							ŀ					ŀ		_		-	-	-	_		-		ŀ	-	1		Lutita		1														1	Lutit	3 			, !
		70		_							ŀ					ŀ		_		-	-	+	_	_	-			_	-		+							-														
		80		-							ŀ					ŀ		-		\dashv			-		\dashv			x –																	11	30	36	22	34	38	34.00	, !
	-	81		-							ŀ					ŀ		-		\dashv		+	-	_	\dashv			^ <u> </u>	-		+ +							-							11	30	30	32	34	36	34	
	-	72		-							ŀ					ŀ		+	-	\dashv		+	+		┨.	А		_	-	+	+ +				_			\vdash														
J1	17	74		Х						0	F					х				┥:	x -					c	1			Α	Areniso	ca					- >	:				Х				<u> </u>	Α	renis	ca			90
	-	70		-							ı					ı				┪					1		ŀ																							T		
		74		-							ı					ı				┪					1		f							-																	0	
	-	76		-							ı					ı				7					1		f							х											J1	44	42	30	40	34	38.00	
		64									ı									7							f																								38	
	14	76									ı									7							f																									
	300									1	100															T					Lutita																	Lutit	э			
	297	84																																																		
	301	82									Ī					l																																			0	
	304	84																										х																	J2	40	40	46	44	46	43.20	
	303	87														l																																			4	
	304	81																								,																										
J2	302	82		Х						0						х						Х				A : C	2.5			Α	Arenisc	a					>					Х					Α	renis	са			90
	304	81																																																		
	299	84																																																		
	288	83																																x											۱,	20	24	20	32	40	33.20	
																																		^											JZ	30	34	30	32	40	33	
	300	_																																																		
	307	80																																																		
TII	PO DE	PLAN	NO.					Е	o Es	tratifi	i ca ci	ión		J1	Jn- Ju	ıntas						RF	LLEN	10							S - Are	ena			В	- Brec	ha		Q	- Cua	rzo				0 - Ó	xi do:	5					
								9	31 E	squist	tosid	dad		F1.	.Fn Fa	ıllas													G - Gr	avas			Α-	Arcil	las			M - Mi	lonit	9			С-	Calci	ta	F-	Felo	lespa	to			

																						FIC	CHA F	PARA	LEV	ANT	AMIE	NTC	GEO	MEC	ÁNIC	0																				—	\neg
ES	TACIÓ	ÓΝ		ES	PACI	ADO	(cm)		s	Jv	cc	NTIN	NUID	AD (m)			ΑI	PERT	URA	(mm	۱)			R. /	Apr				RUG	OSID	AD										REL	LENG	os							Т	П
						se		as	3.5								-		в		ta								<								М	ETEC	ORIZ/	CIÓI	١	F	ILTR.	ACIO	NES	tesi	st. M	artill	o (Ge	eo. Sc	hmid	t	
LANO	UZAMIENTO	NTO	Ext. Juntas	Muy Juntas	Juntas	Moder. Juntas	Separadas	Muy Separadas	Ext. Separadas	Promedio	Final	Muy Baja	Baja	Moderada	Alta	Muy Alta	Muy Cerrada	Cerrada	Parc. Cerrada	Abierta	Moder. Abierta	Ancha	Muy Ancha	Ext. Ancha	Cavernosa	ción	(cm)		ESCALONADA			ONDULADA			PLANA		- Indo	orizada grizada	orizada	teorizada	idual					opu	Q	ente	stente		uro	Indice R	ción
TIPO DE PLANO	DIRECCIÓN DE BUZAMIENTO	BUZAMIENTO	\$	2 - 6	6 - 20	20 - 60	60 - 200	200 - 600	> 600	(m)		41	1 - 3	3 - 10	10 - 20	>20	<0,1	0,1 - 0,25	0,25 - 0,5	0,5 - 2,5	2,5 - 10	>10	10 - 100	100 - 1000	> 1000	Composición	Espesor (cm)	l Rugosa	II Lisa	III Slickensided	l Rugosa	II Lisa	III Slickensided	l Rugosa	II Lisa	III Slickensided	a cel A			8			Húmedo	Goteos	Fluio	_		8	Σ		Σ		Dirección
																												ı	П	Ш	ı	П	Ш	ı	П	Ш			I IV	/ V	VI	_				F	1	2	3	4	5	▙	ш
	12			-																																		_	_	_		-	4		-								
	-			-																																		_				+			-							0	
J1	355	70		х						0						Х		_				Х				A C	1		х							-		_ >	(<u> </u>	+		+	- x		+	J1	. 30	32	2 3	8 32	41	34.60	90
	4	75 68		-																						C			-									_				╁	-		-							3	
	7	70		-														_											.											-		+	-		-								
																																						_				+			+							-	+
	-			-																									-									_		-		╁	-		+								
	300	89		-														_								۸			-											+		+			+							0	
J2	306			X -						0						Х		_				Х				A C	1		х									- >	(<u> </u>	+		+	- x		+	- J2	30	5 48	3 40	0 31	35	38.0	90
	302			-																																		-				+	-		+							(")	
	-			ŀ																									1									-	-			+	-										
	-										164																															+										H	
	-				-						10.									-														-								+											
	191				-																					Α								-								t			\top							80	
J3	183	17			Х					0.1						Х				Х						С	0.1							X				- '	(⊢ ×			J3	3.	2 42	2 39	9 37	34	36.80	90
	180																																																				
	115	44																																																			
	125																																																				
	127	45																								^																										0	
J4	115			х						0						х						х				A C	1								х			>	(х			J4	33	3 26	5 30	6 46	34	5.0	90
																										C																										(")	
	120	58																																																			
TIE	O DE	PLAN	10								tifica				.Jn- J								RELL	ENO								- Are	na				Brech) - Cua	rzo					Óxid						
								5	31 E	squi	istos	idad		F1.	Fn F	allas													G -	Grav	/a s			Α-	Arcil	las			M - M	iloni	ta			С	- Cal	cita	F	- Fel	desp	ato			

Γ																						FI	CHA	PARA	A LEV	/AN1	ΓΑΜΙ	ENT	O GE	OMEC	ÁNIC	0												—									\neg
	STACIÓ	ÓΝ		ES	PAC	IADO	(cm)		S	Jv	CC	IITNC	NUID	DAD	(m)			A	PERT	URA					_	Apr					OSIDA	٩D									R	ELLEI	ios									╗
						3 S		as	as		ĺ						_		В		ta								<								ME	TEOR	IZAC	IÓN		FILT	RACI	ON	ES 1	esist	. Mar	tillo	(Geo.	Schm	idt		
	UZAMIENTO	NTO	Ext. Juntas	Muy Juntas	Juntas	Moder. Juntas	Separadas	Muy Separadas	Ext. Separadas	Promedio	Final	Muy Baja	Baja	Moderada	Alta	Muy Alta	Muy Cerrada	Cerrada	Parc. Cerrada	Abierta	Moder. Abierta	Ancha	Muy Ancha	Ext. Ancha	Cavernosa	ción	(cm)		ESCALONADA			ONDULADA		i	Y Y		orizada	orizada	orizada	teorizada	idual					opu	lo	ente	stente		uro	Indice R	Dirección
	DIRECCIÓN DE BUZAMIENTO	BUZAMIENTO	<2	2 - 6	6 - 20	20 - 60	60 - 200	200 - 600	> 600	(m)		₽	1-3	3 - 10	10 - 20	>20	<0,1	0,1 - 0,25	0,25 - 0,5	0,5 - 2,5	2,5 - 10	>10	10 - 100	100 - 1000	> 1000	Composición	Espesor (cm)	I Rugosa	II Lisa	III Slickensided	l Rugosa	_	≡		III Slickensided	_	Algon	Med. Meteorizada	Muy meteorizada	Con	Suelo Residual	Seco	Húmedo	Goteos		Muy blando		Consistente	Muy		Σ	Indi	Direc
F																												1	П	Ш		11 11	11 1		Ш		П	Ш	IV	۷	۷I			_	_	F	1	2	3	4	5	_	
	300 297														-		-	-							-	-							_	_	_	-	-	-					_	\dashv	4								
	290														-											-							-	_		-							_	-	-								
		88													-		1								1	1										+						-	-	\dashv	\dashv								
	300			х					\equiv	0					×		1			х					1	Α	0.1	x					1	_	+	+		х				-	x	\dashv	\dashv	11	51	48	42	52	50	48.60	90
		86		~											1 ^					- ^					1	С	0.1	1 ^								-	1	1				-	^	\dashv	-	J_	J.	-10		~ `	,	4	50
	300			-											1		1									1							1			+		1				_	-	\dashv	\dashv								
	298														1		1									1										1						_	_	T									
	297																																					Ī						T									
	355																																																				
	10	78																																																			
	15	80																																																			
	13	85		х						0	150				×					x						Α	0.1	х										x					x			12	E1	50	54	10	15	49.60	90
	359	79		^						U] ^] ^						С	0.1	1 ^] ^					^			JZ	31	30	34	40 '	÷5	49	90
		80																																																			
		82																																																			
		85																																											Щ.						Ц		
	182																																																				
	173	9																																																			
	160	7																																			<u> </u>						_	_								0	
	161	15		х						0					X		1			Х					<u> </u>	Α	0.1	Х					4					х				_	х –	4	_	J3	46	46	44	42	41	43.80	90
	167	5																								С																										4	
	168 165																														-																						
	163																									-							-										-	4	\blacksquare								
	103	10						F,) - F	s tra t	tifica	ción		1	In-	Junta	s																						S														
	TIPO DE	PLAN	<u>10</u>								istos					Falla						1	RELI	LENO	!				G	- Grav	as			Δ - Δ	rcillas			М		onita				C - (Calcita	a	F - I	Felde	espate	n	—		\dashv
L				L						44	. 5 . 5 5					u	-									_				0.0							_							`		-			. spat				

8.4.2 Sitio crítico 2

																						FIC	HA P	ARA	LEVA	NTA	MIE	NTO	GEO	MEC	ÁNICO																					
EST	ACIÓ	N		ES	SPAC	IADO	(cm	1)		s	Jv	CC	IITNO	NUID	AD (m)			API	ERTU	RA	(mm))			R. /	pr				RUGO	SIDA	D									R	ELLEI	vos								
						3S		as	3 S								_		e l		ta								⋖								МЕ	TEO	RIZAC	CIÓN		FIL	TRAC	ONE	S	esist.	Mart	illo (Geo. S	chmic	it	
LANO	UZAMIENTO	NTO	Ext. Juntas	Muy Juntas	Juntas	Moder. Juntas	Separadas	Muy Separadas	Ext. Separadas	Promedio	Final	Muy Baja	Baja	Moderada	Alta	Muy Alta	Muy Cerrada	Cerrada	Parc. Cerrada	Abierta	Moder. Abierta	Ancha	Muy Ancha	Ext. Ancha	Cavernosa	ción	(cm)		ESCALONADA		200	S ON COLUMN		42			orizada	orizada	orizada	teorizada	idual					opu	0	ente	stente	, and	Indice R	Dirección
TIPO DE PLANO	DIRECCIÓN DE BUZAMIENTO	BUZAMIENTO	^	2 - 6	6 - 20	20 - 60	60 - 200	200 - 600	> 600	(m)		₽	1 - 3	3 - 10	10 - 20	>20	<0,1	0,1 - 0,25	0,25 - 0,5	0,5 - 2,5	2,5 - 10	>10	10 - 100	100 - 1000	> 1000	Composición	Espesor (cm)	l Rugosa	II Lisa	III Slickensided	l Rugosa	II Clickongidod	III Silcheilsided	- Nugosa	III Slickensided	Sana	Algo meteorizada		Muy meteorizada	కి		Seco	Húmedo	Goteos		Σ			Muy	Mix Duro		Direc
																		_	_										П	Ш	1 1	1 11	1 1			1	П	Ш	I۷	٧	۷I				_	F	1	2	3 4	5		 _'
	310																		_														_										_									
		88																	_											4				_	_			4					-		_							
		90																_	_	_	_							ļ		4		_	-	_	_		-	4					-	_	_							
1 -	_	89																	_	_						Α		ļ		_			-	_	_			4					-		_						80	90
		85		Х						0					Х			_	_	X						A C	0.1	Х		4			-	_	_			Х					Х		_	J1	40	45	49 4	4 4:	1 8	90
	_	84																_	4	_	_							-		4		-	-	_		-		4					_		4							
	310	83																_	4	_	_							-		4		-	-	_		-		4					_		4							
	297	80																_	4	_	_							-		4		-	-	_		-		4					_		4							
		79																_	_											4		_	_	\perp	_			_							4	4	_	_	_		+	4
		75 73																_	-	_	_				_			-		-		-	+	+		-	-	4					_		4							
																			-	_								-		\dashv			+	+		+							_		\dashv							
		70									450								-									-		\dashv			-	+				-					_		\dashv						0	
J2	16 17	66 65		Х						0	150				Х				-	х –						A C	0.1	Х		\dashv			+	+	_			х					х –		-	J2	48	36	42 3	8 3	7 6	90
		67																-	-	_						C		ŀ		\dashv		+	+	+	-		-	-	_				_		-						4	
		70																	-									-		\dashv															\dashv							
		70																	-		-							ŀ	+	\dashv			+	+									F		\dashv							
	200																													\dashv															\dashv							
		18																										ŀ		1													-									
	195																											ŀ		1																						
	_	10																								Α				1																					0	
J3	203	7		Х						0					Х					x -						A C	0.1	Х		1								Х					х –			J3	32	36	35 4	0 39	36.4	90
	207	8																												1																						
	206	9																																																		
	_	10																																																		
								E	o E	strat	ifica	ción		J1.	.Jn- Jı	untas															S -	Aren	a			B - Br	e ch a			Q-	Cuai	ZO.			0	- Óxi	dos					
TIP	O DE	PLAN	10						S1 E	squi	stos	idad		F1	.Fn F	allas						!	RELLE	:NO	f				G -	Grava	as			A - A	rcillas	;		М	- Mil	onita	ļ			C - C	alcita	э	F - F	elde	spato			

																					FIC	CHA P	ARA	LEV.	ANT/	MIE	ΝΤΟ	GEO	MEC	ÁNIC	:0																					
EST	ACIĆ	ÓΝ		ES	PACI	ADO	(cm)		CC	IITNC	NUID	DAD ((m)			Α	PER	TURA	(mr	n)			R. 4	Apr				RUG	OSID	DAD										RE	LLEI	NOS									
						as		as	as						е		ā		ta.								٧									MET	EORI	IZACI	ÓN		FILT	RAC	IONE	S le	sist.	Mart	illo (G	Geo.	Schm	idt		
LANO	UZAMIENTO	NTO	Ext. Juntas	Muy Juntas	Juntas	Moder. Juntas	Separadas	Muy Separadas	Ext. Separadas	Muy Baja	Baja	Moderada	Alta	Muv Alta	Muy Cerrada	Cerrada	Parc. Cerrada	Abierta	Moder. Abierta	Ancha	Muy Ancha	Ext. Ancha	Cavernosa	ción	(cm)		ESCALONADA			ONDULADA			PLANA			orizada	orizada	orizada	teorizada	idual					opu	lo	ente	stente		uro	Indice R	ción
TIPO DE PLANO	DIRECCIÓN DE BUZAMIENTO	BUZAMIENTO	<2	2 - 6	6 - 20	20 - 60	60 - 200	200 - 600	> 600	₽	1 - 3	3 - 10	10 - 20	>20	<0,1	0,1 - 0,25	0,25 - 0,5	0,5 - 2,5	2,5 - 10	>10	10 - 100	100 - 1000	> 1000	Composición	Espesor (cm)	- I Rugosa	= II Lisa	≡ III Slickensided	- I Rugosa		≡ III Slickensided			III Slickensi		= Algo meteorizada	≡ Med. Meteorizada	Muy meteorizada ✓	Co	Suelo Residual	Seco	Húmedo	Goteos		Σ			Muy		Muy Duro	fndi	Dirección
	115	80																								•			•			•						•							Ť			Ť		┪		
	117			-												1		i												-							-			\dashv			1									
		80		-												1		i												-							-			\dashv			1									
-		80		-										1				1												-				T			-			T		-									80	
11	135	76		Х										X		1		Х						С	0.1					Х							Х			\dashv		x –	1	_	J1	49 !	50	50	54 !	51	20.	90
-	137	75		-										1				1												-				T			-			#		-										
H				-										1																-							-			1		-										
	149			F												T		Ī																						T												
		49																																																		
		65																															_																			
		65																															Ī				-			T		-										
	44	55												1				1															[T								20	26		9.	00
J2	55	64			Х									X				Х						C	0.1								X -				Х					x		-	J2	54 :	34	38	36	46	41.	90
	57	75																																																		
	48	68																																																		
	51																																																			
	120	20			х] _x				X						_	0.1								x [х					_x [12	26	45	20	38 3	22	8.	90
J3 -	95	20			Х] ×				X						C	0.1								X -				Х					^			13	מכ	45	28	oo :	52	35	90
	130																																																			
	345	75																																																		
		60																																																	0	
	350					Х								х				Х						С	0.1								Х				Х					х			J4	36	31	46	41 3	36	38.0	90
	15																																																		(1)	
	0	55																																																		
TII	O DI	<u>E</u>					Eo	Estr	atific	cació	n		J1Jn	ı- Jui	ntas						DEII	ENO							S	- Are	ena			В	- Bre	cha			Q - C	uarzo)			0	- Óxi	idos						
P	ANO	<u>)</u>					S1	Esq	uisto	sida	d		F1Fr	n Fal	llas						NELL	LINU					G -	Grav	as			Α-	Arcill	las			М-	Milo	nita				C - C	alcita		F - F	elde:	spate)			

																					FIC	CHA F	PARA	LEV.	ANT	AMIE	NTO	GEO	MEC	ÁNIC	ю																					\neg
EST	ACIÓ	ÓN		ES	PACI	ADO	(cm)		CC	IITNO	NUID	AD (m)			ΑI	PERT	URA	(mm	1)			R. /	۱pr				RUG	OSID	AD										RI	ELLE	NOS	i								
						as		as	as						a		a		ta.								٧									MET	EORI	ZACI	ÓN		FILT	ΓRAC	ION	ES	esist	. Mar	rtillo	(Geo.	Schn	nidt		ıl
LANO	UZAMIENTO	NTO	Ext. Juntas	Muy Juntas	Juntas	Moder. Juntas	Separadas	Muy Separadas	Ext. Separadas	Muy Baja	Baja	Moderada	Alta	Muy Alta	Muy Cerrada	Cerrada	Parc. Cerrada	Abierta	Moder. Abierta	Ancha	Muy Ancha	Ext. Ancha	Cavernosa	ción	(cm)		ESCALONADA			ONDULADA			PLANA			orizada	orizada	orizada	teorizada	idual					ndo	lo	ente	stente		uro	e R	ción
TIPO DE PLANO	DIRECCIÓN DE BUZAMIENTO	BUZAMIENTO	<2	2 - 6	6 - 20	20 - 60	60 - 200	200 - 600	> 600	₽	1 - 3	3 - 10	10 - 20	>20	<0,1	0,1 - 0,25	0,25 - 0,5	0,5 - 2,5	2,5 - 10	>10	10 - 100	100 - 1000	> 1000	Composición	Espesor (cm)		II Lisa	Ξ	l Rugosa		=	l Rugosa		III Slickensided		Algo meteorizada	Med. Meteorizada		Co	Ďς	Seco	Húmedo	Goteos	Flujo	Muy blando			Muy consistente		2	Indice R	Dirección
							_																			ı	Ш	Ш	-	П	Ш	ı	П	Ш	ı	П	111	IV	v '	۷I					F	1	2	3	4	5		
	50				_	F																								-	_						-			-	_	F										
	40 45	75 70			_	-	_																							-							-			+	_	F										
	_	75				F	_																	۸						-	_						-			-	_	F									O	
J1	35 42	75 78				х	_							Х				Χ						A C	0.2					Х							Х			-	_	х			J1	38	36	48	42	43	41.40	90
	40	78 85			_	-	-																	C					_	-	-						-			+	_	F									4	
	41	76			_	F																							_	-	-						-			+	_	F										
	50	78			_	_	_																						\dashv	-							-			-		F										
	315						-																																	+												
	320				_	-	_																						\dashv	-							-			+	_	F										
	335	-			-	F	\dashv																							-					-		-			+	-	F										
	325	85			-	-	_																	Δ						-							-			+	-	F									10	
J2	317				_	X	1							Х					Х					A C	0.5					Х							Х			+	-	Х			J2	45	49	40	30	48	42.40	90
	327	68				F																		Ŭ						-							-			\top	=	F									,	
	320	_				F																								-							-			\top	=	F										
	328				_	F																								ŀ							ŀ			\top	_	F										
	65																																																			
	70																																									İ										
	70	15																																			Ī															
	55	15																																			Ī														0	
J3	70	16				х								х				Х						Α	0.2								х				х					х			J3	35	38	43	44	38	39.60	90
	71	_																						С																											3	
	60	17																																																		
	66	31																																																		
	71	14																																																		
ŢI	PO D	E					Eo	Estr	atific	ca ci ó	n		J1Jn	ı- Jun	ıta s						DELL	- FNC							S	- Are	na			В	- Bred	cha			Q - C	uarz	0				O - Ó	kidos						
	LANC						S1.	- Es q	uisto	osida	a d		F1Fı	n Fal	las						RELL	ENU					G -	Grav	a s			Α-	Arcil	las			М-	Milo	nita				C - 1	Calci	ta	F-	Felde	espat	:0			

TIPO DE PLANO TIPO D	2 2	CALONADA PLANA GAGA GAGA GAGA GAGA GAGA GAGA GAGA	Muy blando gisel Blando Consistente Gonsistente Duro Gonsistente Golding Muy Consistente Golding Muy Duro Golding R
TIPO DE BIN TIPO D		Composición Espesor (cm) I Rugosa II Lisa II Lisa II Lisa II Lisa II Lisa II Lisa III Slickensided I Rugosa III Slickensided I Rugosa III Slickensided I Rugosa III Slickensided I Rugosa Algo meteorizada Muy meteorizada Complet. Meteorizada Suelo Residual Seco Húmedo Goteos Flujo	
TIPO DE BUILDING B BUZAMIE BUZ		Espesor (cr I Rugosa II Lisa III Slickensided I Rugosa III Slickensided I Rugosa III Slickensided I Rugosa III Slickensided I Rugosa III Slickensided I Rugosa III Slickensided I Rugosa III Slickensided I Rugosa Sana Algo meteori Muy meteori Muy meteori Seco Húmedo Goteos Flujo	Muy blando Blando Consistente Muy consistente Duro Muy Duro Indice R
137 75 110 78 115 70 120 65 125 74 127 65 130 72 130 80	0,1 - 0,25 0,25 - 0,5 0,5 - 2,5 2,5 - 10 >10 10 - 100		Muy bla Bland Consiste Muy consi Muy Durc Muy Direc
110 78 115 70 120 65 125 74 127 65 130 72 130 80 128			F 1 2 3 4 5
110 78 115 70 120 65 125 74 127 65 130 72 130 80 120		 	F 1 2 3 4 5
115 70		┩	.
J1 120 65 X X X X X X X X X X X X X X X X X X		┩	.
11 125 74 127 65 130 72 130 80		┩	
127 65 130 72 130 80	 	C 2.5 X X X	J1 32 49 36 35 42 8 90
130 72 130 80		┫	
130 80		 	.
			.
42 75			
40 70			
45 70			
20 88			
J2 20 85 X	x	C 0.1 X X X	J2 54 45 43 41 44 47 90
22 90			
25 88			
28 85			
355 10			
350 9			
360 10			
1 15			
J3 355 15 X X X	x	C 0.1	J3 35 38 43 44 38 8 90 90
4 12			35 35 35 15 11 35 86 36
352 15			
1 12			
356 16			
TIPO DE Eo Estratificación J1Jn- Juntas			O - Óxidos
PLANO S1 Esquistosidad F1Fn Fallas	RELLENO	S - Arena B - Brecha Q - Cuarzo O -	O - ONIGOS

																					FIC	HA F	PARA	LEV	ANT	AMIEI	NTO	GEO	MECA	ÁNIC	0																					\neg
EST	ACIĆ	ЙN		ES	PACI	ADO	(cm)		co	IITN	NUIDA	AD (ı	m)			Α	PERT	URA	(mm	1)			R. /	٩pr				RUG	OSID	AD										RE	LEN	os									
	NTO		Ext. Juntas	Muy Juntas	Juntas	Moder. Juntas	Separadas	Muy Separadas	Ext. Separadas	Muy Baja	Baja	Moderada	Alta	Muy Alta	Muy Cerrada	Cerrada	Parc. Cerrada	Abierta	Moder. Abierta	Ancha	Muy Ancha	Ext. Ancha	Cavernosa				ESCALONADA			ONDULADA			PLANA	-		MET	EORI	ZACIO		1	FILTI	ACIO	ONE	S tes	ist.	Marti	illo (G	Geo. S	Schmi	idt		
PLANO	BUZAMIE	ENTO	Ext.	Muy	חר	Mode	Sep	Muy Se	Ext. Se	W		Moc	,	Mu	Muy	ē	Parc.	Ab	Moder	Αı	Muy	Ext.	Cave	sición	(cm)		- 1			T					ē	eorizada	eorizada	eorizada	eteorizac	isidudi	<u>.</u>	2 .	,	9	on la	ор	tente	sistente	و	Ouro	Indice R	Dirección
TIPO DE PLANO	DIRECCIÓN DE BUZAMIENTO	BUZAMIENTO	<2	2 - 6	6 - 20	20 - 60	60 - 200	200 - 600	> 600	₽	1-3	3 - 10	10 - 20	>20	<0,1	0,1 - 0,25	0,25 - 0,5	0,5 - 2,5	2,5 - 10	>10	10 - 100	100 - 1000	> 1000	Composición	Espesor (cm)	l Rugosa	II Lisa	III Slickensided	l Rugosa	II Lisa	III Slickensided	l Rugosa	II Lisa	III Slickensided	Sana	Algo meteorizada	Med. Meteorizada	Muy meteorizada	5	anc	Second Second	Openinii O	o ance	Flujo		Blando	Consistente	Muy consistente	Duro	Muy Duro	puJ	Dire
																										ı	Ш	Ш	1	Ш	Ш	1	П	Ш	1	Ш	Ш	IV	v v	1				ı	=	1	2 :	3	4 :	5		
	115																														_		_	_			L			_	_			_								
	122				L		_																								_		_				L			-	_			_								
		-			_		_																								-		_	+			F			-	4	_	_	_							0	
J1	123	90			х		-							Х				Х						A C	0.5						\dashv		х				х			+	- :	(J	1 4	45 4	14 3	38	49 4	16	44.40	
	_	-			_	_	_																	C							-		_	+			F		_	-	=	_	_								4	
					_		-		-																			-	-		+		_	+			F	_		+	-	_	_									
	131					_	_		-																			-	+		\dashv			+			-			+	-	-	-	-								
	355						_																								+			-						+	+		\dashv				+			_		
	350			-																	-								_		+		-	+			-	-		+	-	_	_									
				-																	-							-			\dashv		_	+			-			+	=			_								
	3	40		_			_																	Α				_			_		-	+			F			+	=		\dashv								50	
J2	335			Х										Х							Х			A C	10						1		х –	+			Х			+	- :	(1	2	24 2	28 3	39 3	32 3	38	32.20	
	345			-																				ŭ							1			7			-			\top	=										,	
•		10		_																											1		-	7			F			\top	1		1									
		-		-																														7			F				7											
	85																																										T		1							
	93																																																			
	82	90																																																		
	70	90																																																	0	
J3	67	85				х								Х				Х						A C	0.5					Х							х				7	(J	3	35 3	38 5	53	39 4	18	42.60	
	15	90																						C																											4	
	68																																																			
	67	80																																																		
	PO DI						Eo	Estra	atific	cació	n	J	1Jn	- Jun	tas						RELLI	ENO								- Are	na			В-	- Bred	cha			Q - Cı	ıarzo					Óxi	dos						
<u> </u>	LANO	<u>)</u>					S1	Esq	uisto	osida	d	F	1Fr	n Fall	as												G -	Grav	as			Α-	Arcill	as			М-	Milor	nita			(C - Ca	alcita		F - Fe	eldes	pato)			

																					FIC	CHA F	PARA	LEV	ANT	AMIE	NTO	GEC	МЕС	ÁNIC	0																					\Box
ES	TACIÓ	ÓN		ES	PACI	ADO	(cm)			со	IITN	NUIDA	4D (ı	m)			Α	PERT	TURA	(mn	n)			R. /	Apr				RUG	SOSII	DAD										RE	LLE	NOS									
			sı	3S		tas	s	das	das	-		а			da		da		erta		e	а	а				DA			₹						MET	EORI	IZACI	ÓN		FILT	RACI	IONI	ES R	esist	. Mar	rtillo	(Geo	. Schr	nidt		
LANO	UZAMIENTO	INTO	Ext. Juntas	Muy Juntas	Juntas	Moder. Juntas	Separadas	Muy Separadas	Ext. Separadas	Muy Baja	Baja	Moderada	Alta	Muy Alta	Muy Cerrada	Cerrada	Parc. Cerrada	Abierta	Moder. Abierta	Ancha	Muy Ancha	Ext. Ancha	Cavernosa	ición	(cm)		ESCALONADA			ONDULADA			PLANA			orizada	orizada	orizada	teorizada	sidual					opue	9	ente	stente	0	uro	Indice R	ción
TIPO DE PLANO	DIRECCIÓN DE BUZAMIENTO	BUZAMIENTO	<2	2 - 6	6 - 20	20 - 60	60 - 200	200 - 600	> 600	<1	1 - 3	3 - 10	10 - 20	>20	<0,1	0,1 - 0,25	0,25 - 0,5	0,5 - 2,5	2,5 - 10	>10	10 - 100	100 - 1000	> 1000	Composición	Espesor (cm)	l Rugosa	II Lisa	III Slickensided	l Rugosa	II Lisa	III Slickensided	l Rugosa	II Lisa	III Slickensided	Sana	Algo meteorizada	Med. Meteorizada		Co	Suc	Seco	Húmedo	Goteos		Muy blando		Consistente	Muy consistente	Duro	Muy Duro	fudi	Dirección
																										1	П	Ш	-	Ш	Ш	ı	Ш	Ш	_	Ш	Ш	IV	۷ '	VI					F	1	2	3	4	5		
	120																																																			
		55																-																						_		_	_									
14	_	56		,														.,						_	0.3															_		Ţ			11	44	20	45	40	22	40.00	00
J1	134	57		Х										Х				Х						C	0.2		Х										Х			-		X _	_		JI	44	30	45	48	33	40	90
	125 117	60 54					_	_	_									-																					-	+		F	_									
	128	58																-																			-			+		F	_									
	22	60																																																	-	
	25	76			F													1																						+		F	_									
	20	73			-																																					F									9	
J2	22	74			Х									Х				Х						С	0.2		Х										Х					x	_		J2	44	35	35	38	36	37.	90
	17	90			F																																					-										
	21	80			Ī													1																																		
	253	27																																																		
	257	30																																																		
12	251	28			x									х				х						_	0.2		Х										х					х			12	11	11	16	42	11	43.40	90
J3	252	24			^ [^] ^						C	0.2		^										^					^ [12	44	41	40	42	44	43	90
	248	24																																																		
		26																																																		
		36																																																		
	-	39																																								L										
J4	354	35				x -								х				x						C	0.2		x										х					_x L			14	60	61	42	39	52	3.80	90
	357	33				<u> </u>																		Ü	0.2																	Ĺ			J		01	12	33		5(
	-	35					4																																			L										
	IPO D						Eo							- Jun							RELL	ENO								S - Ar	ena				- Bre	cha				uarzo)					ki dos						4
<u> </u>	PLANC		<u> </u>				S1	Esqu	uisto	sida	d	F	1Fr	n Fall	las												G	- Gra	vas			Α.	- Arcil	llas			M -	Milo	nita				C - C	Calcit	a	F -	Feld	espa	to			

										_									_	FIC	HA P	ARA	LEV	NTA	MIEN	NTO	GEO	MEC	ÁNICO																					1
ES	TACIÓ	ÓN		ES	PACIA	ADO (cm)		C	CONT	TINL	JIDAD	(m)			Α	PERT	TURA	(mm	۱)			R. A	pr				RUG	OSIDA	٩D									RE	LLEN	NOS									1
						se	Se		: [_		а		ta								٧								ME	TEOF	IZAC	IÓN		FILT	RACI	IONE	S te	sist.	Mart	illo (C	Geo. S	chmi	dt		ľ
LANO	UZAMIENTO	NTO	Ext. Juntas	Muy Juntas	Juntas	Moder. Juntas	Separadas Muv Separadas	Fxt Senaradas	Muv Baia	Rais	paja	Moderada	Mily Alta	Muy Cerrada	Cerrada	Parc. Cerrada	Abierta	Moder. Abierta	Ancha	Muy Ancha	Ext. Ancha	Cavernosa	ción	(cm)		ESCALONADA			ONDULADA		4	LANA		orizada	orizada	orizada	teorizada	idual					opu	<u>o</u>	ente	stente		2 2	ción	
TIPO DE PLANO	DIRECCIÓN DE BUZAMIENTO	BUZAMIENTO	<2	2 - 6	6 - 20	20 - 60	500 - 600	> 600	<1	1.3	6-1	3 - 10	>20	<0,1	0,1 - 0,25	0,25 - 0,5	0,5 - 2,5	2,5 - 10	>10	10 - 100	100 - 1000	> 1000	Composición	Espesor (cm)		II Lisa	Ξ			≡	l Rugosa	=	_	Algo meteorizada		Muy meteorizada	Com	Suc	Seco	Hümedo	Goteos		Σ			Muy	Duro		Dirección	
																									ı	Ш	Ш	1	П	Ш	1 1	1 11		Ш	Ш	IV	٧	۷I					F	1	2	3 4	4 5	+	+	-
	115 114	64		-				+	+		-			-	-	-						_		ŀ						_		-						+		-	_									4
	113	62		-		-	-	+	+			-		-	+		-							ŀ					-	+		-	+-		-		-	+		-								ç	2	4
J1	110	58		Х									_ ×	(Х						В	0.1		Х						+			Х				- 1	x -		┥,	J1	31	29	30 3	1 3	9 6	90)
	118	62		-				+	+		-				+	1						=		ŀ		ŀ				+		+						+		-	+									
	111	59		-										-										ŀ						+								+		_										4
	25	75																																												+				i
	20	67												-										ŀ						-																				
	10	68			_			\top								1														1		\top								_								5	3	
J2	16	72			х –			\top					_ ×	(1		Х					В	0.5		Х				1		\top			Х				-	x –			J2	33	31 2	28 3	8 4	0 5	90)
	2	75			_																									1																				
	1	75			_																									1																				
		30																																																
	215	30																																																
	225	30			,,									,				,,						ا ۔		, l														Ü					26	22 2		5	90	
J3	225	29			Х								×	`				Х					В	0.5		Х									Х					x			J3	41	36 3	33 3	5 4	ן נ	n 90	,
	223	33																																																
	225	32																																																
	345	33																																																
	347	32																																																
	346	35																																																
J4	345	34				х							Х	<u> </u>			х						В	0.1		Х									Х					x			J4	-	-	- -	- -		90)
		30																																																
	339	31																																																
	IPO D						Eo Es	trati	ficaci	ión		J1	Jn- Ju	untas						RELLE	ENO	ļ							- Arer	na			B - Br	echa				uarzo)				- Óxi							1
	PLANC	2					S1 E	quis	tosio	dad		F1	.Fn Fa	allas						···						G -	Grav	as			A - A	rcilla	S		М	- Mil	onita				C - C	alcita	1	F - F	eldes	spato				1

																					FIC	HA P	ARA	LEV/	ANTA	MIEN	OT0	GEO	MEC/	ÁNICO)																				ŀ
ESTA	ACIÓ	ÓΝ		ES	PAC	IADO	(cm	1)		CC	IITNC	NUID	AD (m)			ΑI	PERT	URA	(mm)			R. A	\pr				RUG	OSIDA	\D										RELLE	NOS									
						3.5		as	as						9		в		ţa								V								М	ETEO	RIZA	CIÓN		FI	TRAC	CION	ES	esist	. Mar	tillo (Geo.	Schm	idt		, ,
LANO	UZAMIENTO	NTO	Ext. Juntas	Muy Juntas	Juntas	Moder. Juntas	Separadas	Muy Separadas	Ext. Separadas	Muy Baja	Baja	Moderada	Alta	Muy Alta	Muy Cerrada	Cerrada	Parc. Cerrada	Abierta	Moder. Abierta	Ancha	Muy Ancha	Ext. Ancha	Cavernosa	ción	(cm)		ESCALONADA			ONDULADA		4	PLANA		orizada	orizada	orizada	teorizada	idual					opu	lo	ente	stente		uro	Se R	ción
TIPO DE PLANO	DIRECCIÓN DE BUZAMIENTO	BUZAMIENTO	<2	2 - 6	6 - 20	20 - 60	60 - 200	200 - 600	> 600	7	1 - 3	3 - 10	10 - 20	>20	<0,1	0,1 - 0,25	0,25 - 0,5	0,5 - 2,5	2,5 - 10	>10	10 - 100	100 - 1000	> 1000	Composición	Espesor (cm)		_	≡			■		II LISa	_	Algon			కి		Seco	Húmedo	Goteos	Flujo	Muy blando			Muy		2	Indice R	Dirección
																										ı	II	Ш	!	П	Ш		11 11			111	IV	' V	VI					F	1	2	3	4	5		
	357																-								ŀ	-	_	_	_			_	-	+	_	4		-	-												
_	355										1						-								ŀ		+	-	-		_	H		+	-	_	_	-													
_	348																								-		-	-	-					-	-	_		_	1												
_	_	15			.,						1		.,				Ţ,								0.1		+	-	-		_	.,		+	-	┨.,	_	-			.			14	28	20	27	24	24	27.20	00
—	_	31 24			Х								Х				Х							Α	0.1		_	-			-	х		-	-	X		-			Х			JI	28	29	21	21 .	31	27	90
<u> </u>	_	36															ŀ								ŀ		+	-			-	H		╬	-	_		-													
_	_	30															ŀ								ŀ		+	-			-	H		╬	-	_		-													
_		31															ŀ								ŀ		+	-			-	H		╬	-	_		-													
	116																																																		
	118																-								-		-					-		+	-			-													
_	_	60															-								-		-					-		+	-			-													
-		63																											\dashv					+					+											000	
					Х								Х				Х							Α	0.1				\dashv			х —		+		_ x			+		Х			J2	40	44	42	44	34	40.80	90
_	_	63															-								ŀ					-		-		+	-			+												7	
-	_	_															-								-		-	+	\dashv																						
	119																												\dashv																						
	5																											+	\dashv																						
_	13	_																	-									+	\dashv																						
_	_	82																	-									+	\dashv																						
_	_	77																										+	\dashv																					90	
13	11					Х							Х						Х					Α	1		1	+	\dashv			- :	x -			- x			\vdash		Х			J3	28	24	27	28	31	27.(90
_	_	78																										+	\dashv																						
		84																										+	\dashv																						
_	_	80																	-									+	\dashv																						
	O DE						Fo -	- Estr	atific	cació	'n		J1Jn	n- Jun	tas														S	- Arer	na .			B - F	Brecha	1		0	- Cua	r70			() - Ós	idos						
	ANO							- Esq						n Fall							RELLE	<u>NO</u>	ŀ				G	Grava		,		Λ - Λ	Arcilla				1 - N/i	ilonit		0			Calcit			elde	snati	n			

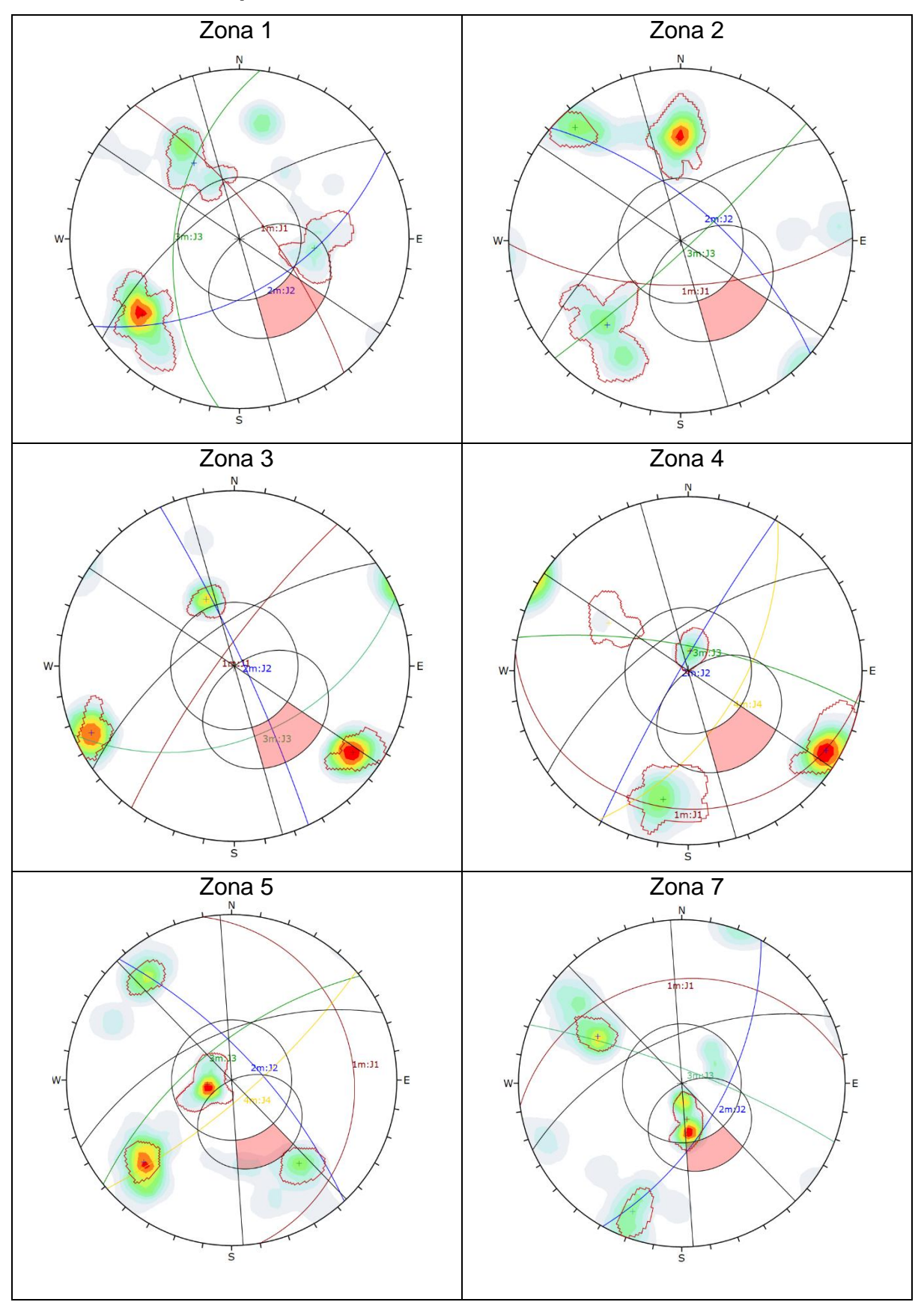
TIPO DE PLANO DIRECCIÓN DE BUZAMIENTO BUZAMIENTO 14 78 23 72	<2 Ext. Juntas	Muy Juntas Juntas	2	60 - 200 Separadas (3) (3) (2) (4) (4) (5) (5) (6) (7) (7) (7) (7) (7) (7) (7) (7) (7) (7			Baja	3 - 10 Moderada GD DD	Muy Alta	<0,1 Muy Cerrada		Parc. Cerrada	Abierta	Σ	Ancha	Muy Ancha Ext. Ancha		Composición	sor (cm)		ESCALONADA			ONDOLADA		PLANA					Complet. Meteorizada Z		FIL	TRAC	IONE			Consistente	Muy consistente		Muy Duro	Indice R	Dirección
14 78 23 72	<2 2 - 6																	posición	sor (cm)				4	ONDULADA		PLANA																	ección
14 78 23 72	<2 2 - 6																	posición	sor (cm)				1	ONDULADA		PLANA		- Indiana	orizada	orizada	eteorizada	esidual	0	qo	so	0	olando	ando Istente	nsistente	uro	y Duro	ndice R	.ección
14 78 23 72	\$ 2	6 - 20	20 - 60	60 - 200	> 600	7	1 - 3	3 - 10	>20	<0,1	0,1 - 0,25	25 - 0,5	- 2,5	10				posi	sor												à	S I	ا ہ ا	용	S	⊱اہ	<u> </u>	and last	ısı	Į	Ā	gi	ě
23 72						<u> </u>						0,2	0,5	2,5 - 10	01.4	100 - 1000	> 1000	Com	Espe		_	=		II LISa III Slickensided			III Slickensi		Med. Meteorizada				Seco	Húmedo	Goteos								Dir
23 72																				-	II I	Ш	1 1	11 111		П	Ш	1 1	1 11	I IV	V	VI				- 1	F	1 2	3	4	5	_	
				_					-				-	_	_	_					_			_			_	_			-			-	-								
		-		_			-		-				F	-	_				-		_			_			_	_		-				F									
4 82									-				F								_	_												-									
358 84	Н,	, —							-				, L					Α	0.1		, –	_												,		┥.		,] ,	4 35	20	24	30.60	00
J1 17 76	⊢ ′	×						x	-				Х		-			A C	0.1		х						-		X	·				Х		¹	1 3	52 34	4 35	28	24	30	90
13 79 359 83		-											F		_	_					_			_			-	_		-				F									
359 83 21 73				_									F		+						_						-			-				F									
18 78													F		-				-		_			_			-							-	-								
123 75																																											
111 79	-												F																					-									
111 79	-												F																					-									
114 83	-												F					_	-															-								9	
J2 110 82 110 80	x —							x	-				x					A C	0.1		x –	-						_	x	:				х		J	2 2	8 3	2 34	30	33	31.40	90
112 78	-								-				F								_	-						_		-				F								(1)	
120 76			\vdash				1												-								+							-									
112 76													-		+				-		-						+							-									
217 59																																											
190 53																																		-									
184 50																																		-									
210 33													-					Δ	-															-								20	
J3 193 49		_ x						x					Х					A C	0.1		x -								x					Х		J	3 2	28 2	5 29	28	28	27.6	90
192 50																																		-								,,,	
211 33													-						-															-									
190 54																			-															-									
TIPO DE				Eo Est	ratifi	caciór	1	J1 I	n- Jun	tas													S -	Arena			В -	Brech	a		C	- Cuar	70			0	- Óxi c	los					
PLANO	-			S1 Es					n Fall						<u>R</u>	ELLENC	<u>)</u>				G - 0	Grava			A	- Arcill				A - Mi	ilonita				C - C	alcita			ldespa	ato			

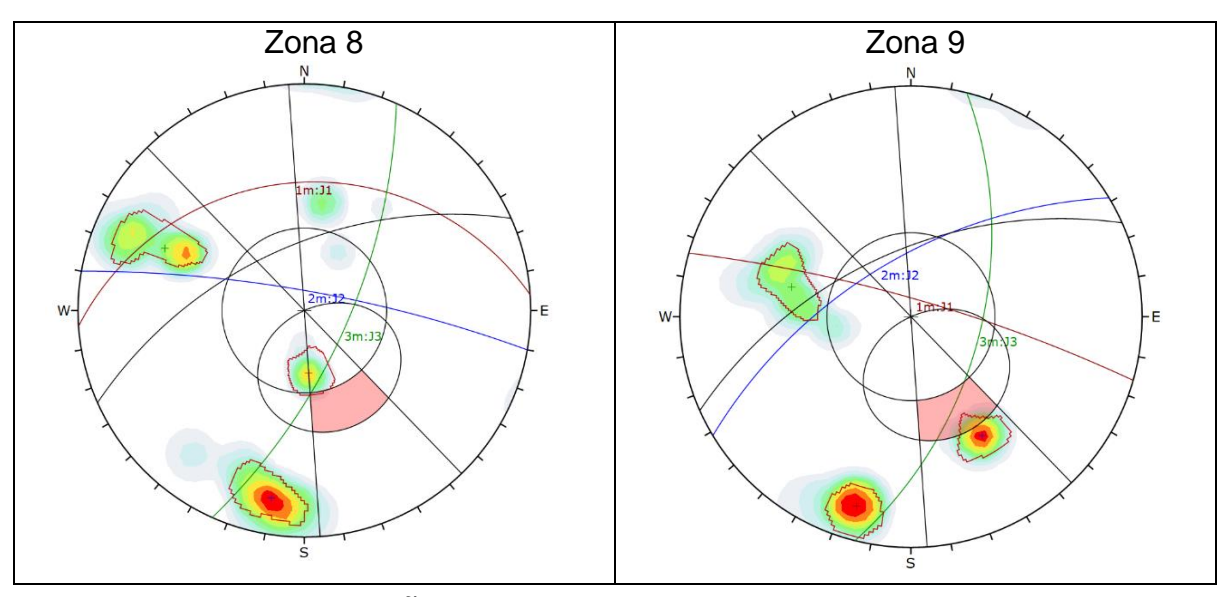
			_									_									FIC	HA F	PARA	LEV	ANT	AMIE	NTO	GEO	MEC	ÁNIC	0																				\neg
ES	TACIO	ÓN		ES	SPAC	IADO	(cm)		CC	IITNO	NUID	AD (m)			ΑI	PERT	URA	(mr	1)			R. /	٩pr				RUG	OSID	AD										RELL	ENO	S								\Box
						15		as	3 S						_		а		ta								٧								N	1ETE	ORIZ	ACIÓ	N	F	ILTRA	CIO	NES	lesist	. Mai	rtillo	(Geo	. Schr	midt		1 1
LANO	UZAMIENTO	NTO	Ext. Juntas	Muy Juntas	Juntas	Moder. Juntas	Separadas	Muy Separadas	Ext. Separadas	Muy Baja	Baja	Moderada	Alta	Muy Alta	Muy Cerrada	Cerrada	Parc. Cerrada	Abierta	Moder. Abierta	Ancha	Muy Ancha	Ext. Ancha	Cavernosa	ción	(cm)		ESCALONADA			ONDULADA			PLANA			orizada	orizada	orizada	idual					opu	lo	ente	stente		uro	Se R	ción
TIPO DE PLANO	DIRECCIÓN DE BUZAMIENTO	BUZAMIENTO	<2	2 - 6	6 - 20	20 - 60	60 - 200	200 - 600	> 600	4	1-3	3 - 10	10 - 20	>20	<0,1	0,1 - 0,25	0,25 - 0,5	0,5 - 2,5	2,5 - 10	>10	10 - 100	100 - 1000	> 1000	Composición	Espesor (cm)	l Rugosa	II Lisa	Ξ	l Rugosa		=		:	III Slickensi				Muy meteorizada			Húmedo	Goteos	Flujo	Muy blando	Blando	Consistente	2		2	Indice R	Dirección
																										_	П	Ш	1	Ш	Ш	1	II I	Ш	ı	11 1	111 1	ı۷ ۱	/ V					F	1	2	3	4	5		
		56																											_		-					_				-	4										
	325 323																														-			-	-						4										
	323																														_				_		_				=										
	-																														_				_		_				=										
	330 329	-																						۸							\dashv			-	-					+	-									0	
J1	332	_			Χ									Х					Х					A C	0.5		Χ		-		- 			+	_	- 2	x -				- X			J1	24	32	38	36	36	33.20	90
	335																							C										-			_		-	+	-									(1)	
	335	_																													- 			+	_						-										
	329																														_			-			_		-	+	-										
	330	-																																-						+											
	330	-																													\dashv			+	_		H				-										
	110																																																		
	97	-																													1			1	=						1										
	-	-																													1			1	=						1										
	87	-																													1																				
	75	_																													1			1																	
	92	-																													1																			0	
J2	-				Х									Х				х						Α	0.2		Х				T					х					Х			J2	20	36	26	40	38	2.0	90
	100	-																						С							T			T																m	
	85	-																													T			T																	
	87	58																																																	
	96	-																																																	
	97	_																																																	
	96	-																																																	
I	IPO D)E					Eo.	Estr	atifi	ca ci ó	n		1Jn	- Jun	tas						DEI:	- NC							S	- Are	na			В-	Brech	na		(Q - Cu	arzo				0 - Ó	xidos						
	PLANC						S1.	- Es q	uisto	osida	a d	F	1Fr	n Fall	las						RELL	<u>ENO</u>					G -	Grav	/a s			Α-	Arcill	as			M - I	Milon	ita			С-	Calci	ita	F-	Feld	espa	to			

																					FIC	HA F	ARA	LEV	ANT	AMIE	NTO	GEO	MEC	ÁNIC	0																			_		\neg
ES"	TACIO	ÓN		ES	PAC	IADO	(cm)		co	IITN	NUID	AD (m)			ΑI	PERT	URA	(mm	1)			R. /	٩pr				RUG	OSID	AD										R	ELLE	NOS	;								
						3.5		as	as						9		а		ta								٧			_						MET	EORI	ZACI	ÓN		FIL	TRAC	CION	ES	esist	. Ma	rtillo	(Geo.	Schr	nidt	l	
LANO	UZAMIENTO	NTO	Ext. Juntas	Muy Juntas	Juntas	Moder. Juntas	Separadas	Muy Separadas	Ext. Separadas	Muy Baja	Baja	Moderada	Alta	Muy Alta	Muy Cerrada	Cerrada	Parc. Cerrada	Abierta	Moder. Abierta	Ancha	Muy Ancha	Ext. Ancha	Cavernosa	ción	(cm)		ESCALONADA			ONDULADA			PLANA			orizada	orizada	orizada	teorizada	idual					opu	0	ente	stente		uro	Se R	ción
TIPO DE PLANO	DIRECCIÓN DE BUZAMIENTO	BUZAMIENTO	<2	2 - 6	6 - 20	20 - 60	60 - 200	200 - 600	> 600	7	1 - 3	3 - 10	10 - 20	>20	<0,1	0,1 - 0,25	0,25 - 0,5	0,5 - 2,5	2,5 - 10	>10	10 - 100	100 - 1000	> 1000	Composición	Espesor (cm)	l Rugosa	II Lisa	=	l Rugosa		=	l Rugosa		III Slickensided					Con	Suc	Seco	Húmedo	Goteos	Flujo	Muy blando	Blando	Consistente	Muy consistente		Muy Duro	Indice R	Dirección
							_																			-	Ш	Ш	1	П	Ш	1	П	Ш	1	П	Ш	IV	۷ '	۷I					F	1	2	3	4	5	—	Ш
	15	_																													_			_			L			4		-									1	
	17					ļ																						_						_			-			4		-									1	
	-					-	_																								_	_		_	_	_	F	_	_	4		-									1	
	14	_				ļ																						_						_			-			4		-									1	
	14					-	_																								_	_		_	_	_	F	_	_	4		-									1	
														١										Α	٥.						_			_						_					١.,		2.4	20	20		31.20	
J1		_				Х								Х					Х					С	0.5		Х	_				_		-			Х	_		4		Х			J1	32	34	28	28	34	31.	Х
						-	_							-																	_					_	F			+		-									1	
	30	-				-																								-	-	-		-	-	_	-		_	+		-									1	
	23					-																								-	-	-		-	-	_	-		_	+		-									1	
	-						_							-																	-			-		_	-			-		-									1	
	17 18						_							-																	_						F			+		-									1	
	100																																																		\vdash	
	105																														\dashv						-			\dashv		-										
	103					-																								-	\dashv			-			-		+	+		-										
	100																													-	\dashv			-		\dashv	-			+		-										
	122	-																																						\dashv		-										
	105	-																						Α							\dashv						-			\dashv		-									9	
J2	118	_				Х								Х				Х						C	0.20						\dashv		х				х			\dashv		Х			J2	26	32	34	30	30	30.40	Х
	122	_																						Č						1	\dashv			1	1		ŀ			+												
	115	_																													1			Ħ		\dashv	ŀ			1												
	110	-																																			ŀ			_												
	111	_																													1						ŀ			_												
	112																														1						ŀ			_												
т	IPO D						Eo	Estr	atific	cació	n		J1Jn	ı- Jun	tas														S	- Are	na			В	- Bred	cha			Q - C	uarz	:0				0 - Ó	xidos						
	PLANC									osida				n Fal							RELL	ENO					G -	Grav				Α -	Arcil				М -	Milo					C -	Calci				espat	to			

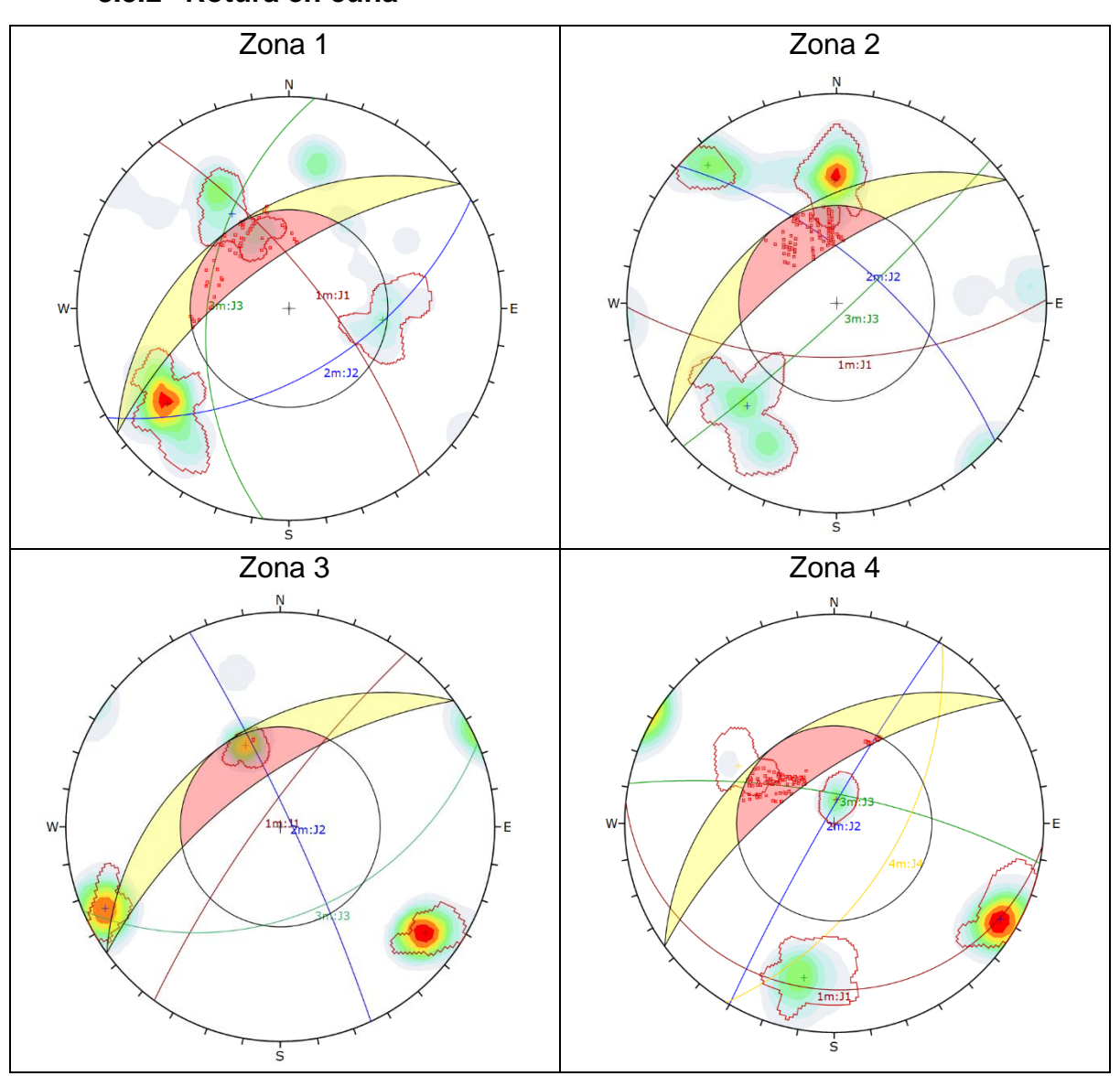
8.5 Estereogramas de tipos de roturas

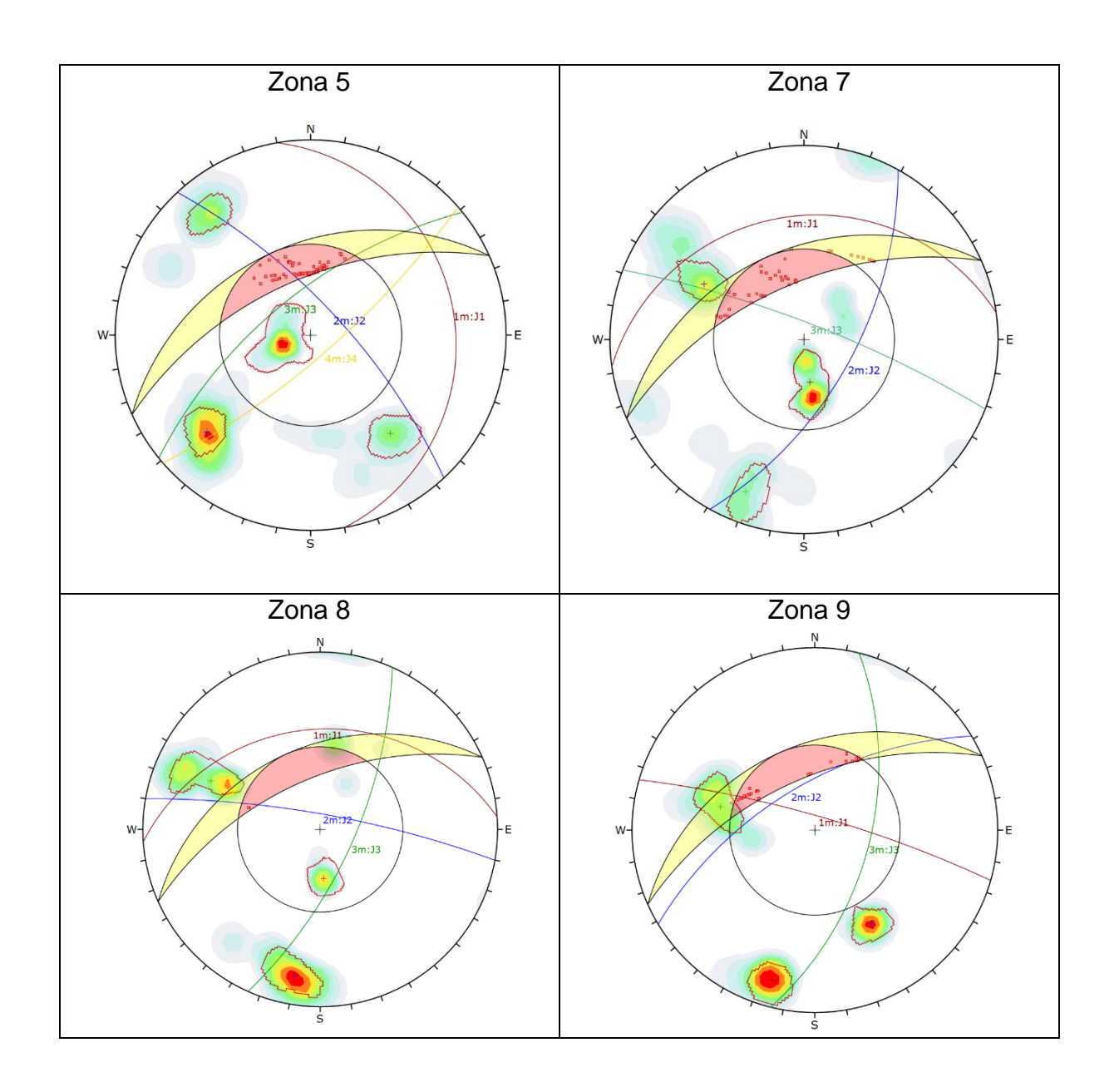
8.5.1 Rotura planar



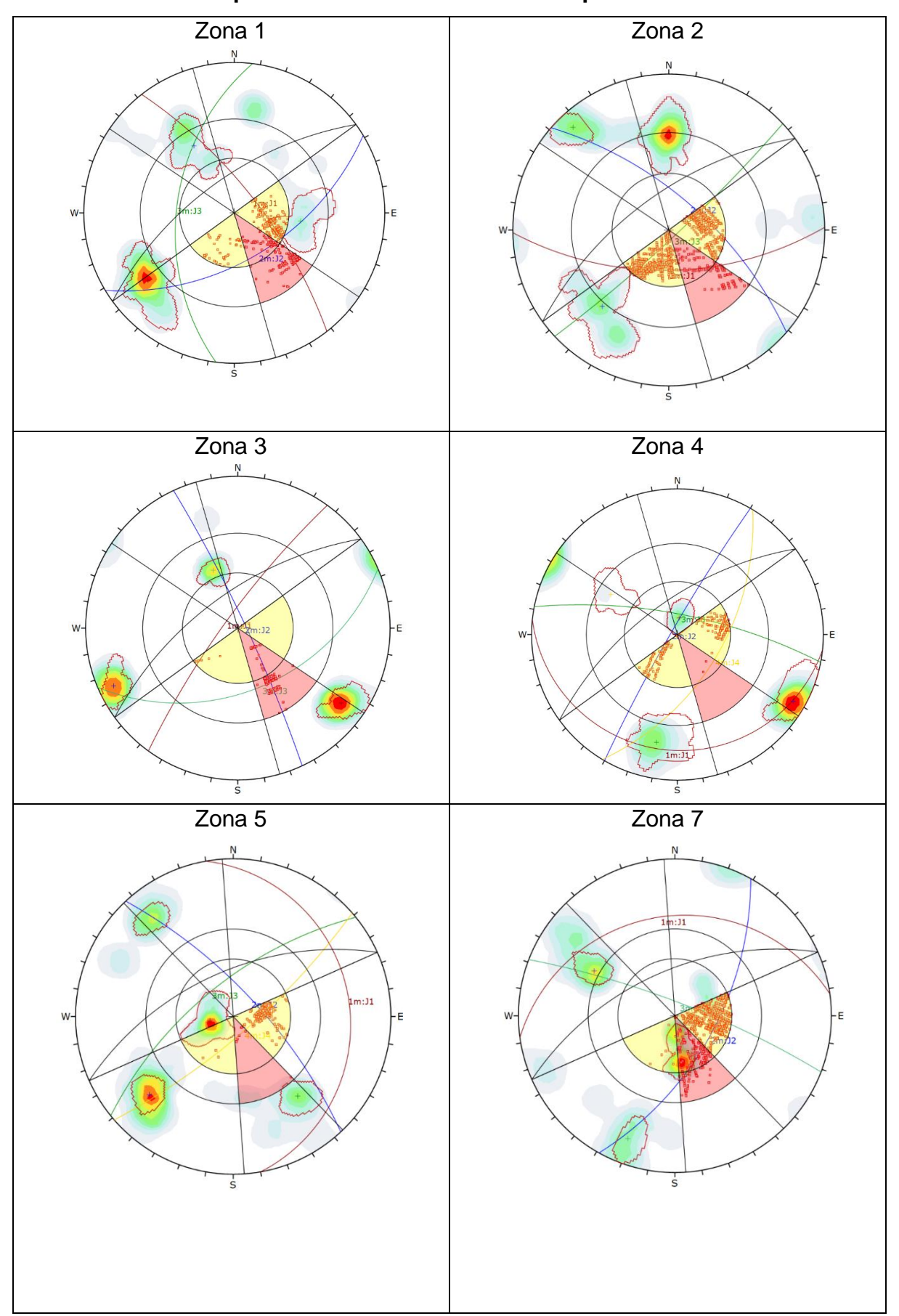


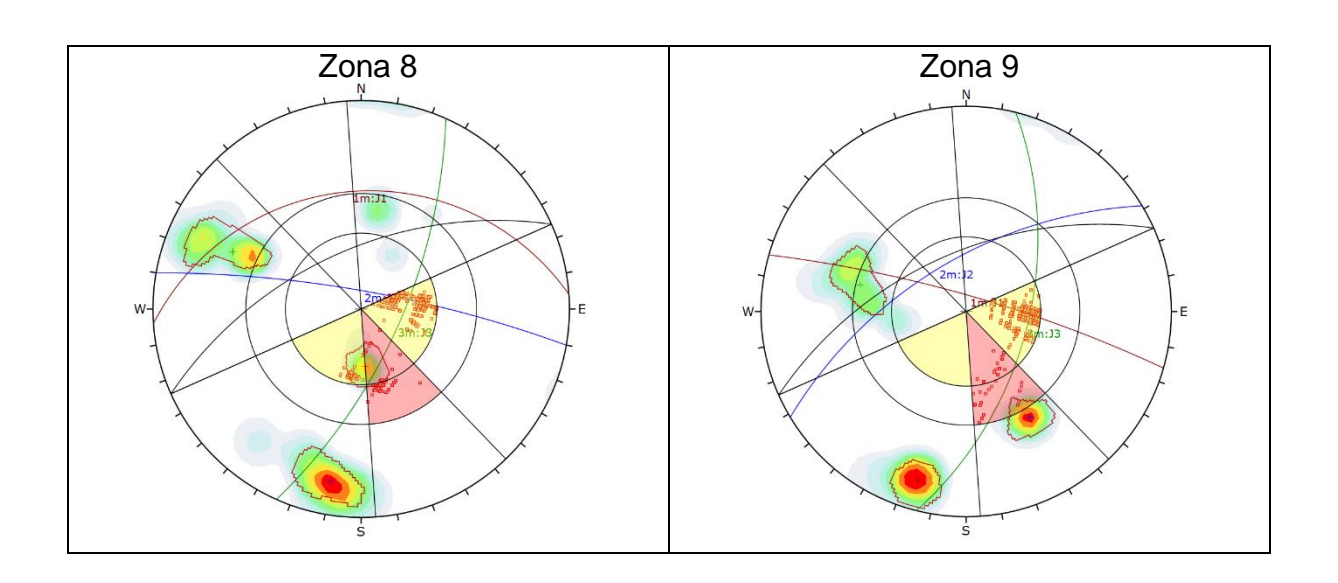
8.5.2 Rotura en cuña





8.5.3 Rotura por volcamiento o caída de bloques





8.6 Perfiles Geológicos - Geotécnicos

8.6.1 Perfil A' - A

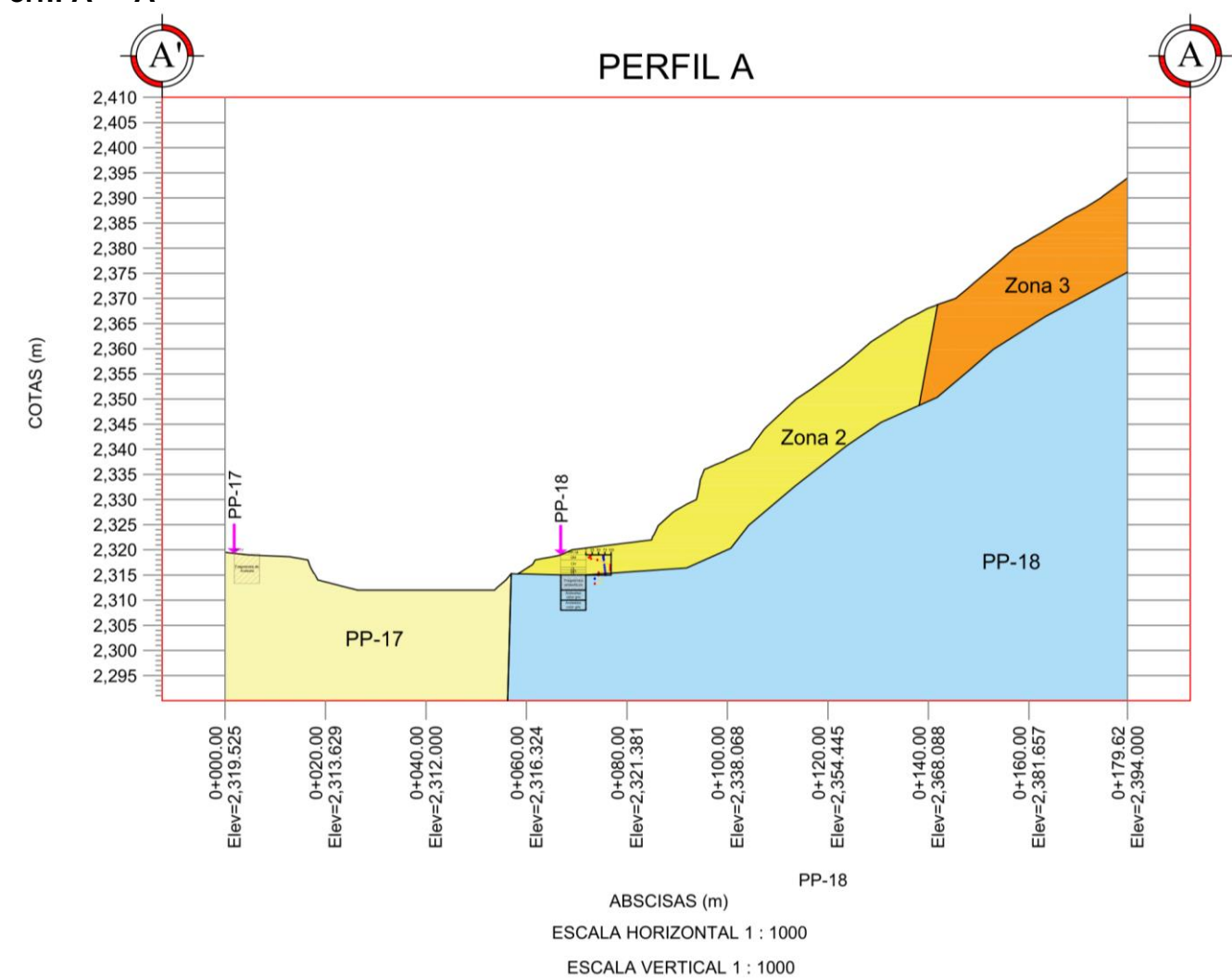


Figura 8.4 Perfil A' – A

8.6.2 Perfil B' - B PERFIL B 2,465 2,460 2,455 2,450 2,445 2,440 2,435 2,430 2,425 2,420 2,415 2,410 Zona 5 Zona 6 2,405 2,400 2,395 2,390 2,385 2,380 2,375 2,370 2,365 2,360 2,355 2,350 2,345 2,340 2,335 2,330 2,325 2,320 2,315 2,310 2,305 PP-18 Zona 4 PP-18 0+000.00 Elev=2,321.230 0+080.00 Elev=2,389.390 0+100.00 Elev=2,416.709 0+140.00 Elev=2,448.672 0+020.00 Elev=2,322.000 0+040.00 Elev=2,335.712 0+120.00 Elev=2,432.596

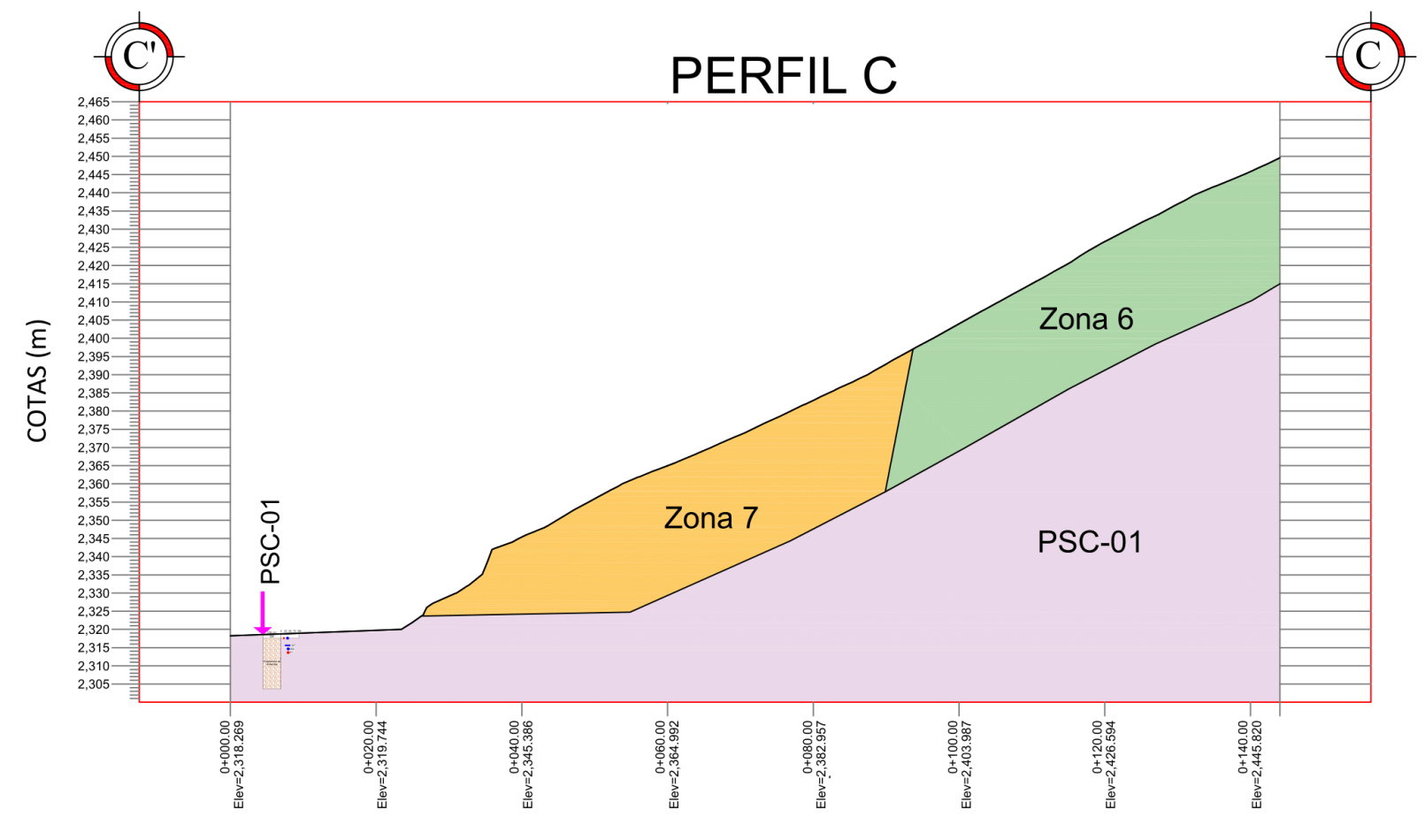
ABSCISAS (m)

ESCALA HORIZONTAL 1 : 1000

ESCALA VERTICAL 1 : 500

Figura 8.5 Perfil B' - B 171

8.6.3 Perfil C' - C



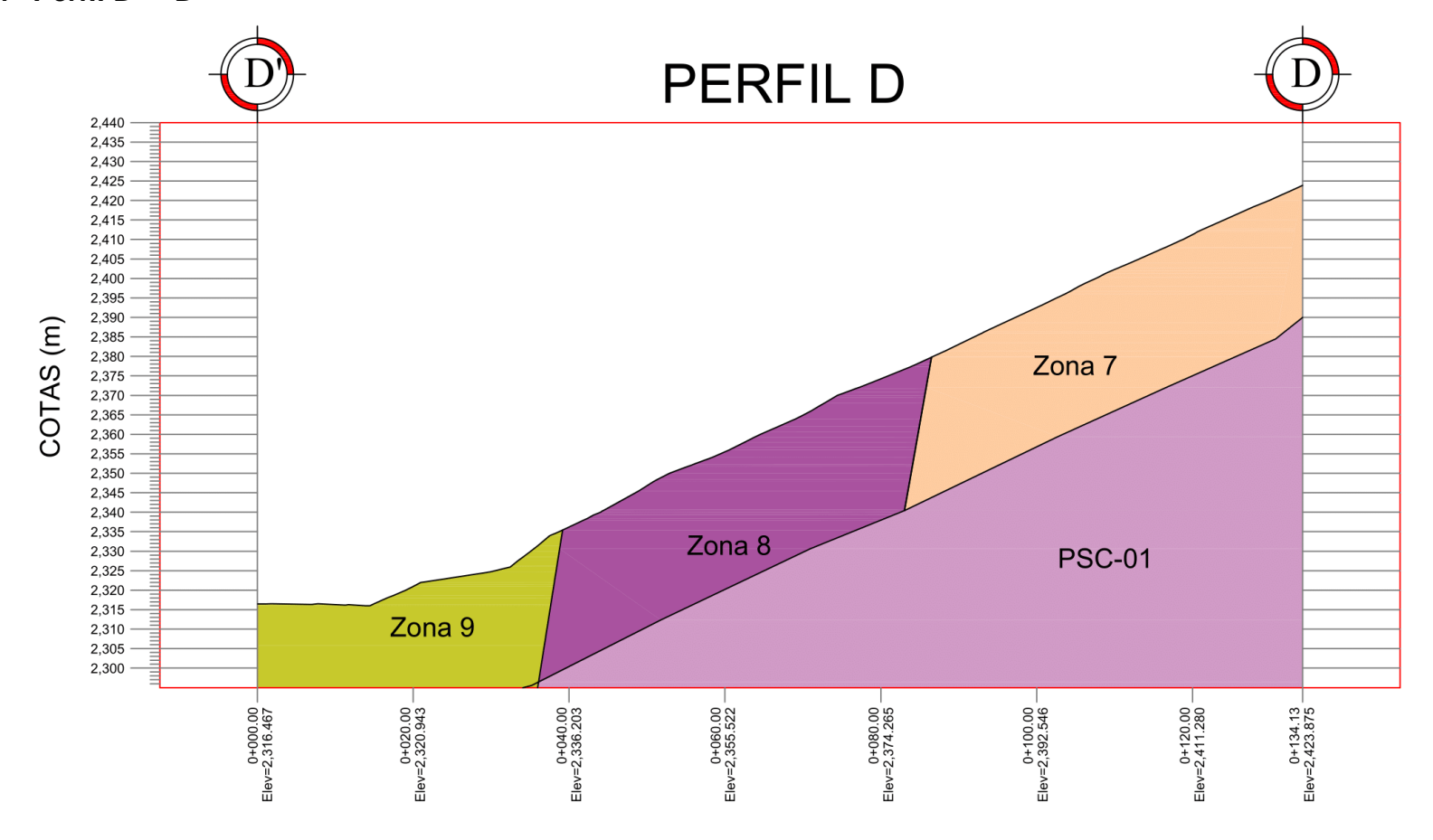
ABSCISAS (m)

ESCALA HORIZONTAL 1:1000

ESCALA VERTICAL 1:500

Figura 8.6 Perfil C' - C 172

8.6.4 Perfil D' – D



ABSCISAS (m)

ESCALA HORIZONTAL 1: 1000

ESCALA VERTICAL 1:500

Figura 8.7 Perfil D' - D

8.7 Factores de seguridad y superficies de falla

8.7.1 Perfil A' - A

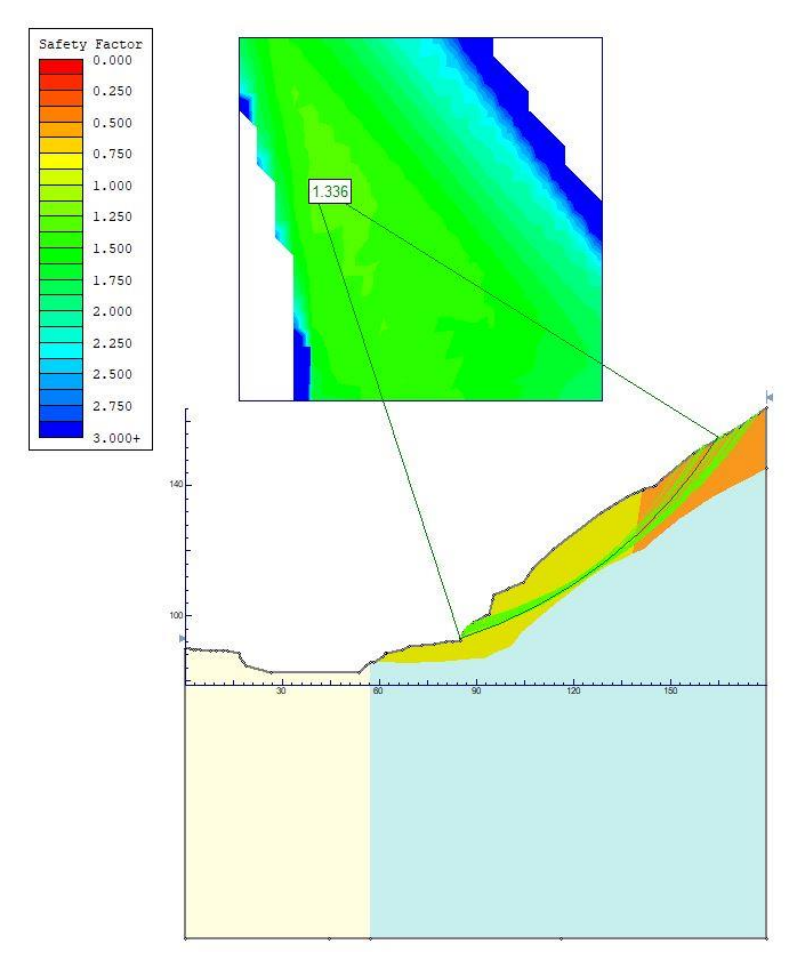


Figura 8.9 Condiciones secas perfil A' - A

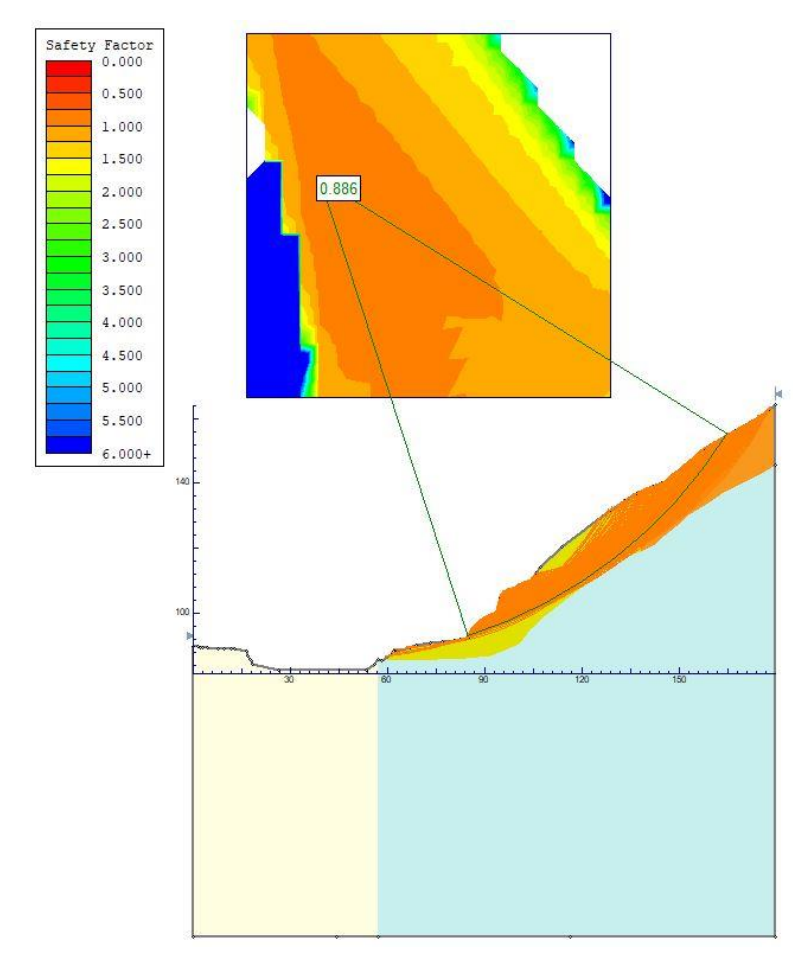


Figura 8.8 Condiciones sismicas perfil A' - A

8.7.2 Perfil B' - B

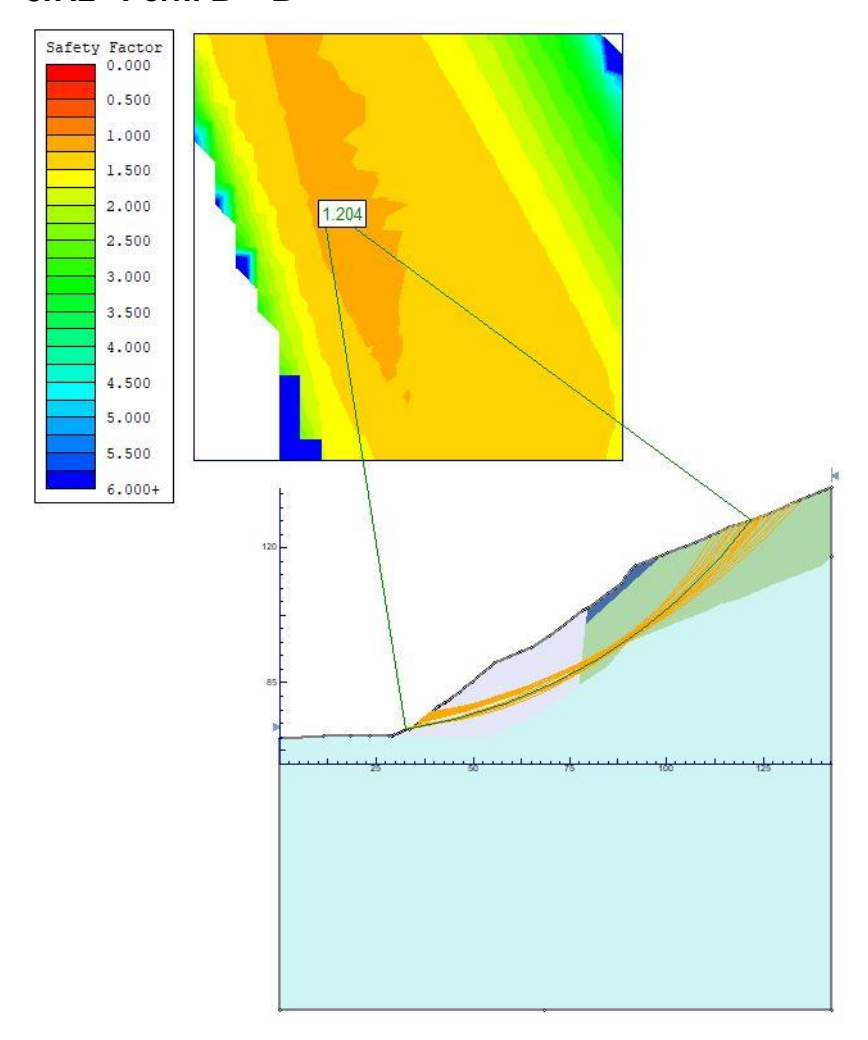


Figura 8.10 Condiciones secas perfil B' - B

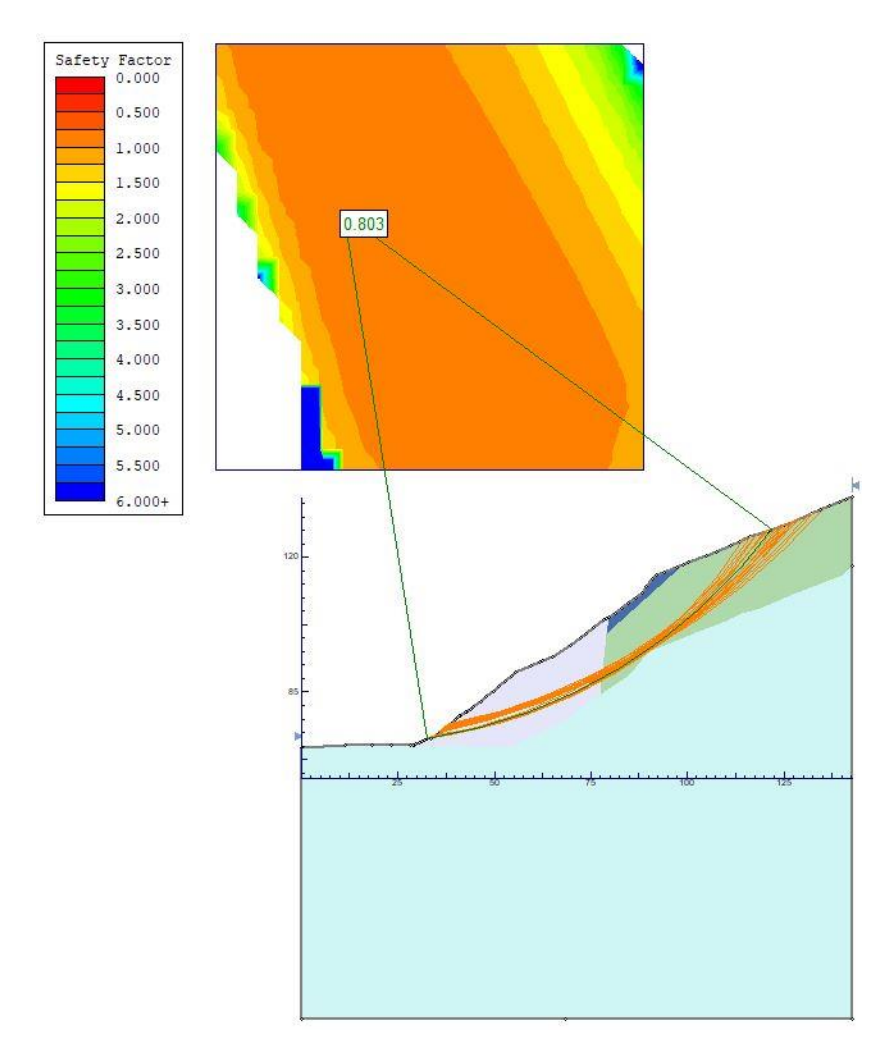


Figura 8.11 Condiciones sismicas perfil B' - B



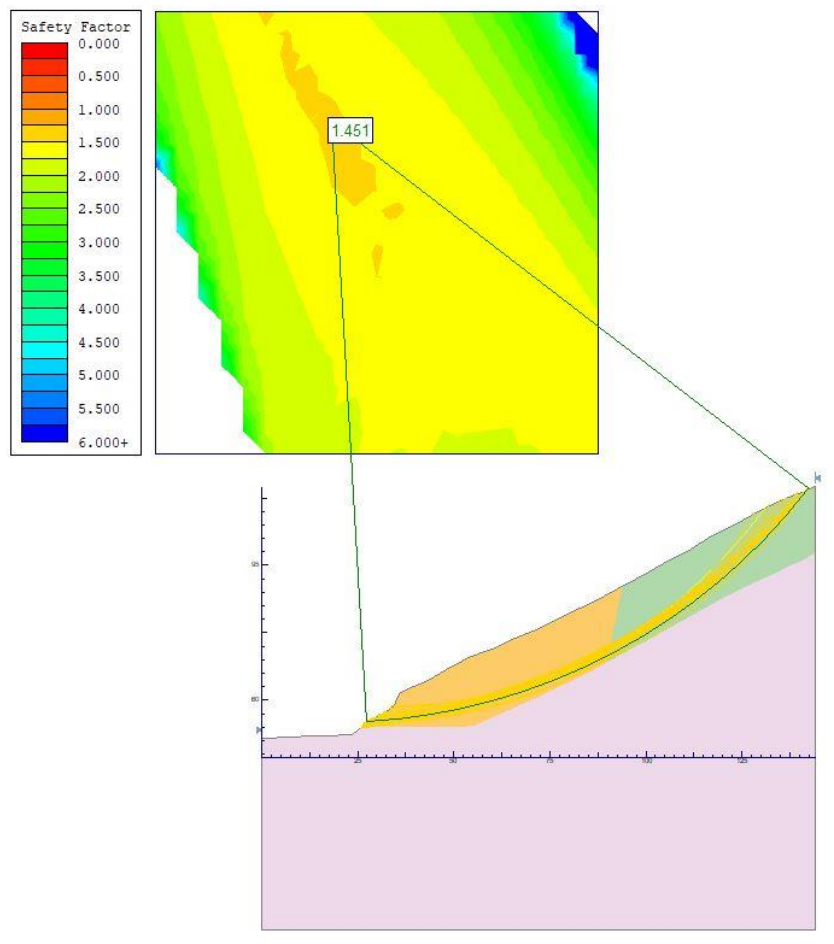


Figura 8.13 Condiciones secas perfil C' - C

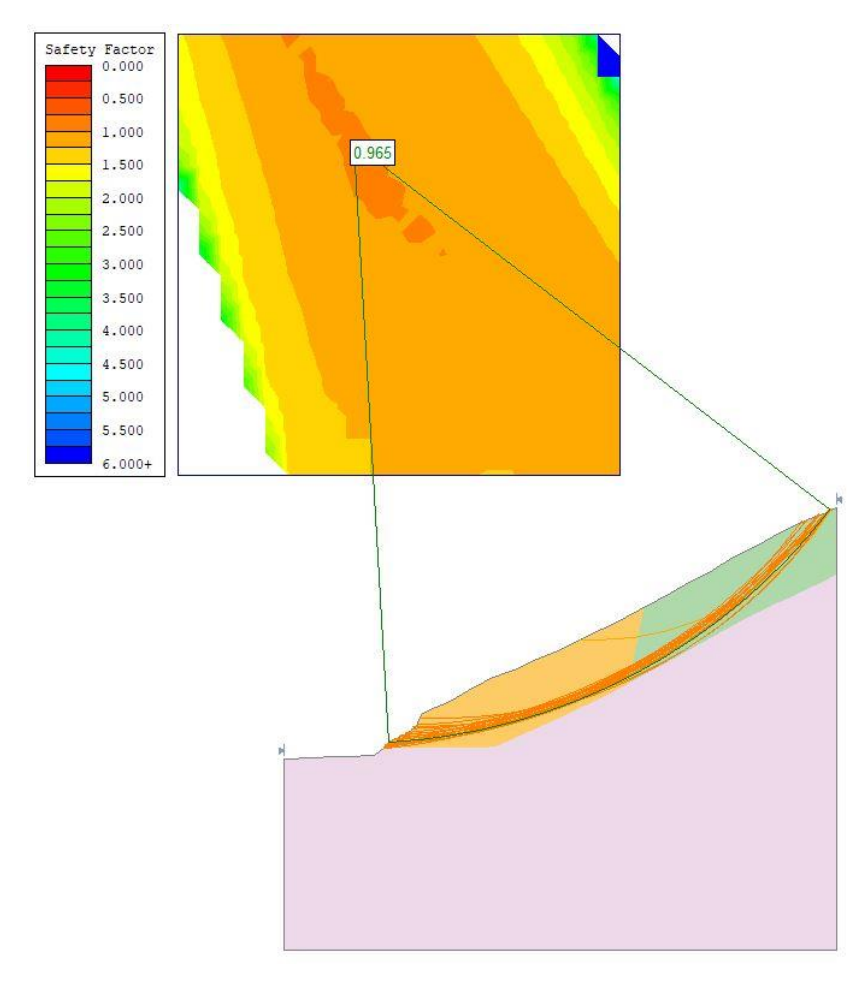


Figura 8.12 Condiciones sismicas perfil C' - C

8.7.4 Perfil D' - D

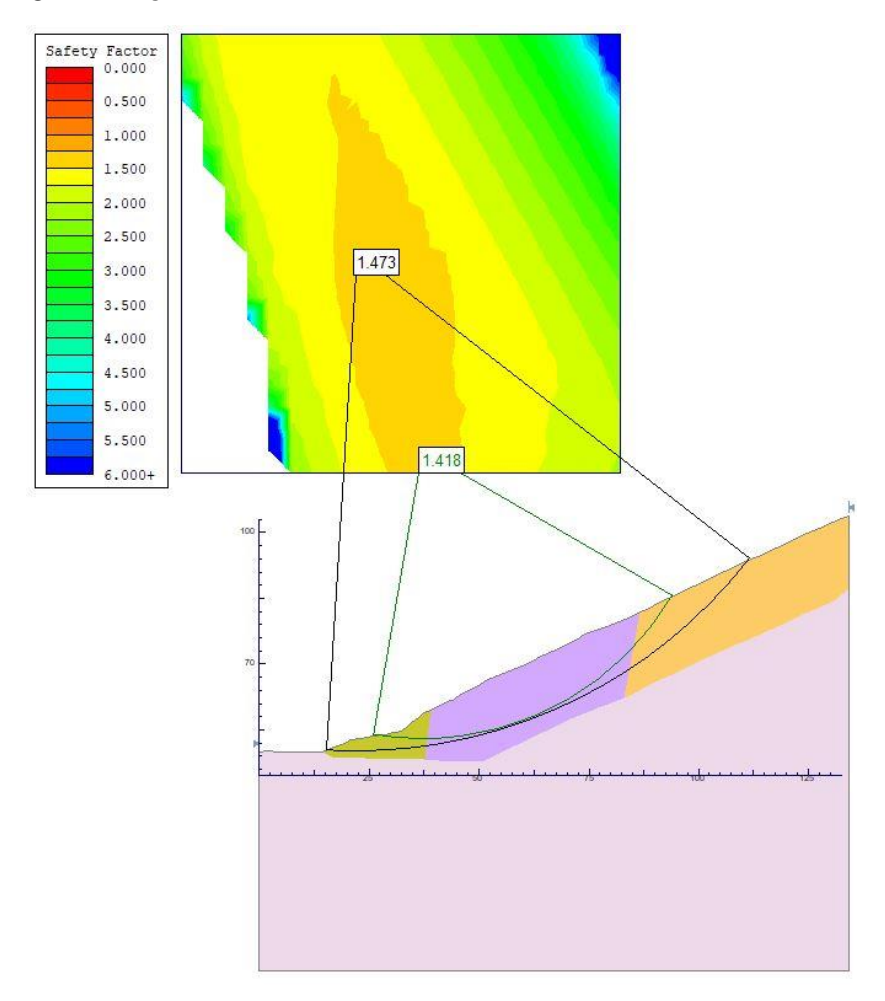


Figura 8.14 Condiciones secas perfil D' - D

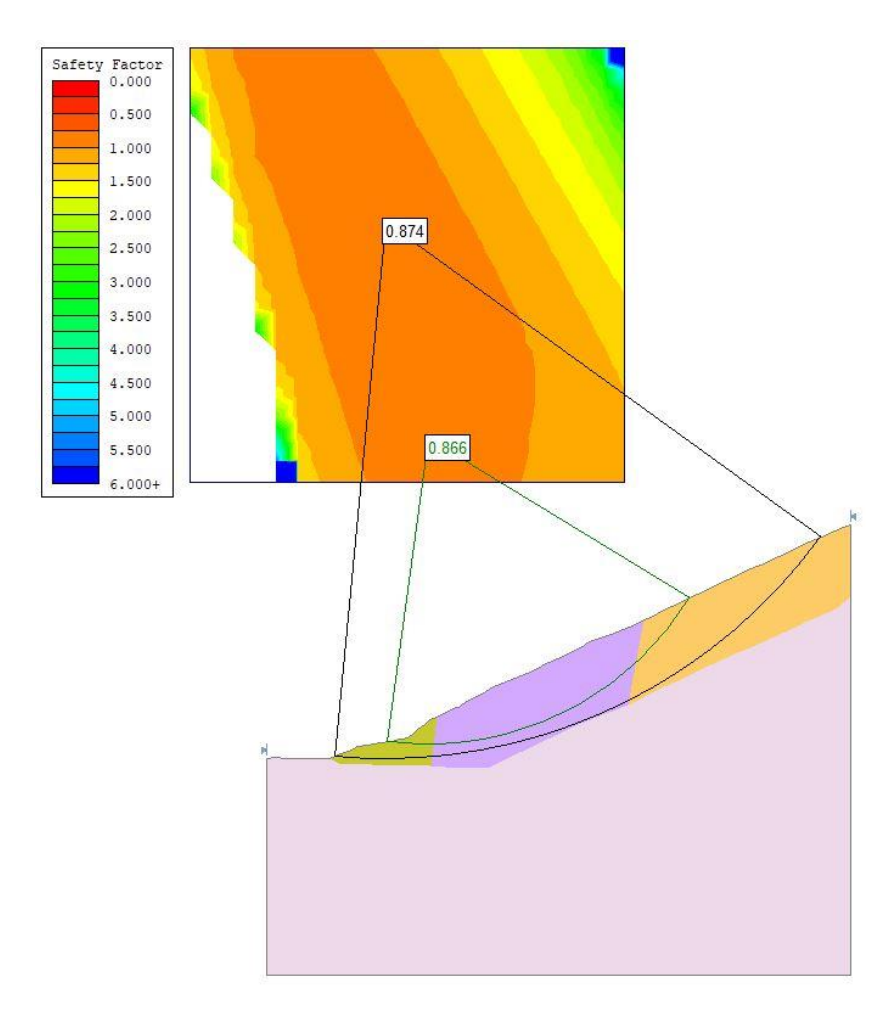


Figura 8.15 Condiciones sismicas perfil D' - D

9. BIBLIOGRAFÍA

- Aspden, J. A., & Litherland, M. (1992). The geology and Mesozoic collisional history of the Cordillera Real, Ecuador. Tectonophysics, 205(1–3), 187–204. https://doi.org/10.1016/0040-1951(92)90426-7
- Aspden, J., Bermúdez, R., Viteri, F., Pozo, M., & Alcocer, F. (1990). La Geología y Potencial Mineral de la Cordillera Real, Ecuador.
- Bieniawski, Z. (1979). The geomechanics classification in rock engineering applications. International Society for Rock Mechanics.
- Bristow, C. R. (1973). Guide to the geology of the Cuenca Basin, Southern Ecuador. Bulletin of the Geological Suvery of Canada.
- Chen, Z. (1995). Recent developments in slope stability analysis. 8th ISRM Congress, 000(9), 1041–1048.
- Domínguez Zeas, R. (1999). EL Deslizamiento De La Josefina "Tragedia Nacional." (1), 87–98.
- Duncan, C WyllieChristopher, W. M. (2004). Rock Slope Engineering, Fourth Edition. Rock Slope Engineering, Fourth Edition. https://doi.org/10.4324/9780203499085
- Gonzales de Vallejo, L. I. (2002). Ingeniería Geológica.
- Griffiths, D. V., & Fenton, G. A. (2004). Probabilistic slope stability analysis by finite elements. Journal of Geotechnical and Geoenvironmental Engineering, 130(5), 507–518. https://doi.org/10.1061/(ASCE)1090-0241(2004)130:5(507)
- Hack, R., Price, D., & Rengers, N. (2003). A new approach to rock slope stability— a probability classification (SSPC).
- Hoek, E., & Corkum, B. (2002). El criterio de rotura de Hoek-Brown Edición 2002 Hoek-Brown failure criterion – 2002 Edition. (1), 1–8.
- Hoek, E., Kaiser, P., & Bawden, W. (1995). Support of underground excavations in hard rock.
- ISRM. (1981). Suggested methods for rock characterization, testing and monitoring.
- Litherland, M. (1994). The metamorphic belts of Ecuador / M. Litherland, J.A. Aspden and R.A. Jemielita. (J. A. (John A. Aspden, R. A. (Richard A. Jemielita, & British Geological Survey, Eds.) [Book]. Keyworth, Nottingham: British Geological Survey.
- Luzieux, L. (2007). Origin and Late Cretaceous-Tertiary Evolution of the Ecuadorian Forearc (Dipl. de Géologue, Université de LAUSANNE). https://doi.org/10.3929/ethz-a-010782581

- Marinos, P., & Hoek, E. (2000). GSI a geologically friendly tool for rock mass strength. Technomic Publishing.
- Municipalidad de Gualaceo. (n.d.). Retrieved November 2, 2019, from http://www.gualaceo.gob.ec/Josefina
- Moon, B., & Selby, M. (1983). Rock mass strength and scarp forms in Southern Africa. Geografiska.
- Morante, F., Aguilar, M., Ramírez, G., Blanco, R., Carrión, P., Briones, J., & Berrezueta, E. (2019). Evaluation of Slope Stability Considering the Preservation of the General Patrimonial Cemetery of Guayaquil, Ecuador. Geosciences, 9(3), 103. https://doi.org/10.3390/geosciences9030103
- Nicholson, D., & Hencher, S. (1997). Assessing the potential for deterioration of engineered rockslopes.
- Pantelidis, L. (2009). Rock slope stability assessment through rock mass classification systems. International Journal of Rock Mechanics and Mining Sciences, 46(2), 315–325. https://doi.org/10.1016/j.ijrmms.2008.06.003
- Reynaud, C., Jaillard, É., Lapierre, H., Mamberti, M., & Mascle, G. H. (1999). Oceanic plateau and island arcs of southwestern Ecuador: Their place in the geodynamic evolution of northwestern South America. Tectonophysics, 307(3–4), 235–254. https://doi.org/10.1016/S0040-1951(99)00099-2
- Robertson, A. (1988). Estimating weak rock strength. In: Proceedings of the SME annual meeting. Phoenix.
- Rodriguez, P. (2014). Actualización Del Plan De Desarrollo Y Ordenamiento Territorial Del Cantón Paute. Retrieved from http://app.sni.gob.ec/sni-link/sni/PORTAL_SNI/data_sigad_plus/sigadplusdiagnostico/0160000510001_D IAGNÓSTICO_GADM_PAUTE FINAL_12-03-2015_09-21-02.pdf
- Romana, M. (1985). New adjustment ratings for application of Bieniawski classification to slopes. Proceedings of the International Symposium on Role of Rock Mechanics, Zacatecas, Mexico.
- Romana, M., Tomás, R., & Serón, J. B. (2015). Slope Mass Rating (SMR) geomechanics classification: Thirty years review. 13th ISRM International Congress of Rock Mechanics, 2015-MAY(November), 1–10.
- Sari, M. (2019). Stability analysis of cut slopes using empirical, kinematical, numerical and limit equilibrium methods: case of old Jeddah–Mecca road (Saudi Arabia). Environmental Earth Sciences, 78(21), 621. https://doi.org/10.1007/s12665-019-8573-9
- Vallejo, C., Winkler, W., Spikings, R. A., Luzieux, L., Heller, F., & Bussy, F. (2009). Mode and timing of terrane accretion in the forearc of the Andes in Ecuador.

Memoir of the Geological Society of America, 204(June), 197–216. https://doi.org/10.1130/2009.1204(09)